

Profil Nr. 104					Profil Nr. 192				
x/l	y_1/l	y_2/l	y_3/l	y_4/l	x/l	y_1/l	y_2/l	y_3/l	y_4/l
-0,0060			0,0060	0,0060	-0,0035			0,0039	0,0039
-0,0040			0,0135	0,0000	-0,0020			0,0102	-0,0013
-0,0020			0,0174	-0,0022	0,0000	0,0000	0,0000	0,0141	-0,0038
0,0000	0,0000	0,0000	0,0200	-0,0040	0,0020	0,0064	-0,0060	0,0171	0,0064
0,0020	0,0092	-0,0065	0,0226	0,0092	0,0040	0,0102	-0,0083	0,0198	0,0102
0,0040	0,0130	-0,0094	0,0250	0,0130	0,0080	0,0160	-0,0112	0,0239	0,0160
0,0080	0,0186	-0,0130	0,0285	0,0186	0,0120	0,0205	-0,0130	0,0277	0,0205
0,0120	0,0224	-0,0158	0,0319	0,0224	0,0160	0,0241	-0,0147	0,0310	0,0241
0,0160	0,0259	-0,0180	0,0346	0,0259	0,0200	0,0273	-0,0156	0,0341	0,0273
0,0200	0,0288	-0,0198	0,0371	0,0288	0,0240	0,0302	-0,0167	0,0370	0,0302
0,0240	0,0314	-0,0212	0,0396	0,0314	0,0280	0,0331	-0,0176	0,0395	0,0331
0,0280	0,0337	-0,0224	0,0418	0,0337	0,0340	0,0369	-0,0187	0,0430	0,0369
0,0340	0,0368	-0,0240	0,0449	0,0368	0,0400	0,0402	-0,0198	0,0463	0,0402
0,0400	0,0398	-0,0254	0,0475	0,0398	0,0500	0,0456	-0,0208	0,0511	0,0456
0,0500	0,0440	-0,0271	0,0518	0,0440	0,0600	0,0502	-0,0218	0,0556	0,0502
0,0600	0,0480	-0,0288	0,0554	0,0480	0,0700	0,0543	-0,0227	0,0595	0,0543
0,0700	0,0515	-0,0300	0,0588	0,0515	0,0800	0,0583	-0,0235	0,0629	0,0583
0,0800	0,0550	-0,0310	0,0620	0,0550	0,1000	0,0650	-0,0247	0,0687	0,0650
0,1000	0,0608	-0,0325	0,0670	0,0608	0,1200	0,0705	-0,0255	0,0731	0,0705
0,1200	0,0659	-0,0340	0,0705	0,0659	0,1300			0,0749	0,0730
0,1300			0,0718	0,0680	0,1400			0,0762	0,0752
0,1400			0,0725	0,0700	0,1430			0,0760	0,0759
0,1500			0,0730	0,0720	0,1600	0,0791	-0,0265		
0,1600	0,0740	-0,0360			0,2000	0,0853	-0,0268		
0,2000	0,0797	-0,0369			0,2500	0,0900	-0,0270		
0,2500	0,0846	-0,0380			0,3000	0,0927	-0,0268		
0,3000	0,0867	-0,0385			0,3500	0,0934	-0,0266		
0,3500	0,0876	-0,0380			0,4000	0,0919	-0,0263		
0,4000	0,0860	-0,0377			0,4500	0,0888	-0,0252		
0,4500	0,0840	-0,0368			0,5000	0,0844	-0,0239		
0,5000	0,0800	-0,0351			0,5500	0,0782	-0,0219		
0,5500	0,0756	-0,0340			0,6000	0,0725	-0,0204		
0,6000	0,0706	-0,0318			0,6500	0,0656	-0,0186		
0,6500	0,0640	-0,0300			0,7000	0,0575	-0,0162		
0,7000	0,0572	-0,0264			0,7500	0,0490	-0,0140		
0,8000	0,0405	-0,0195			0,8000	0,0402	-0,0114		
0,8500	0,0310	-0,0150			0,8500	0,0304	-0,0091		
0,9000	0,0216	-0,0108			0,9000	0,0211	-0,0061		
0,9400	0,0140	-0,0070			0,9400	0,0138	-0,0042		
0,9700	0,0076	-0,0044			0,9700	0,0074	-0,0031		
1,0000	0,0015	-0,0015			1,0000	0,0015	-0,0010		

4. POMIARY KADŁUBÓW.

Pomiary dotyczyły 25 kadłubów w tym jeden wodnopłatowiec. Właściwości aerodynamiczne każdego modelu kadłuba przy różnych jego kątach natarcia (gdy płaszczyzna symetrii kadłuba jest równoległa do kierunku prędkości powietrza) charakteryzują obliczone na podstawie danych otrzymanych z pomiarów współczynniki oderwane C_y , C_x i C_m , które są współczynnikami proporcjonalności w następujących wyrażeniach określających:

1) opór czołowy kadłuba

$$P_x = \frac{C_x}{100} q S$$

2) siłę nośną kadłuba

$$P_y = \frac{C_y}{100} q S$$

3) moment M siły wypadkowej, działającej na kadłub, względem prostej przecięcia się dwóch płaszczyzn do siebie prostopadłych, z których jedna zawiera oś kadłuba i jest prostopadła do jego płaszczyzny symetrii, druga zaś jest styczna do przodu kadłuba:

$$M = \frac{C_m}{100} q S l$$

W wyrażeniach powyższych oznaczają:

$$q = \frac{\sigma u^2}{2} \text{ — ciśnienie prędkości}$$

S — pole rzutu kadłuba na płaszczyznę prostopadłą do jego osi

l — długość kadłuba.

Moment uważamy za dodatni gdy przyjmując kierunek prędkości powietrza od strony lewej ku prawej, kierunek jego będzie przeciwny do kierunku ruchu wskazówek zegara.

Wielkość kąta natarcia i kadłuba określano kątem pomiędzy dwiema płaszczyznami prostopadłymi do płaszczyzny symetrii kadłuba, z których jedna przechodzi przez oś kadłuba, druga zaś jest równoległa do kierunku prędkości powietrza.

Na rysunkach umieszczonych na stronicach oznaczonych liczbami parzystymi podane są dla odnośnych modeli kadłubów wykresy wartości współczynników C_y , C_x i C_m w zależności od kąta natarcia i kadłuba oraz odległości środka parcia (punkt w którym linia działania wypadkowej siły aerodynamicznej przecina oś kadłuba) od prostej, względem której obliczone zostały wartości współczynników C_m . Odległości środka parcia obliczano w % długości kadłuba, korzystając ze wzoru:

$$e\% = \frac{C_m}{C_y \cos i + C_x \sin i} \cdot 100$$

Obok każdego rysunku znajduje się tablica, zawierająca liczbowe wartości współczynników C_y , C_x , C_m i $e\%$.

Dla każdego modelu zmierzone zostały również momenty M wypadkowej siły aerodynamicznej względem trzech różnych prostych ($N-N$), leżących w płaszczyźnie symetrii kadłuba i prostopadłych do kierunku prędkości powietrza. Pomiarów momentów wykonano przy kilku kątach natarcia kadłuba ($i = -10^\circ, -5^\circ, 10^\circ, 15^\circ, 20^\circ, 25^\circ$), przy czym zmieniał się również kąt j pomiędzy płaszczyzną symetrii kadłuba i kierunkiem powietrza ($j = 5^\circ, 10^\circ, 15^\circ$).

Moment siły aerodynamicznej względem prostej $N-N$ możemy wyrazić jak następuje:

$$M = \frac{C_m q S l}{100}$$

gdzie C_m jest to współczynnik momentu względem tej prostej. Wyniki tych pomiarów podane są na rysunkach (strony oznaczone liczbami nieparzystymi) oraz w tablicach zawierających dane liczbowe na str. 218 do 224.

W skorowidzu umieszczonym na str. 167 podane są strony na których znajdują się wykresy oraz liczbowe dane pomiarowe dotyczące zbadanych kadłubów.

4. MESURES DES FUSELAGES.

Les mesures se rapportaient à 24 fuselages et à une coque. Les propriétés aérodynamiques de toutes les maquettes des fuselages, pour leurs angles d'incidence différents (cependant le plan de symétrie du fuselage étant parallèle à la direction de la vitesse de l'air) sont caractérisées par des coefficients abstraits C_y , C_x et C_m , calculés suivant les données obtenues des mesures; ce sont des coefficients de proportionnalité dans les expressions suivantes qui déterminent:

1) la résistance à l'avancement du fuselage

$$P_x = \frac{C_x}{100} q S$$

2) la force portante du fuselage

$$P_y = \frac{C_y}{100} q S$$

3) le moment M de la force résultante, agissant sur le fuselage, par rapport à la droite d'intersection de deux plans perpendiculaires l'un à l'autre, dont l'un contient l'axe du fuselage et est perpendiculaire à son plan de symétrie, pendant que l'autre est tangent à la partie avant du fuselage

$$M = \frac{C_m}{100} q S l$$

Dans les expressions ci-dessus:

$q = \frac{\rho u^2}{2}$ désigne la pression dynamique,

S — l'aire de la projection du fuselage sur le plan perpendiculaire à son axe longitudinale,
 l — la longueur du fuselage.

Le moment est considéré comme positif quand, en adoptant la direction de la vitesse de l'air de gauche à droite, sa direction est opposée à la direction du mouvement des aiguilles d'une montre.

On déterminait la grandeur de l'angle d'incidence i du fuselage par l'angle entre deux plans perpendiculaires au plan de symétrie du fuselage, dont l'un passe par l'axe du fuselage et l'autre est parallèle à la direction de la vitesse de l'air.

Sur les figures disposées sur les pages désignées par des chiffres pairs se trouvent les diagrammes des coefficients C_y , C_x et C_m des maquettes respectives des fuselages, en fonction de l'angle d'incidence du fuselage ainsi que les distances du centre de poussée (point d'intersection de la direction de la force aérodynamique résultante avec l'axe du fuselage) de la droite, par rapport à laquelle on a calculé les valeurs des coefficients C_m . On calculait les distances du centre de poussée en % de la longueur du fuselage, en se servant de la formule:

$$e\% = \frac{C_m}{C_y \cos i + C_x \sin i} \cdot 100$$

A côté de chaque figure se trouve une table contenant les valeurs numériques des coefficients C_y , C_x , C_m et $e\%$.

On a également mesuré pour chaque maquette les moments M de la force aérodynamique résultante par rapport à trois droites différentes ($N-N$), se trouvant dans le plan de symétrie du fuselage et perpendiculaires à la direction de la vitesse de l'air. On a exécuté les mesures des moments, en prenant en considération plusieurs angles d'incidence du fuselage ($i = -10^\circ, -5^\circ, 0^\circ, 5^\circ, 10^\circ, 15^\circ, 20^\circ, 25^\circ$); en même temps on faisait varier également l'angle j entre le plan de symétrie du fuselage et la direction de la vitesse de l'air ($j = 5^\circ, 10^\circ, 15^\circ$).

Nous pouvons exprimer le moment de la force aérodynamique par rapport à la droite $N-N$ comme suit:

$$M = \frac{C_m}{100} q S l$$

où C_m est le coefficient du moment par rapport à cette droite. Les résultats de ces mesures sont présentés sur les figures (pages indiquées par des chiffres impairs) et dans les tables contenant les données numériques page 218—224.

L'index se trouvant à la page 167 contient la liste des fuselages. Pour chaque fuselage sont indiquées les pages sur lesquelles se trouvent les diagrammes et les tables numériques.

Skorowidz kadłubów

Index des fuselages

K A D Ł U B	Nr. doświadczenia	S t r o n y
1 (kadłub o przekroju kołowym)	1545	168 — 169, 218
2 (" " " ")	1570	170 — 171, 218
3 (" " " ")	1544	172 — 173, 218
4 (" " " ")	1543	174 — 175, 218
5 (" " " eliptycznym)	1577	176 — 177, 219
6 (" " " kwadratowym)	1329	178 — 179, 219
7 (" " " ")	1637	180 — 181, 219
8 (" " " prostokątnym)	1330	182 — 183, 219
9 (kadłub płatowca D.J.1.)	1100	184 — 185, 220
10 (" " D.J.2.)	1252	186 — 187, 220
11 (" " S.L.—R.W.)	928	188 — 189, 220
12 (" " S.L.—Prauss)	546	190 — 191, 220
13 (" " P.W.S.50.)	1222	192 — 193, 221
14 (" " P.W.S.2.)	1207	194 — 195, 221
15 (" " P.Z.L.5.)	1223	196 — 197, 221
16 (" " P.W.S.)	681	198 — 199, 221
17 (" " S.L.—K.W.1.)	1238	200 — 201, 222
18 (" " P.W.S.21)	1251	202 — 203, 222
19 (" " P.W.S.7.)	1216	204 — 205, 222
20 (" " Fokker VIIA.)	1234	206 — 207, 223
21 (" " P.W.S.10.)	675	208 — 209, 223
22 (" " P.Z.L.2.)	1250	210 — 211, 223
23 (" " S.L.—R.W.D.3.)	1242	212 — 213, 224
24 (" " S.L.—R.W.D.4)	1224	214 — 215, 224
25 (" wodnopłatowca J. Nicole)	1255	216 — 217, 224
F U S E L A G E	No. d'essai	P a g e s

Doświadczenie Nr. 1545

Model Nr. 703

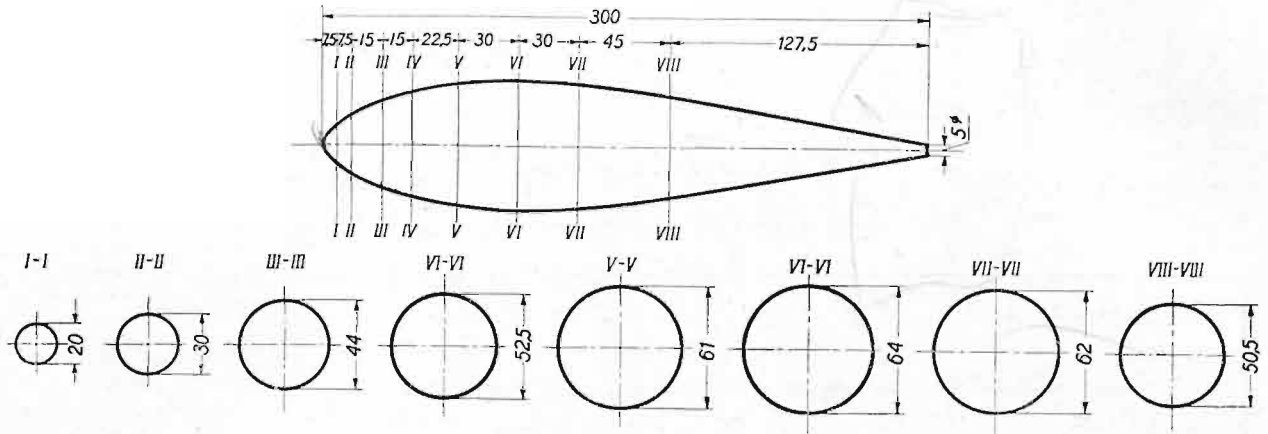
Długość $L = 0,300$ m

Ciśnienie prędkości $q = 100$ kg/m²

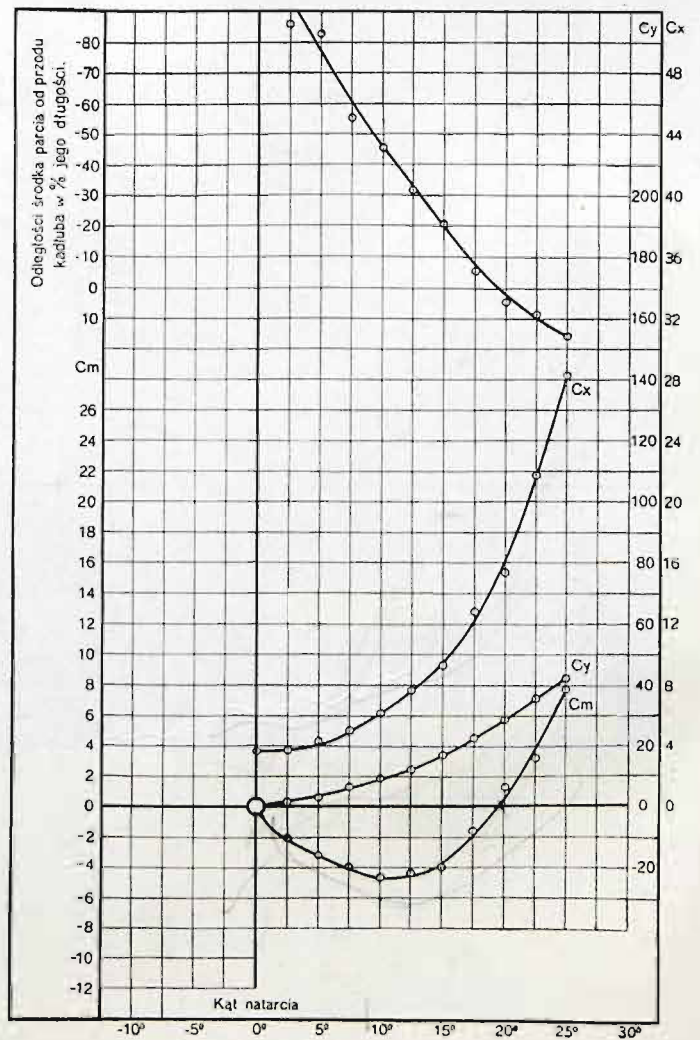
Kadłub Nr. 1

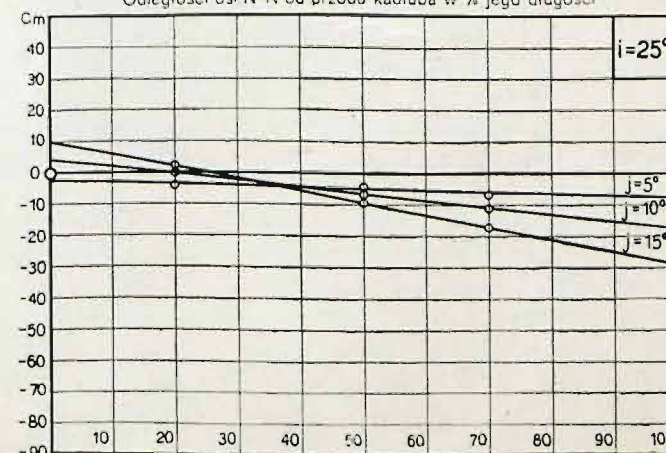
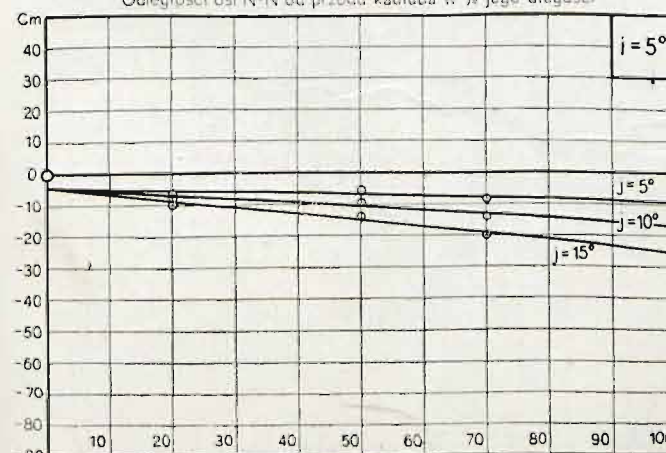
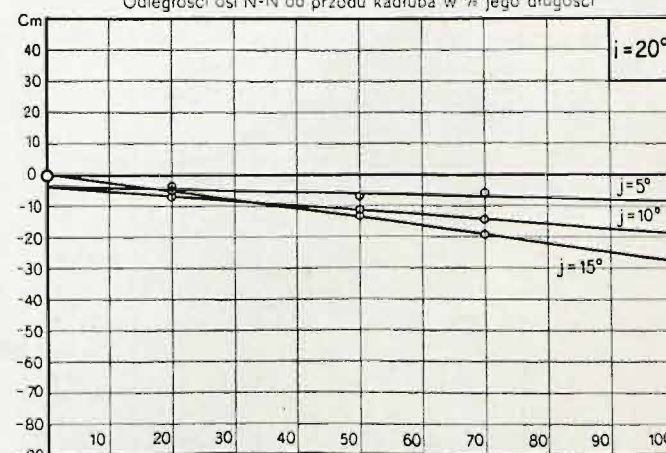
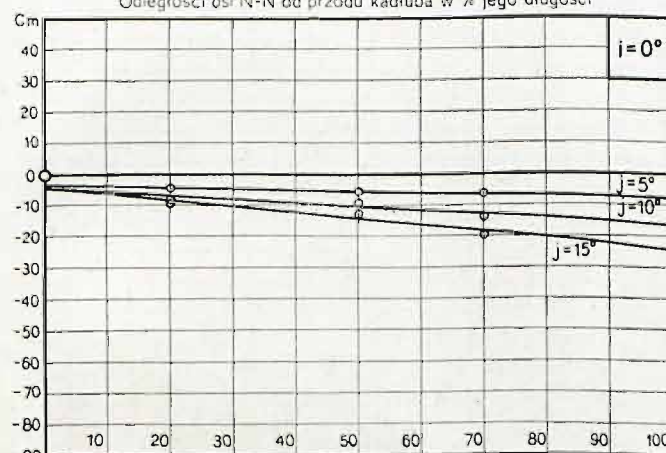
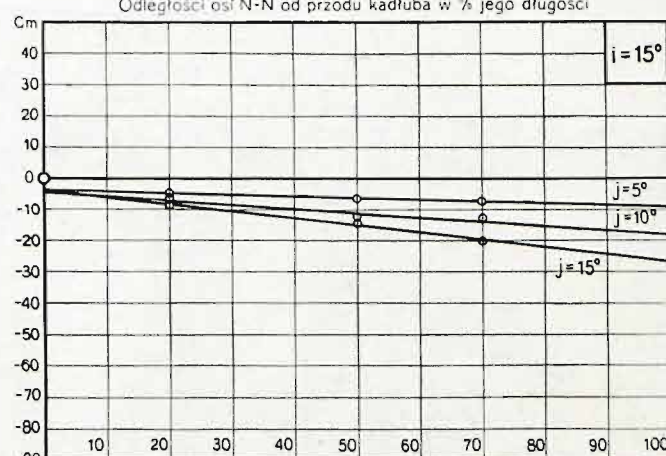
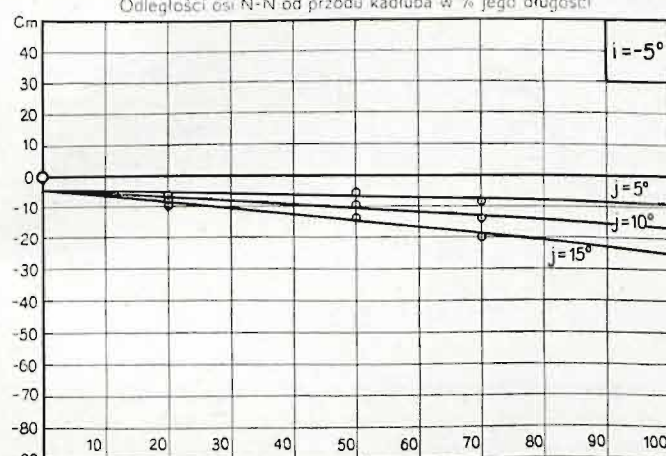
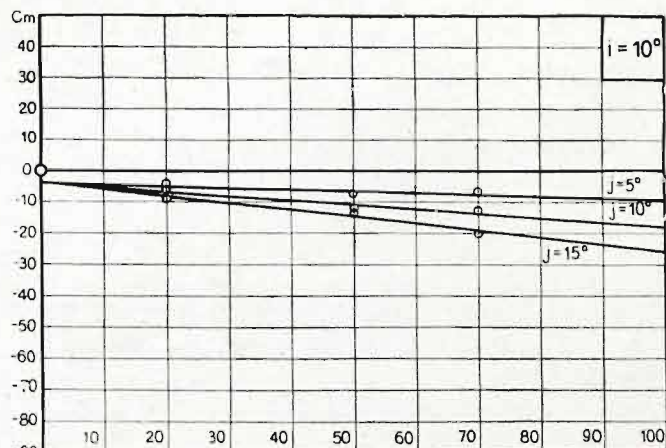
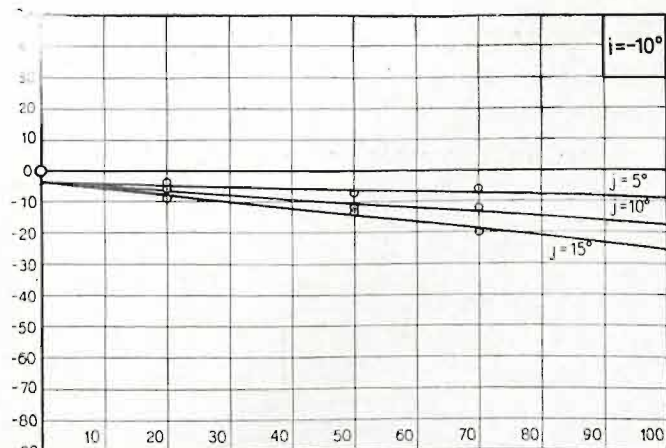
Największy przekrój $S = 0,003222$ m²

Data pomiaru: 4.V.31.



i^0	C_y	C_x	C_m	$e^0/0$
25,0	42,4	28,2	7,8	15,4
22,5	35,9	21,6	3,3	8,0
20,0	28,8	15,4	1,3	4,1
17,5	22,9	12,8	-1,6	-6,2
15,0	17,4	9,3	-4,0	-20,9
12,5	12,4	7,6	-4,4	-31,7
10,0	9,3	6,1	-4,7	-45,5
7,5	6,5	5,0	-3,9	-55,6
5,0	3,4	4,4	-3,2	-82,7
2,5	2,2	3,7	-2,0	-85,9
0,0	0,0	3,7	0,0	—





Doświadczenie Nr. 1570

Model Nr. 704

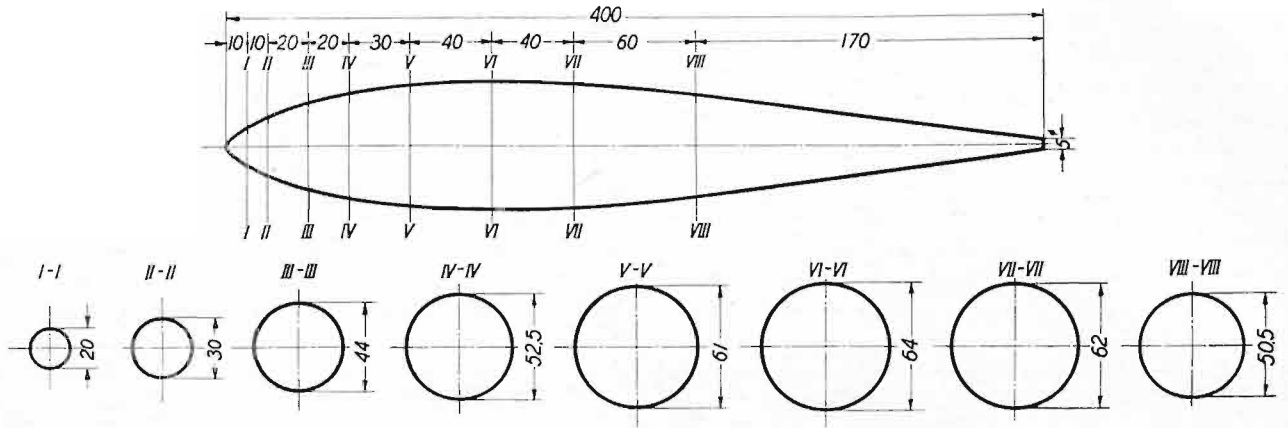
Długość $L = 0,400$ m

Cisnienie prędkości $q = 100$ kg/m²

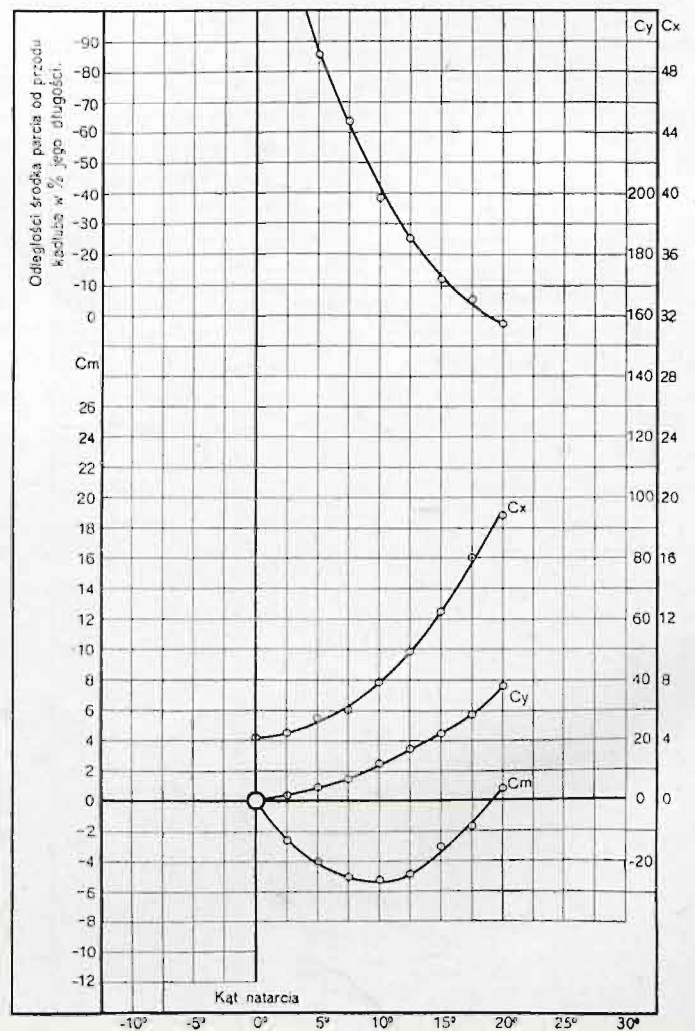
Kadłub Nr. 2

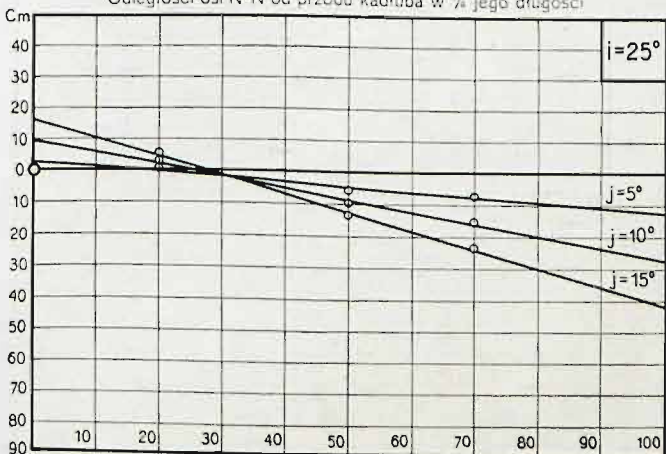
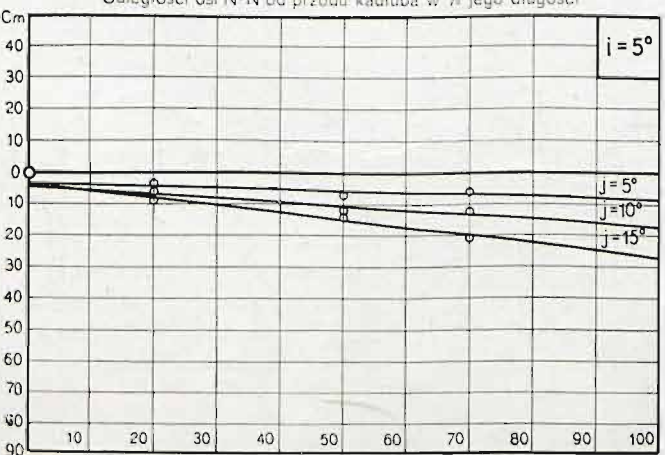
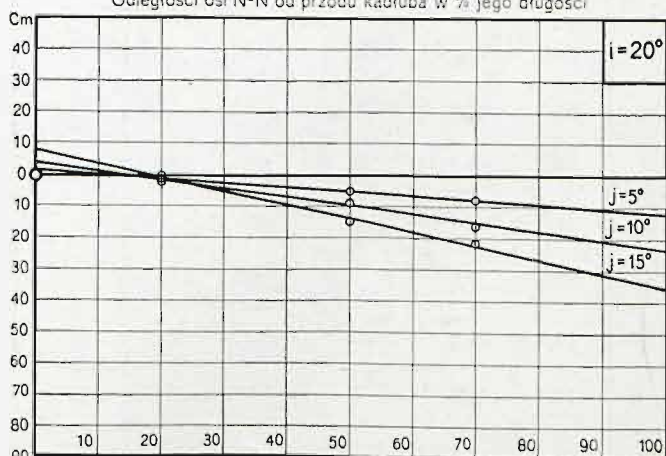
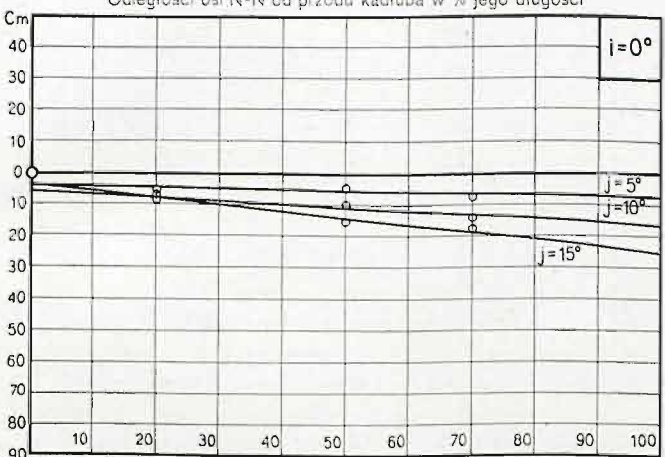
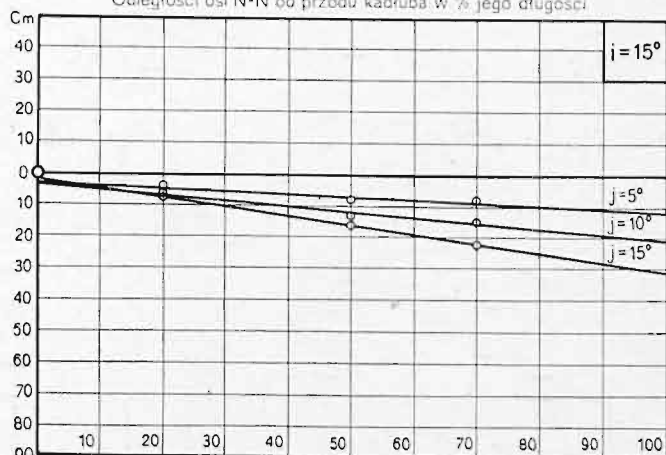
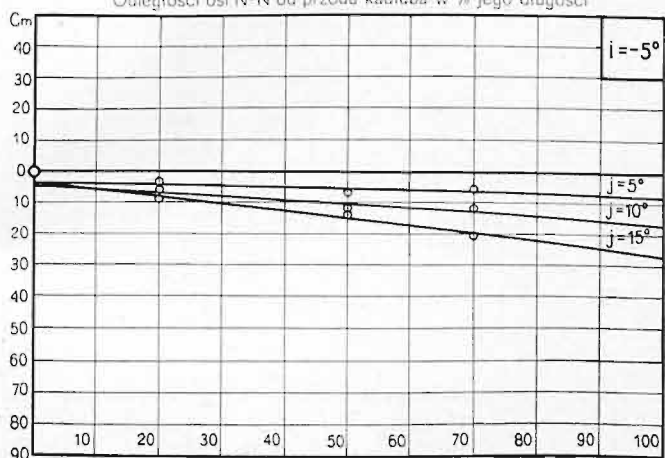
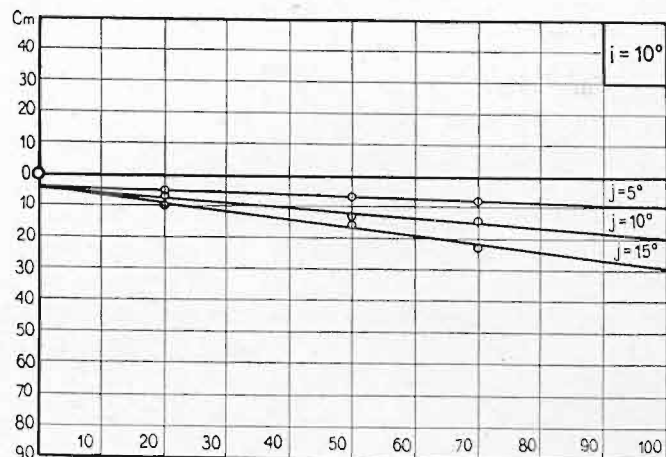
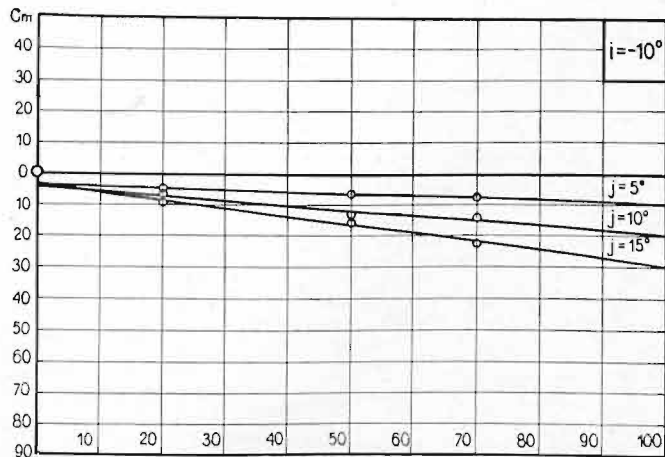
Największy przekrój $S = 0,003237$ m²

Data pomiaru: 16.VI.31.



α°	C_y	C_x	C_m	$e\%$
20,0	38,2	18,8	1,0	2,3
17,5	28,9	16,0	-1,7	-5,3
15,0	22,1	12,5	-3,0	-12,3
12,5	17,6	9,9	-4,9	-25,3
10,0	12,3	7,8	-5,2	-38,6
7,5	7,4	6,0	-5,1	-63,4
5,0	4,3	5,4	-4,1	-85,3
2,5	1,9	4,5	-2,7	-130,0
0,0	0,0	4,2	0,0	—





Doświadczenie Nr. 1544

Model Nr. 705

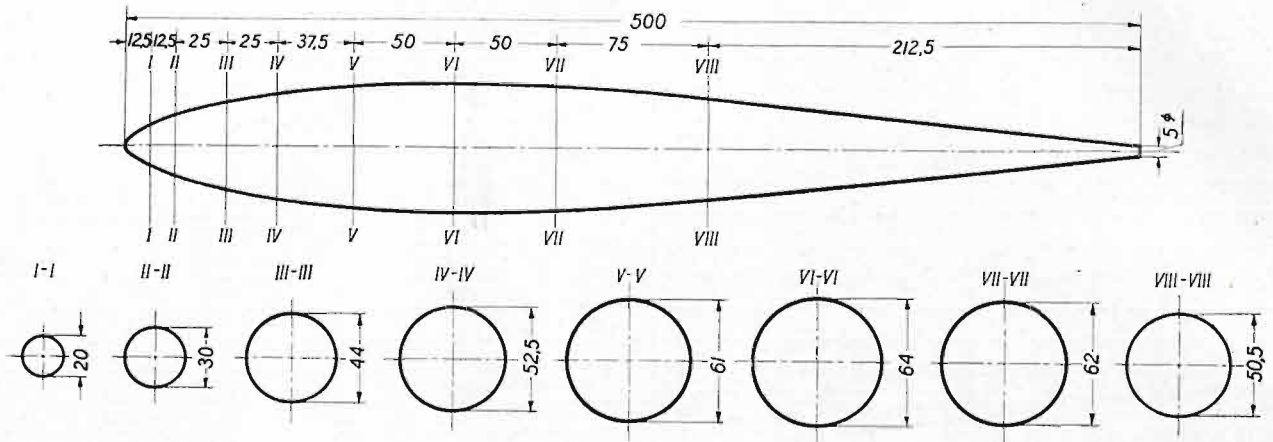
Długość $L = 0,500$ m

Ciśnienie prędkości $q = 100$ kg/m²

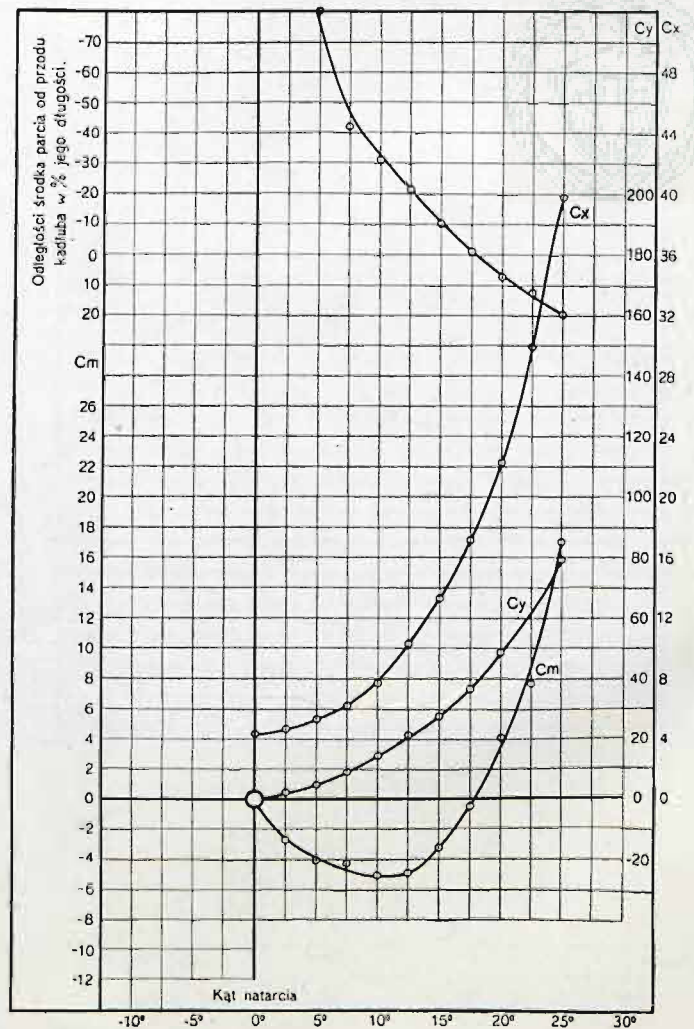
Kadłub Nr. 3

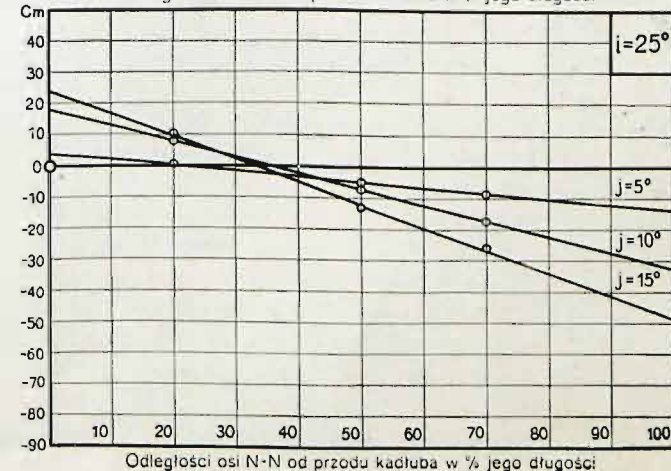
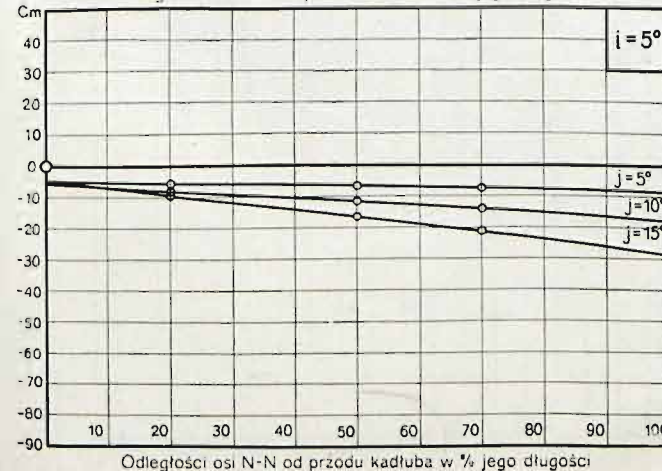
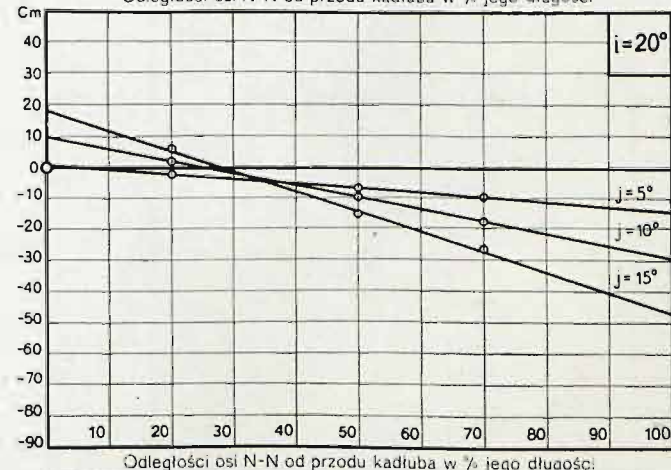
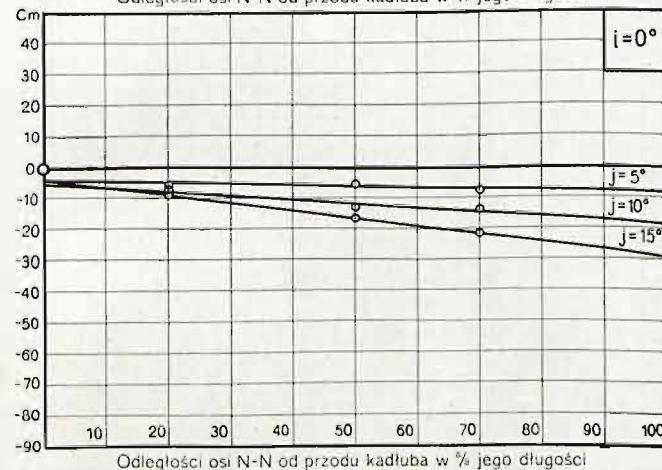
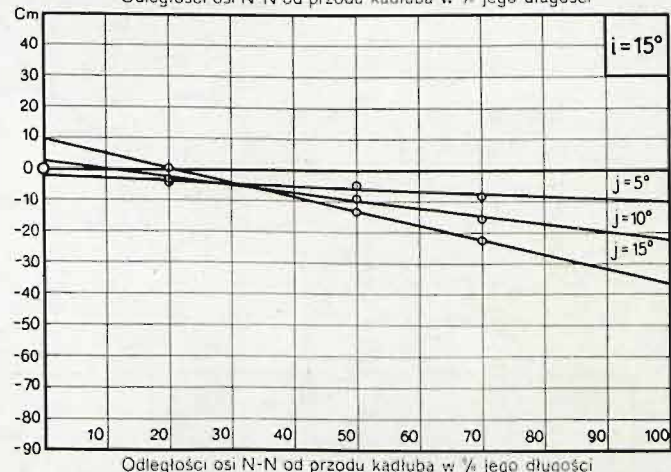
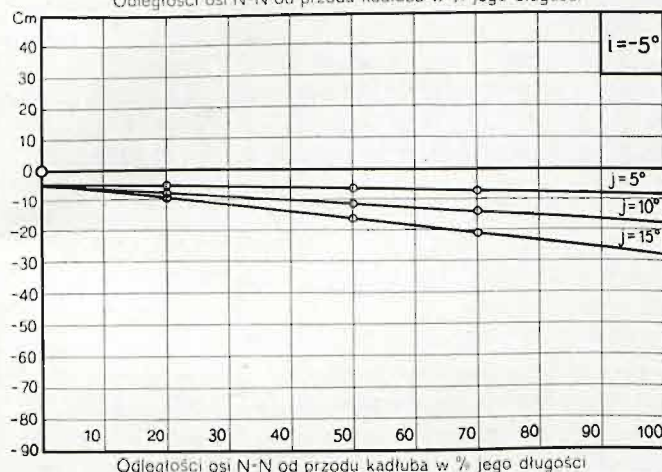
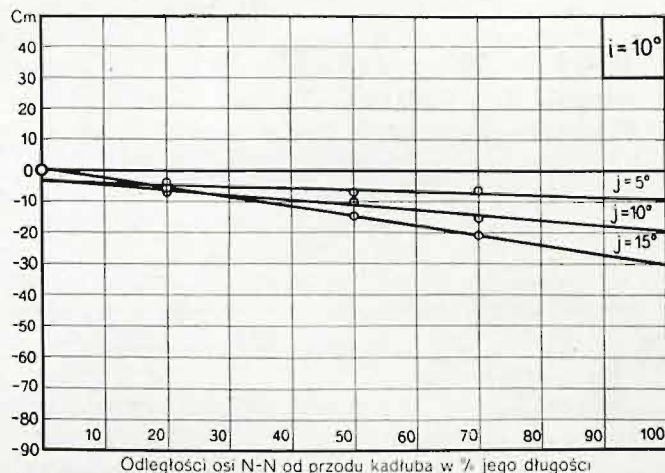
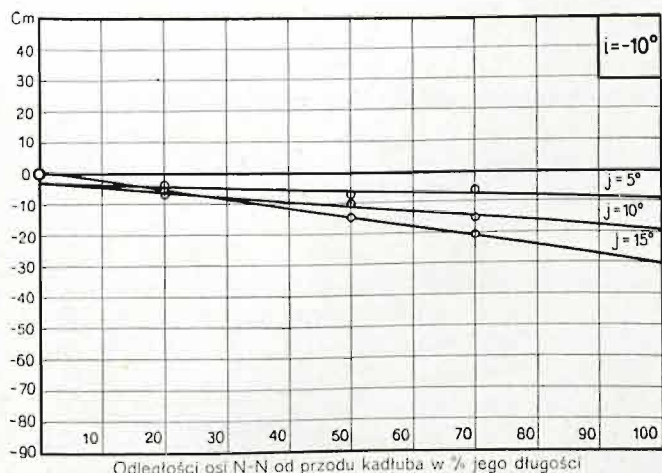
Największy przekrój $S = 0,003237$ m²

Data pomiaru: 17.VI.31.



i^0	C_y	C_x	C_m	$e^0/0$
25,0	79,1	39,8	17,1	19,3
22,5	62,7	29,9	7,8	12,1
20,0	48,7	22,2	4,2	7,8
17,5	36,8	17,1	-0,6	-1,4
15,0	27,8	13,3	-3,2	-10,6
12,5	21,6	10,4	-5,0	-21,3
10,0	14,8	7,7	-5,1	-31,7
7,5	9,3	6,2	-4,3	-42,5
5,0	4,6	5,3	-4,1	-80,7
2,5	2,2	4,6	-2,7	-114,8
0,0	0,0	4,3	0,0	—





Doświadczenie Nr. 1543

Model Nr. 706

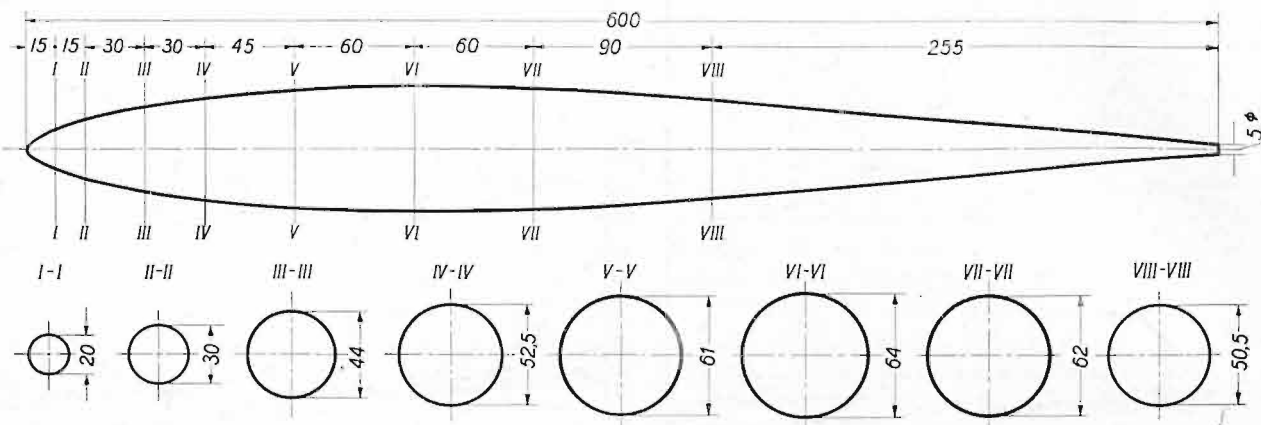
Długość $L = 0,600$ m

Ciśnienie prędkości $q = 100$ kg/m²

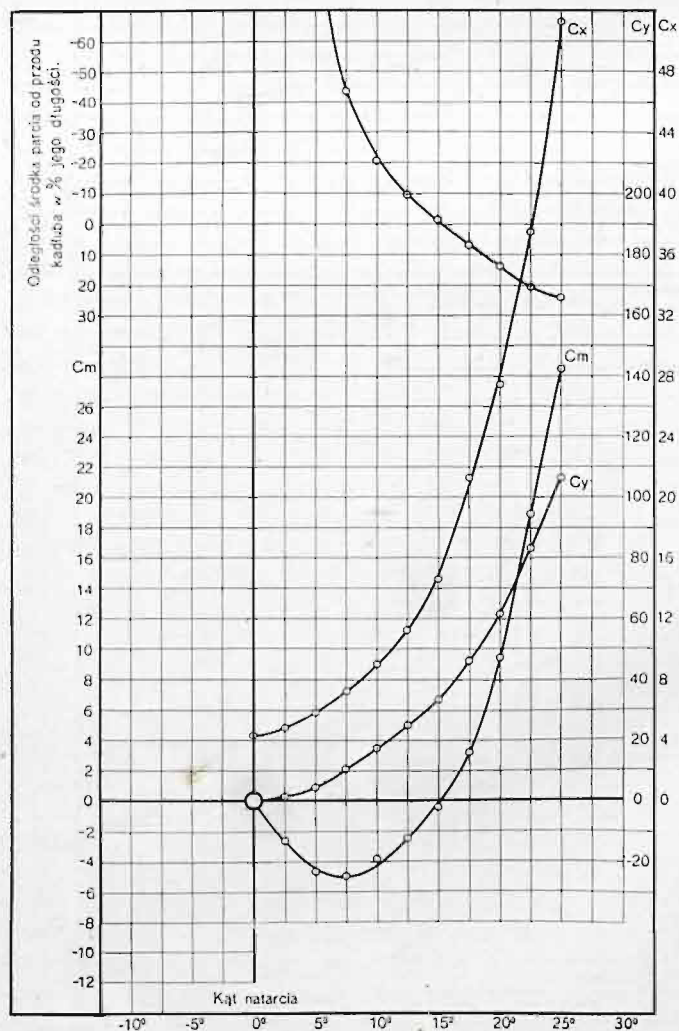
Kadłub Nr. 4

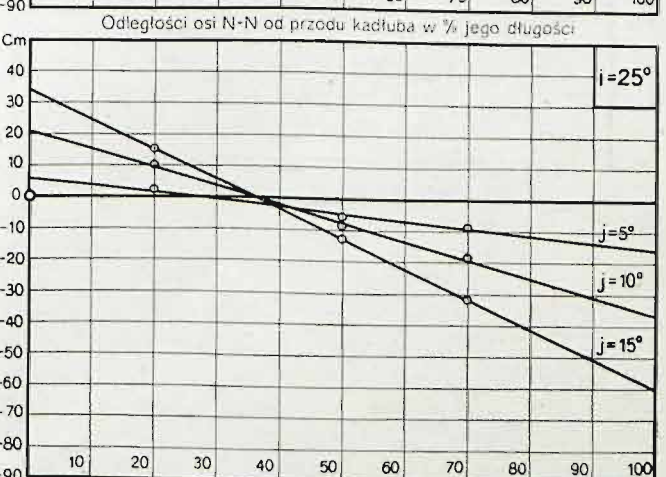
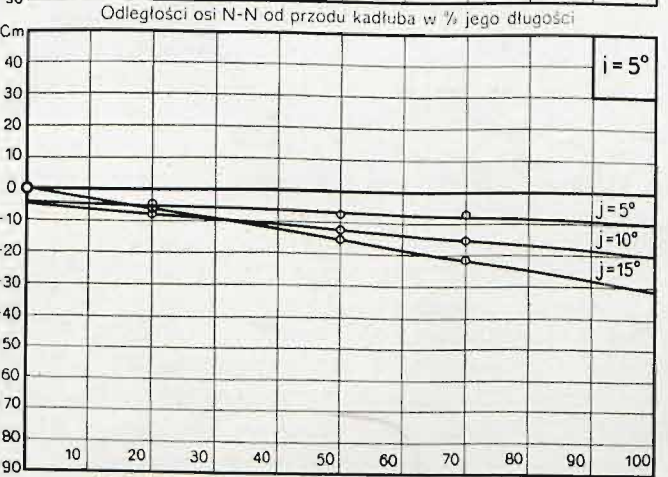
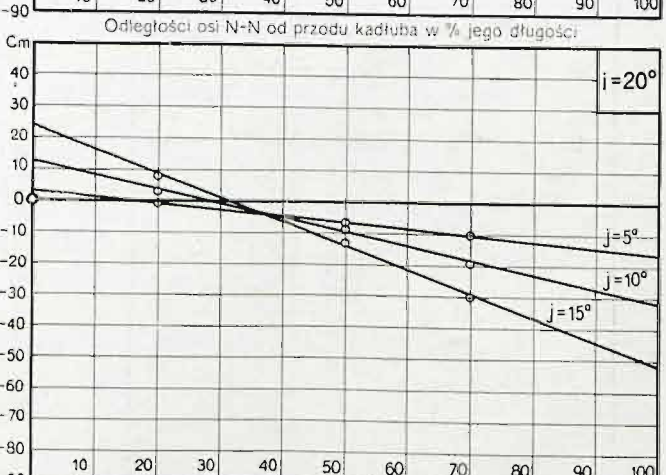
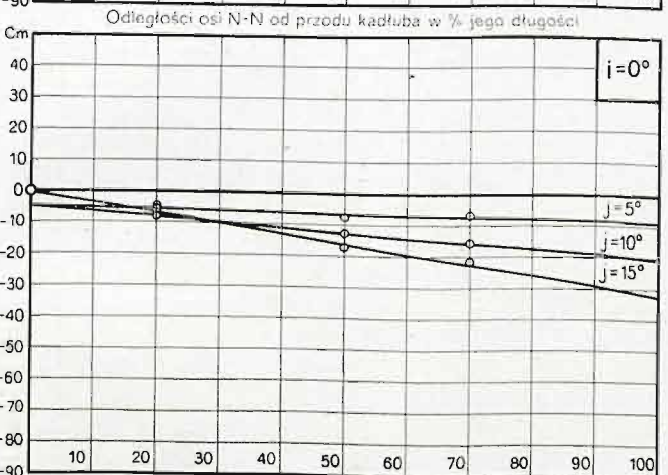
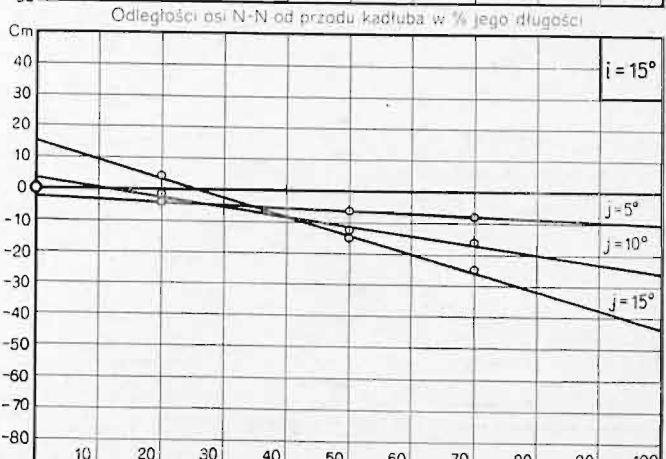
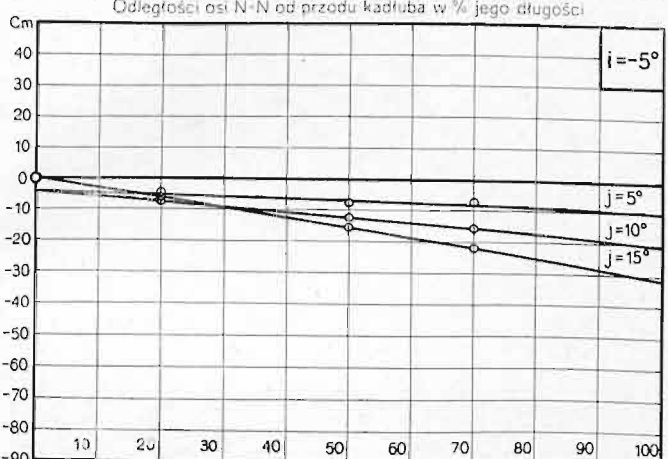
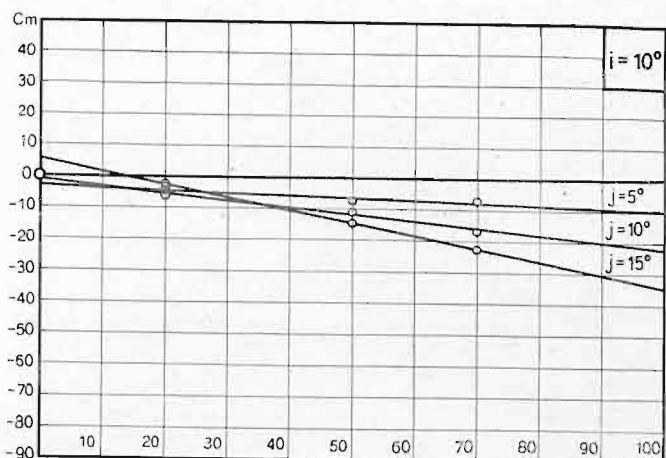
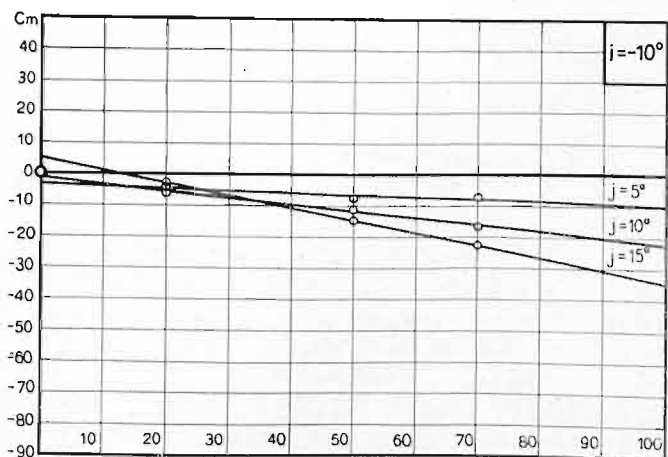
Największy przekrój $S = 0,003238$ m²

Data pomiaru 17.VI.31.



i^0	C_y	C_x	C_m	$e^0/0$
25,0	106,2	51,1	28,5	24,2
22,5	83,3	37,6	18,8	20,6
20,0	61,8	27,5	9,5	14,0
17,5	46,1	21,2	3,3	6,5
15,0	33,8	14,6	-0,5	-1,4
12,5	25,1	11,3	-2,5	-9,4
10,0	17,3	9,1	-3,8	-20,5
7,5	10,5	7,4	-5,0	-43,7
5,0	4,3	5,9	-4,7	-96,5
2,5	1,2	5,0	-2,4	-163,7
0,0	0,0	4,4	0,0	—





Odległości osi N-N od przodu kadłuba w % jego długości

Odległości osi N-N od przodu kadłuba w % jego długości

Odległości osi N-N od przodu kadłuba w % jego długości

Odległości osi N-N od przodu kadłuba w % jego długości

Odległości osi N-N od przodu kadłuba w % jego długości

Odległości osi N-N od przodu kadłuba w % jego długości

Odległości osi N-N od przodu kadłuba w % jego długości

Odległości osi N-N od przodu kadłuba w % jego długości

Doświadczenie Nr. 1577

Model Nr. 707

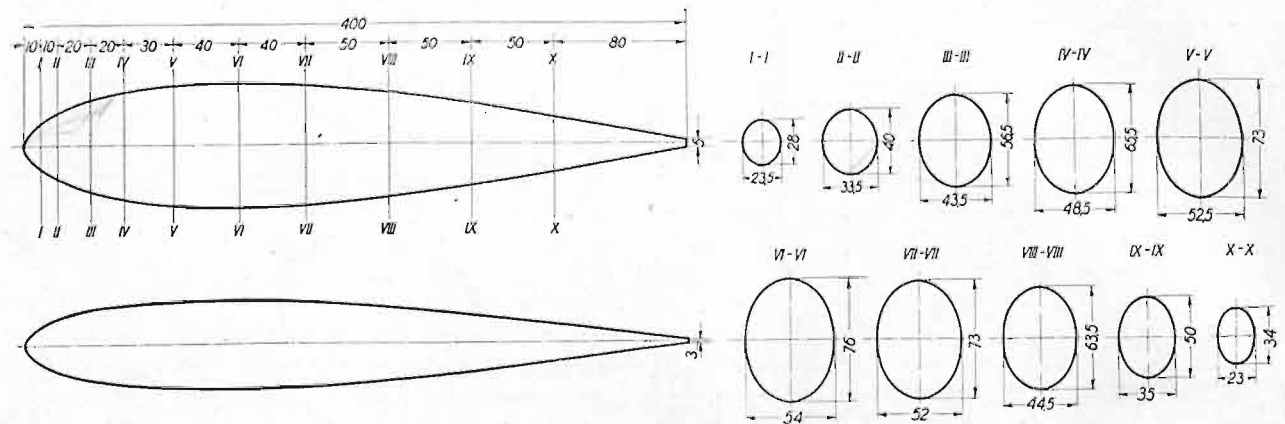
Długość $L = 0,400$ m

Ciśnienie prędkości $q = 100$ kg/m²

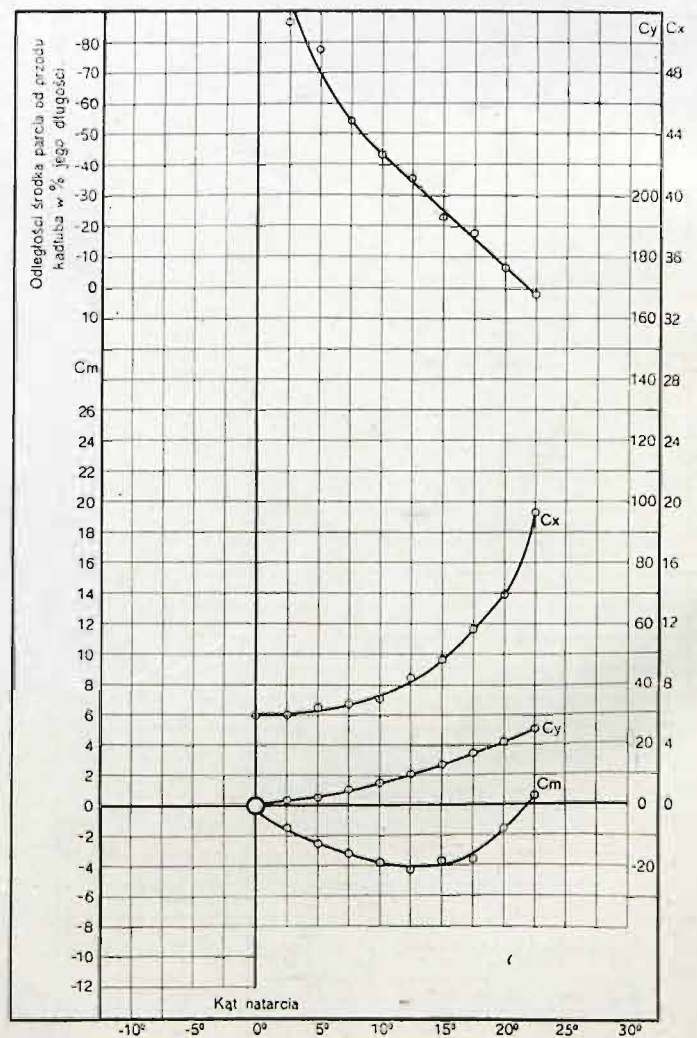
Kadłub Nr. 5

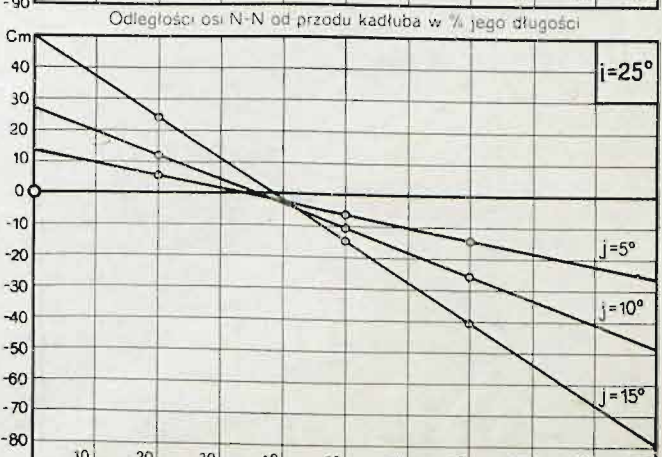
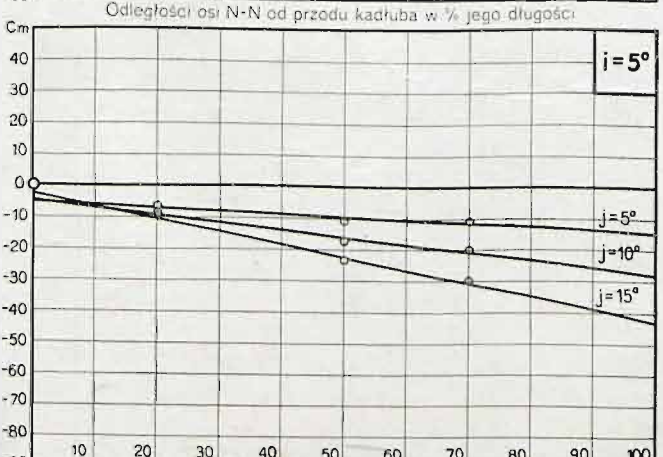
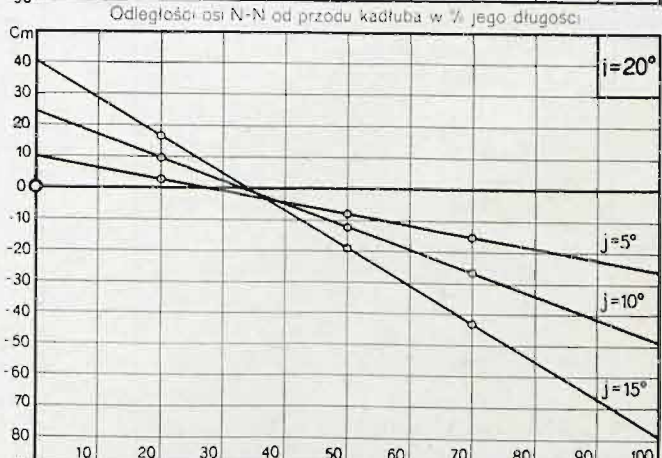
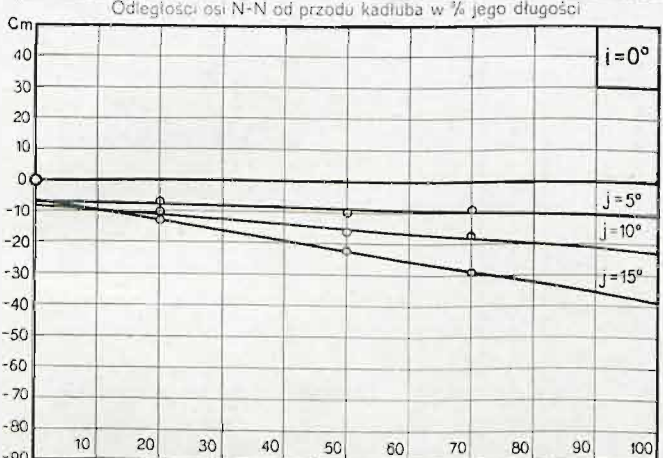
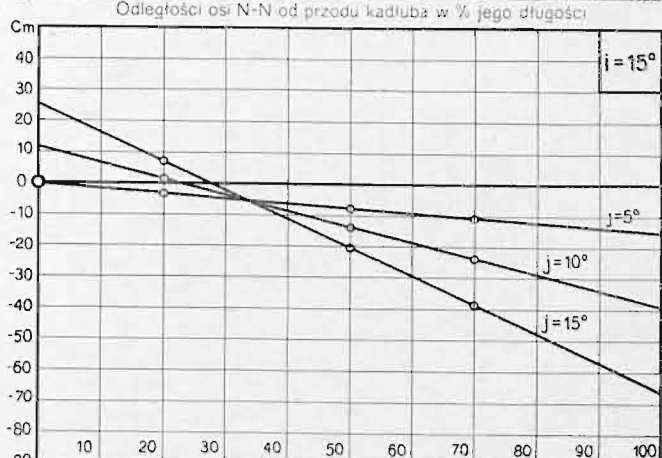
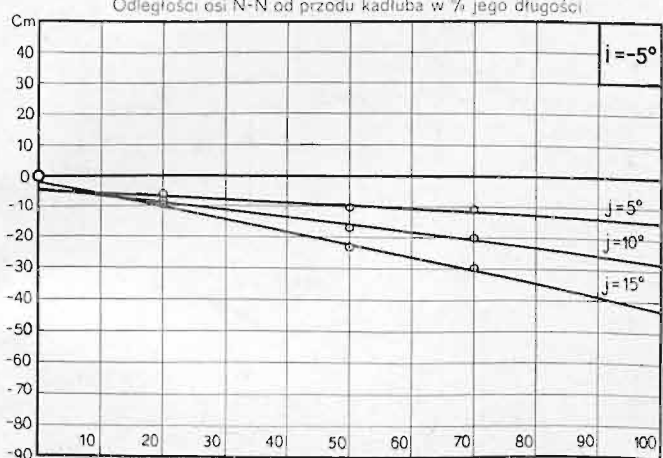
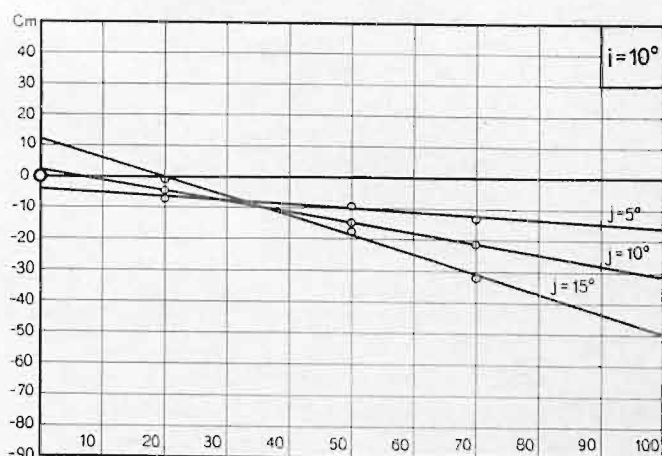
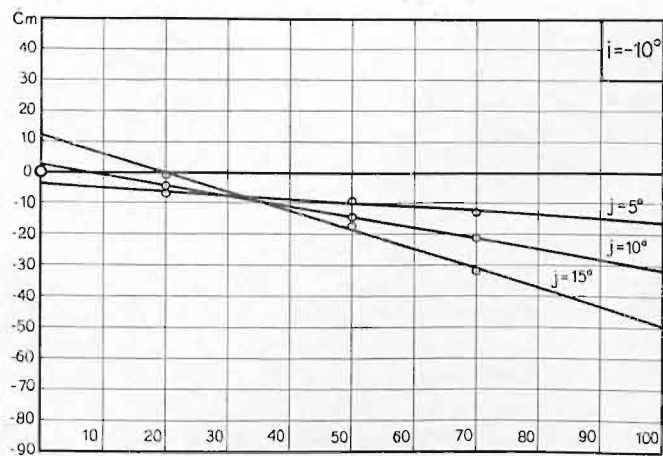
Największy przekrój $S = 0,00328$ m²

Data pomiaru 21.V.31.



α°	C_y	C_x	C_m	$e^\circ/\%$
22,5	25,3	19,3	0,6	2,0
20,0	21,3	13,9	-1,7	-6,8
17,5	17,4	11,7	-3,6	-18,1
15,0	13,7	9,7	-3,7	-23,2
12,5	10,7	8,5	-4,3	-35,9
10,0	7,6	7,2	-3,8	-43,4
7,5	5,2	6,7	-3,2	-54,1
5,0	2,7	6,6	-2,6	-77,6
2,5	1,5	6,1	-1,6	-86,6
0,0	0,0	6,0	0,0	—





Odległości osi N-N od przodu kadłuba w % jego długości

Odległości osi N-N od przodu kadłuba w % jego długości

Doświadczenie Nr. 1329.

Model Nr. 708

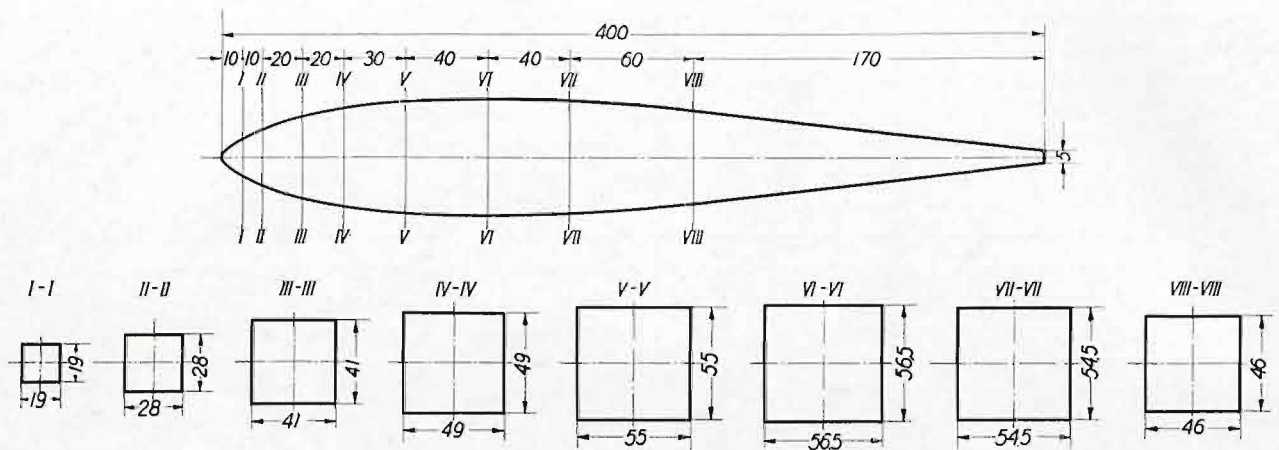
Długość $L = 0,400$ m

Ciśnienie prędkości $q = 100$ kg/m²

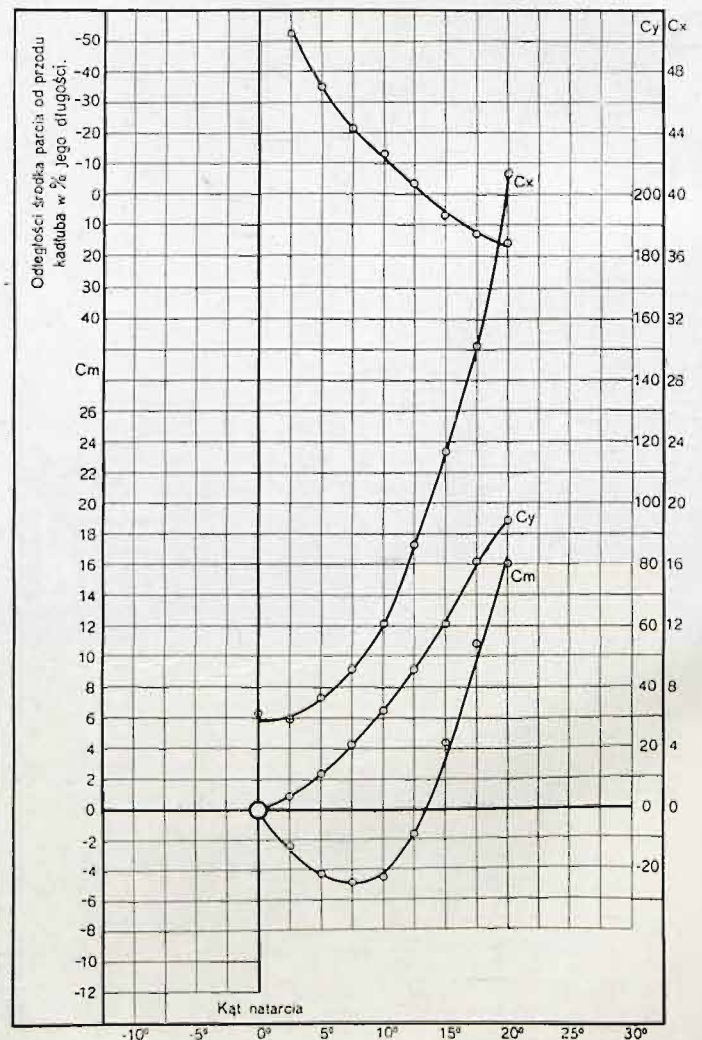
Kadłub Nr. 6

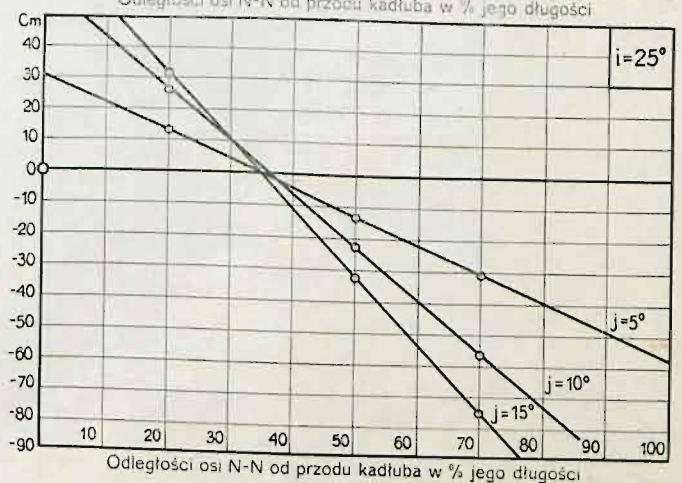
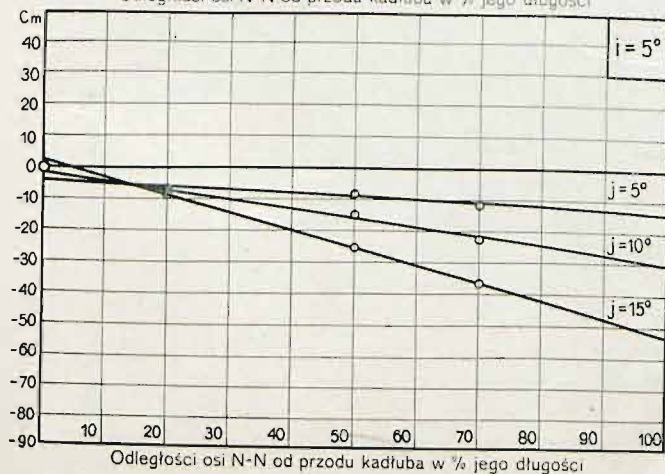
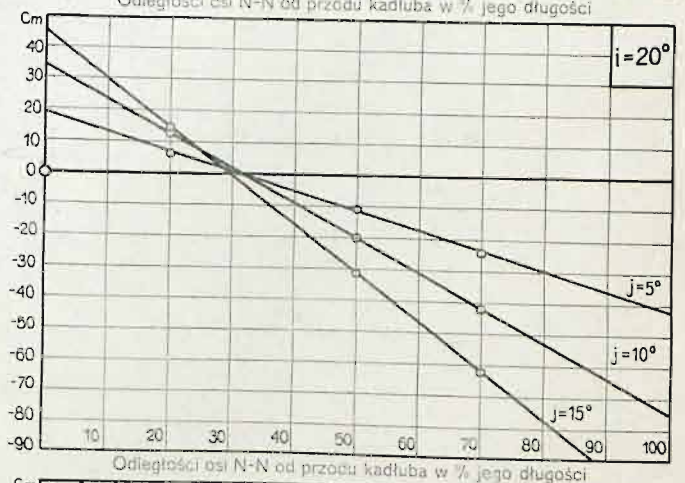
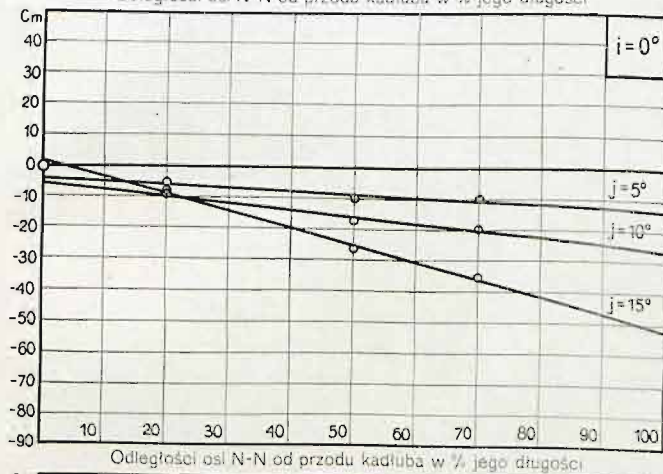
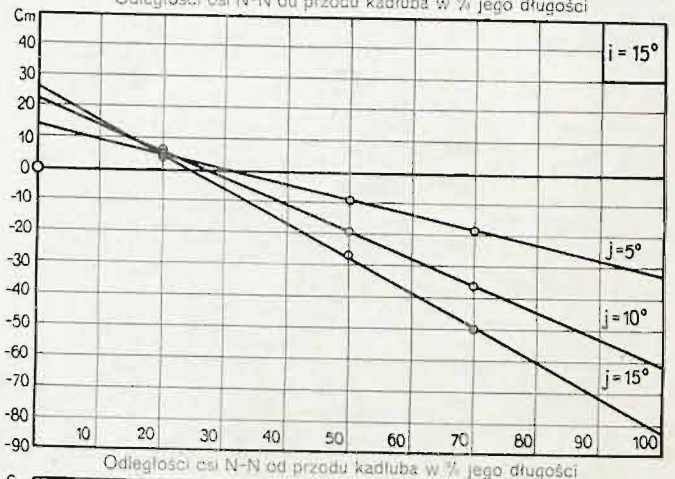
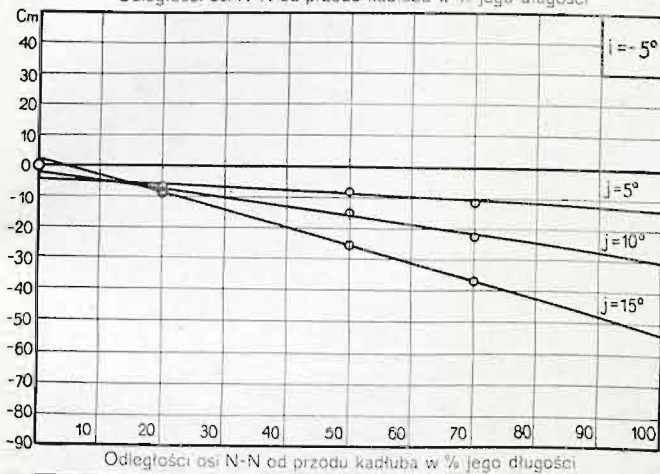
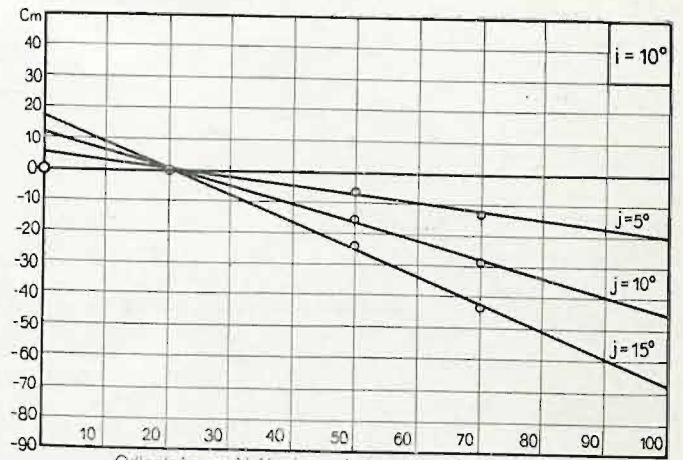
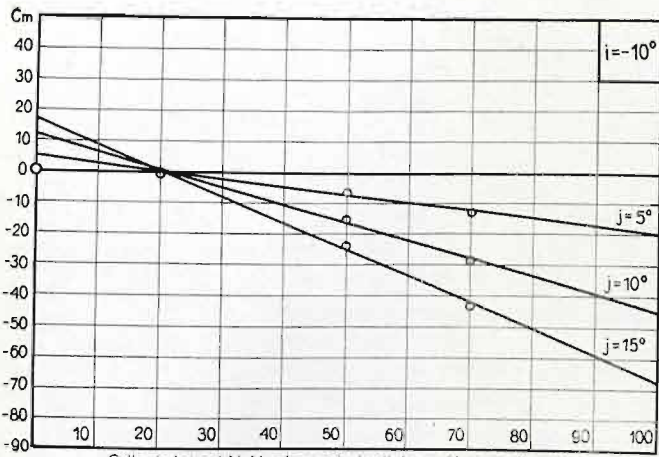
Największy przekrój $S = 0,003237$ m²

Data pomiaru: 20.XII.30.



i°	C_y	C_x	C_m	e°/\circ
20,0	94,2	41,3	15,9	15,5
17,5	80,6	30,3	10,8	12,6
15,0	61,1	23,3	4,4	6,8
12,5	46,0	17,3	-1,6	-3,3
10,0	32,1	12,2	-4,5	-13,4
7,5	21,3	9,2	-4,8	-21,5
5,0	11,7	7,4	-4,3	-34,8
2,5	4,3	5,9	-2,4	-52,4
0,0	0,0	6,3	0,0	—





Doświadczenie Nr. 1637

Model Nr. 709

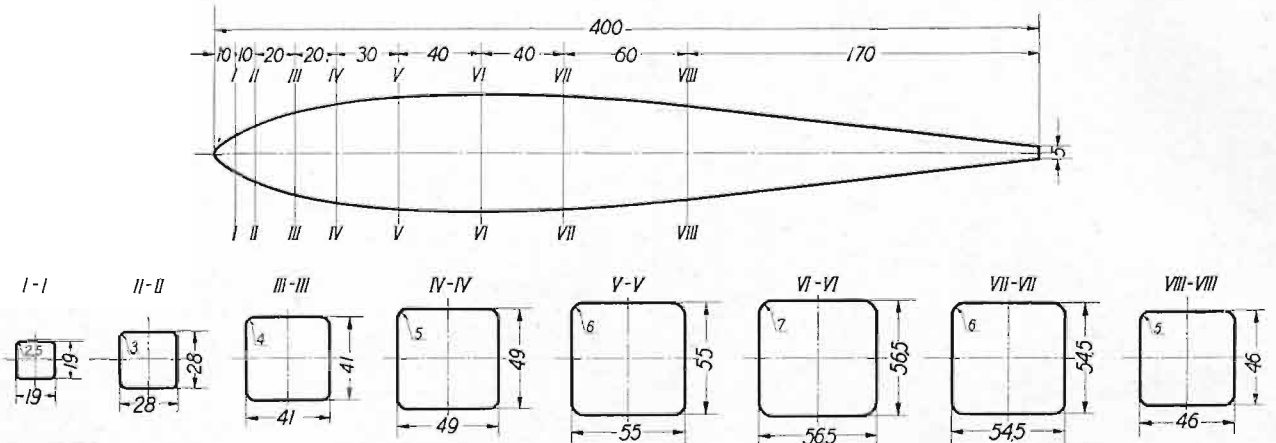
Długość $L = 0,400$ m

Ciśnienie prędkości $q = 100$ kg/m²

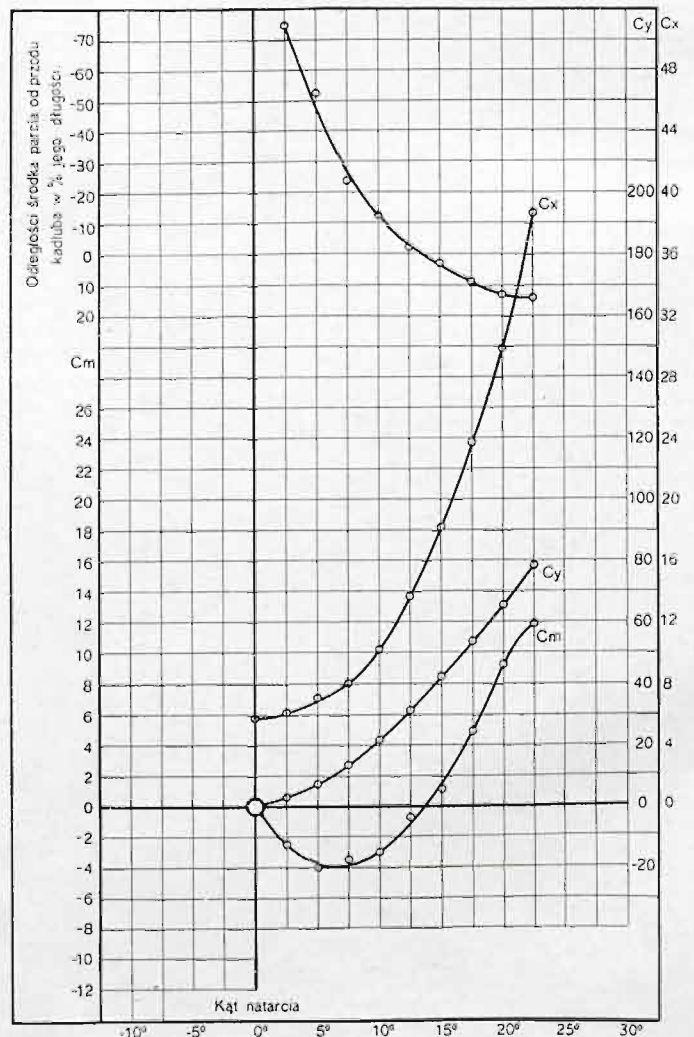
Kadłub Nr. 7

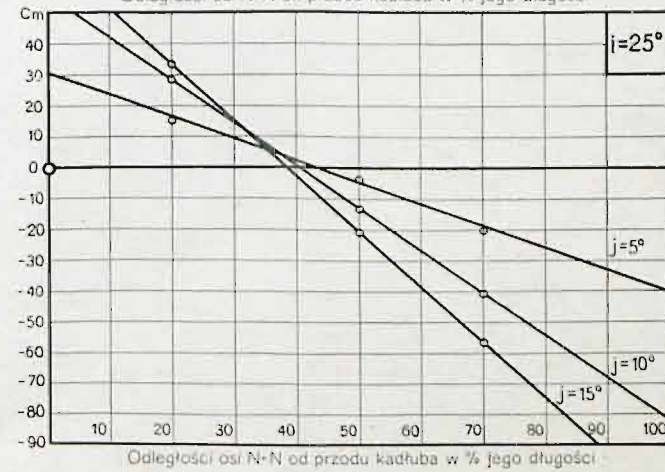
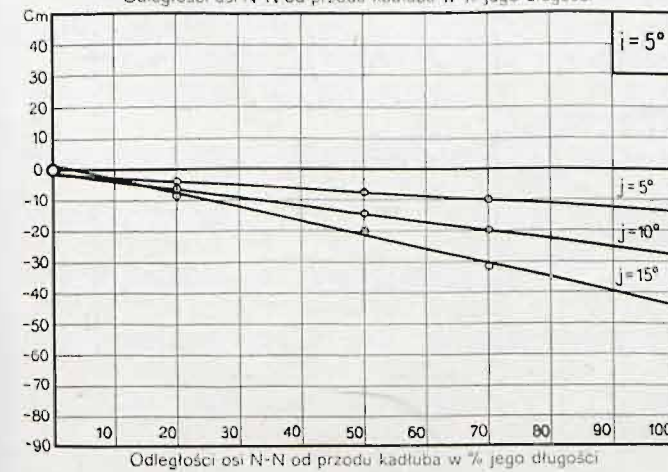
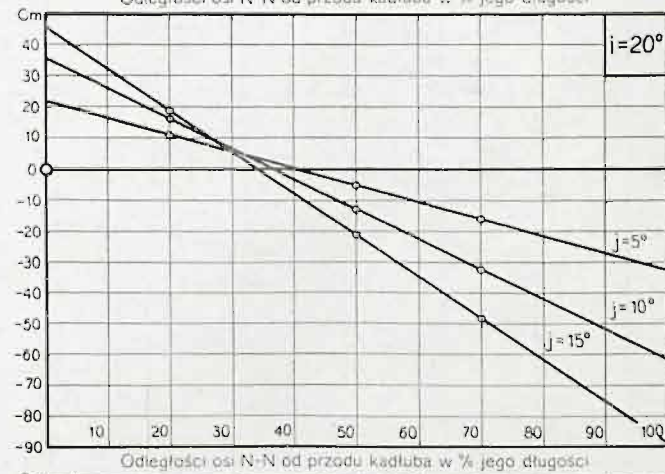
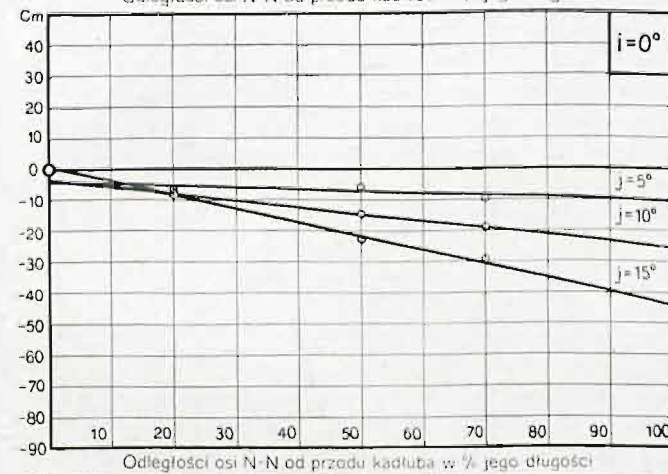
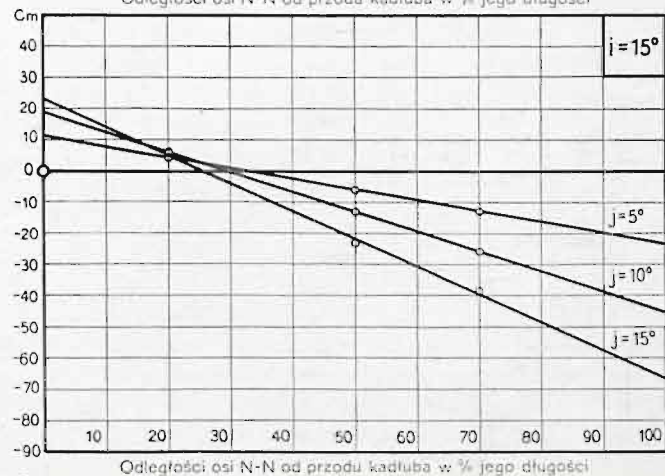
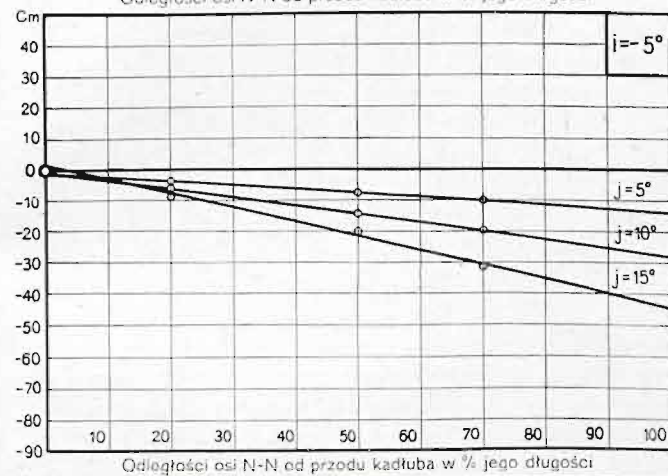
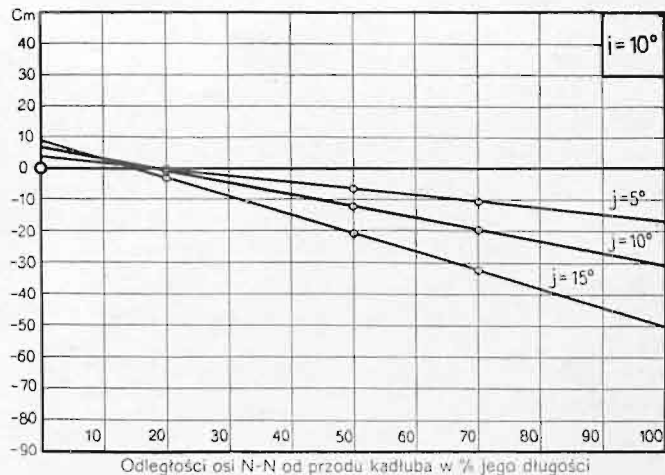
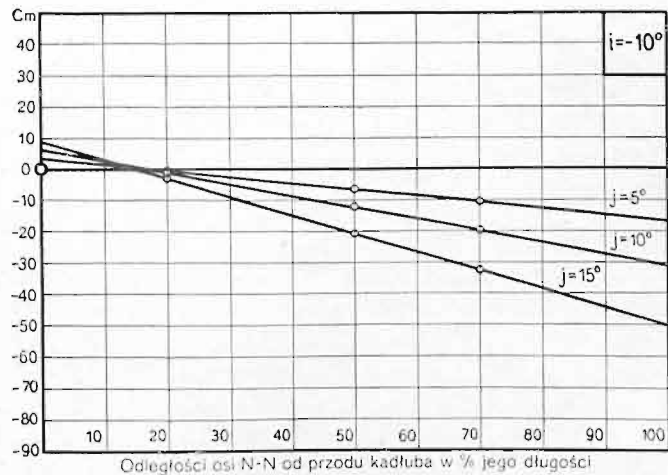
Największy przekrój $S = 0,00312$ m²

Data pomiaru: 11.VII.31.



i^0	C_y	C_x	C_m	$e^0_{/0}$
22,5	78,5	38,6	12,0	13,7
20,0	65,9	29,9	9,3	12,9
17,5	53,7	23,8	4,8	8,3
15,0	42,8	18,3	1,2	2,5
12,5	31,7	13,7	-0,7	-2,0
10,0	22,0	10,3	-3,0	-12,8
7,5	13,8	8,1	-3,5	-24,0
5,0	7,1	7,1	-4,0	-52,3
2,5	3,2	6,1	-2,6	-74,4
0,0	0,0	5,9	0,0	—





Doświadczenie Nr. 1330

Model Nr. 710

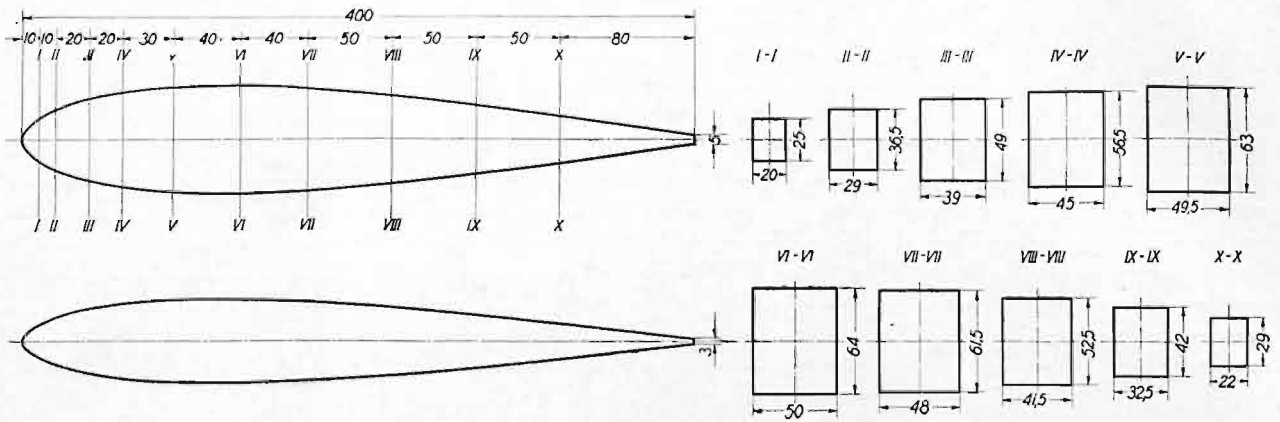
Długość $L = 0,400$ m

Ciśnienie prędkości $q = 100$ kg/m²

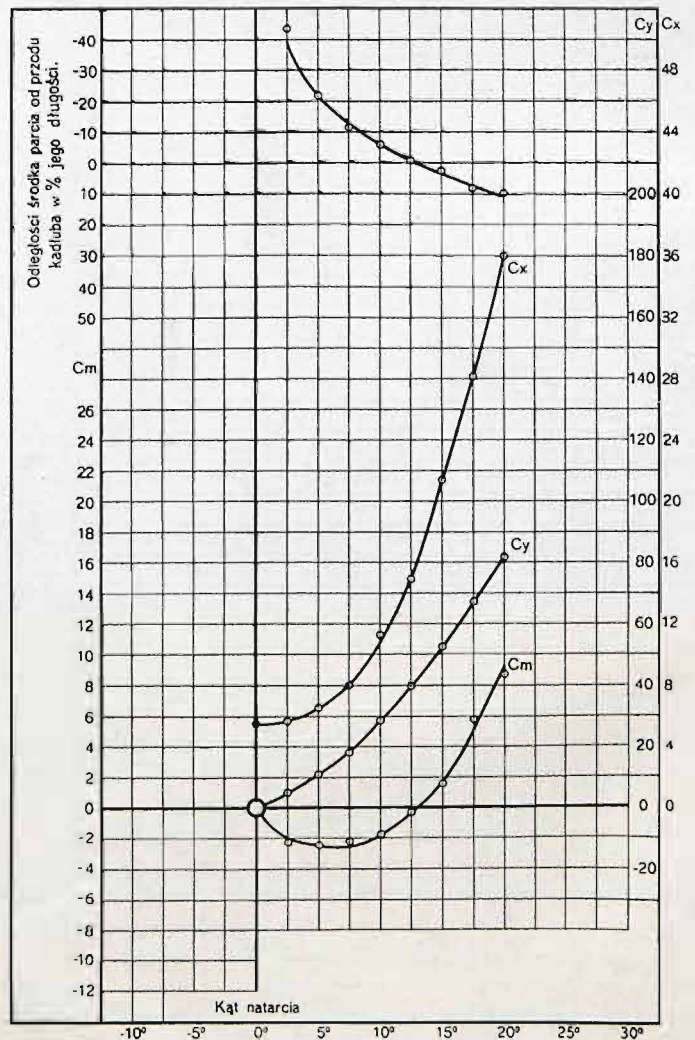
Kadłub Nr. 8

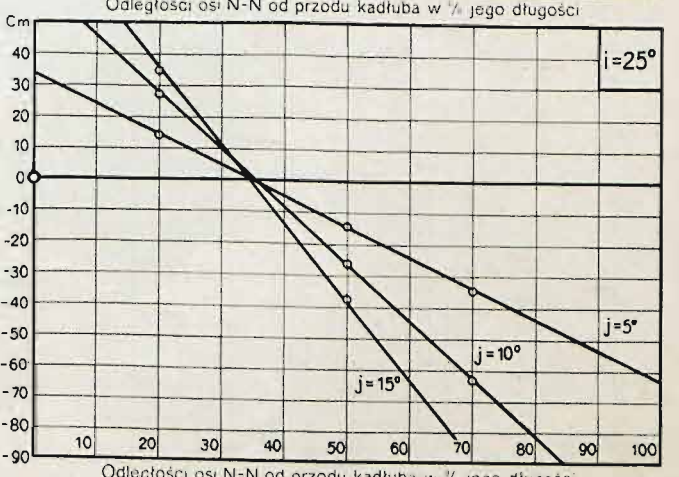
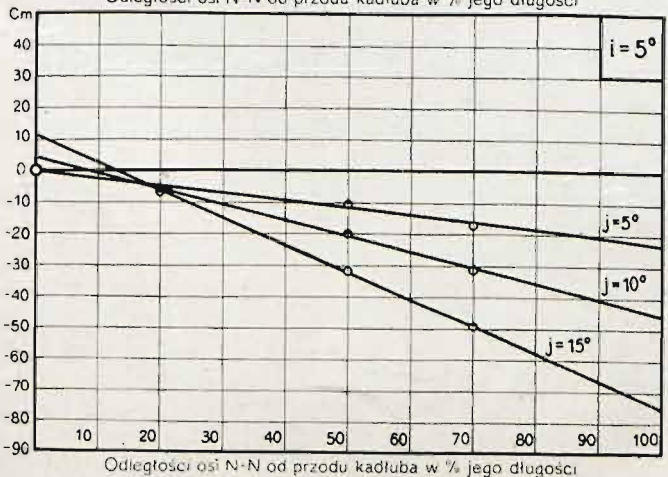
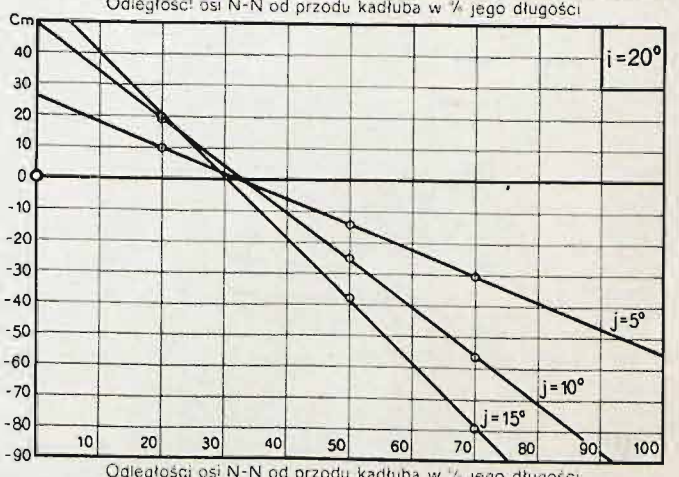
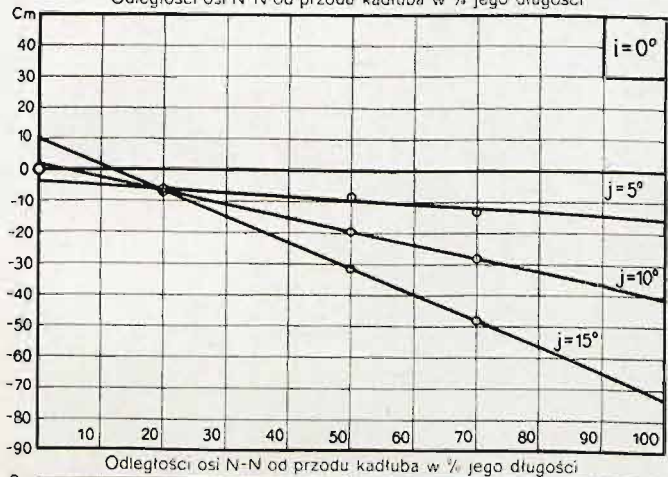
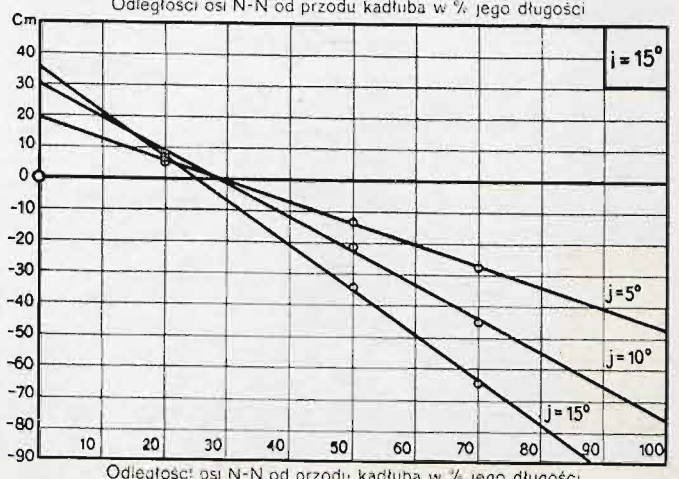
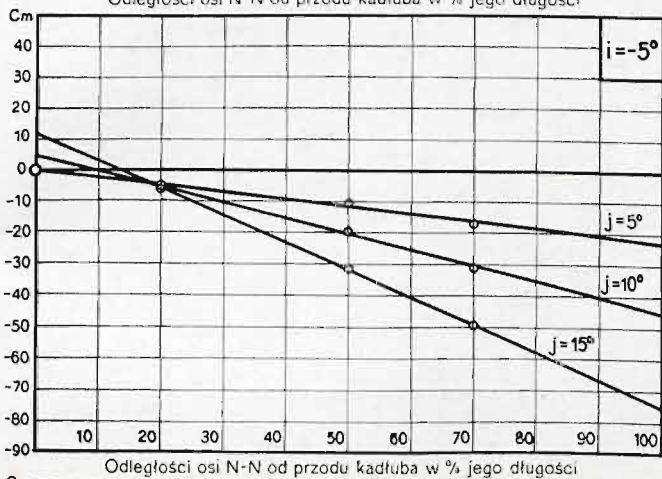
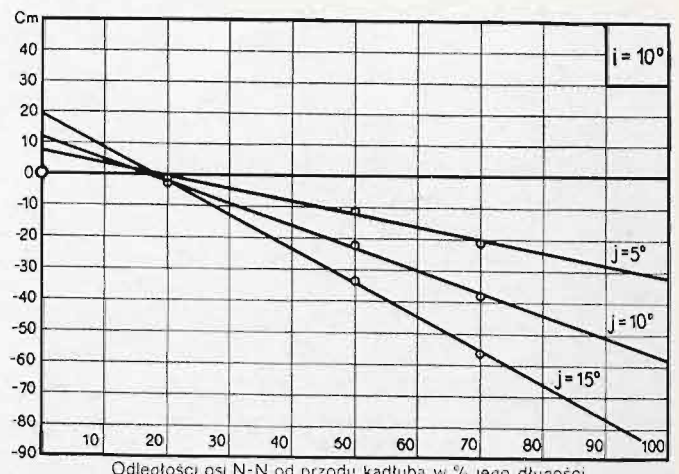
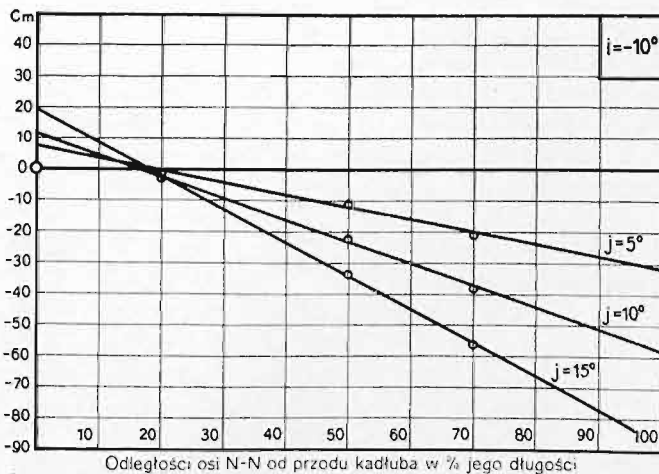
Największy przekrój $S = 0,00322$ m²

Data pomiaru: 22.XII.30.



i°	C_y	C_x	C_m	$e^\circ/\%$
20,0	81,7	36,1	8,8	9,9
17,5	66,8	28,2	5,8	8,0
15,0	52,5	21,4	1,5	2,7
12,5	40,1	15,0	-0,3	-0,7
10,0	28,9	11,3	-1,8	-5,8
7,5	18,3	8,1	-2,2	-11,5
5,0	10,9	6,6	-2,5	-21,5
2,5	5,0	5,7	-2,3	-43,4
0,0	0,0	5,5	0,0	—





Doświadczenie Nr. 1100

Model Nr. 51

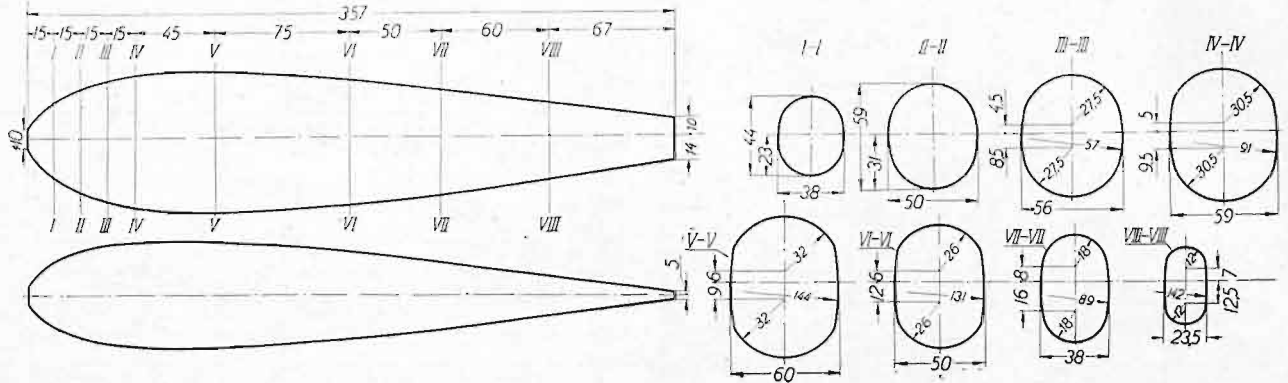
Długość $L = 0,357$ m

Ciśnienie prędkości $q = 100$ kg/m²

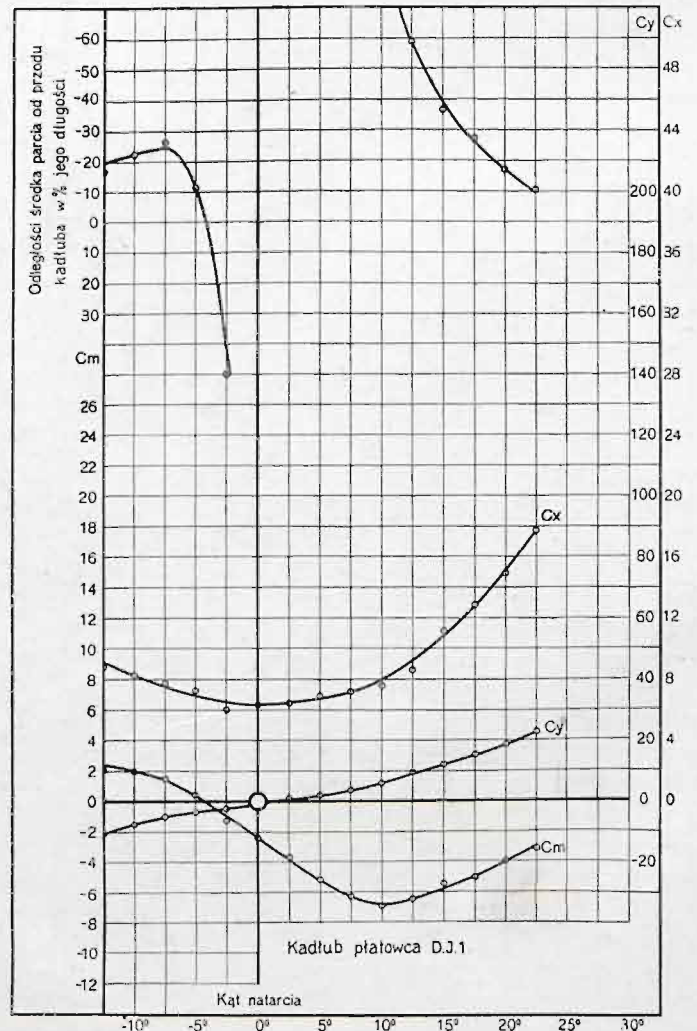
Kadłub Nr. 9

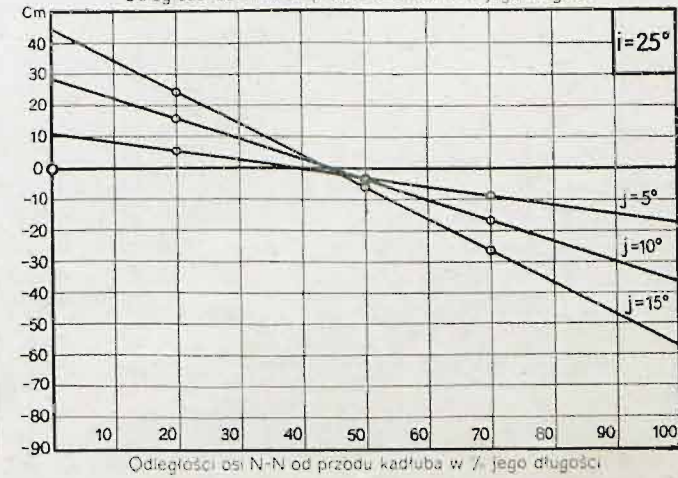
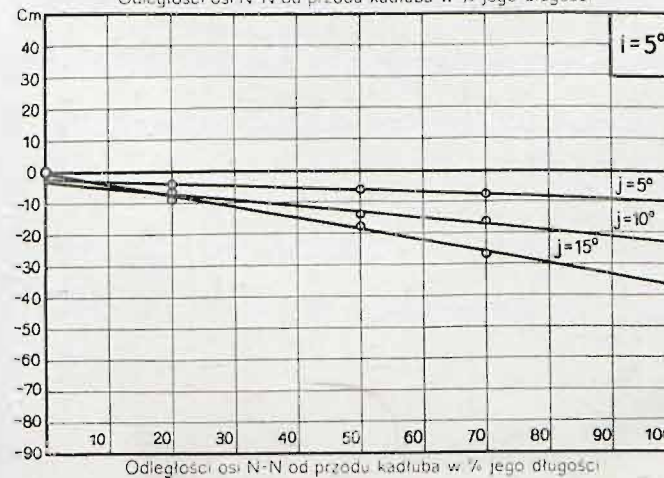
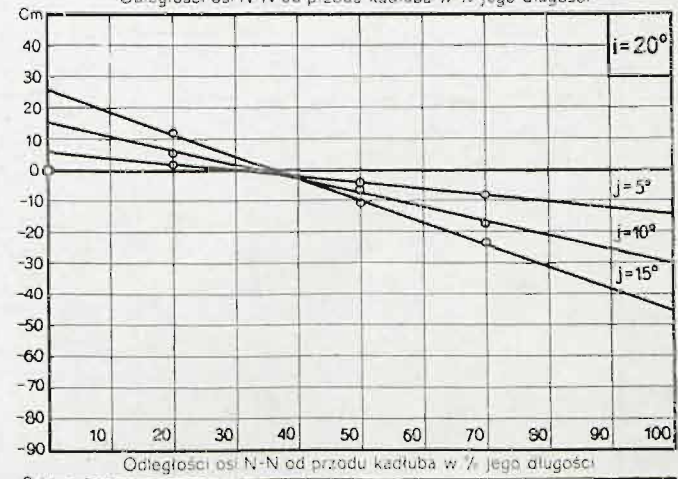
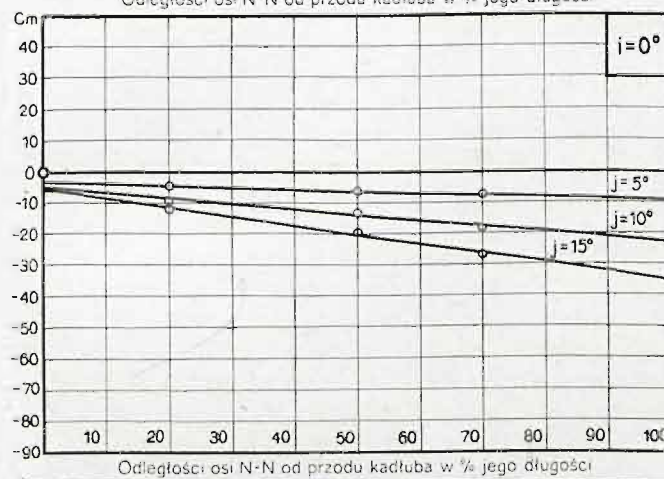
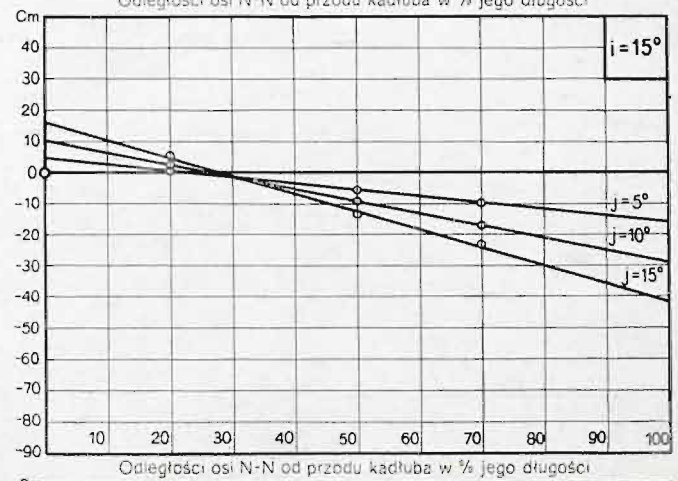
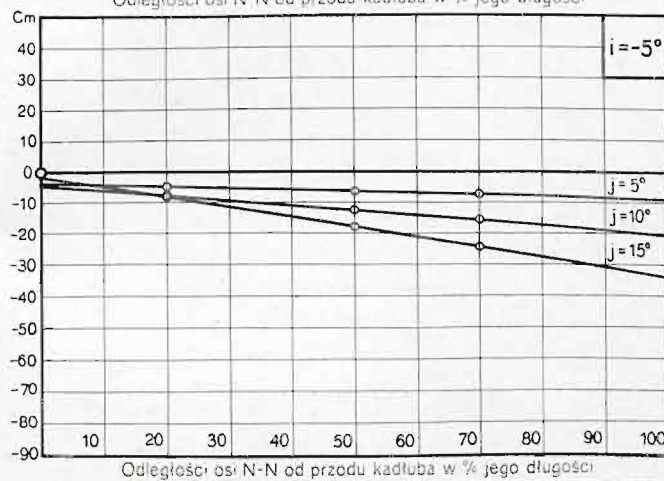
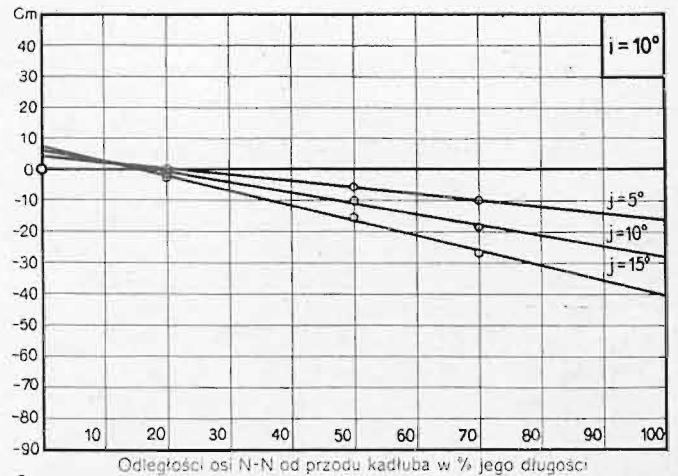
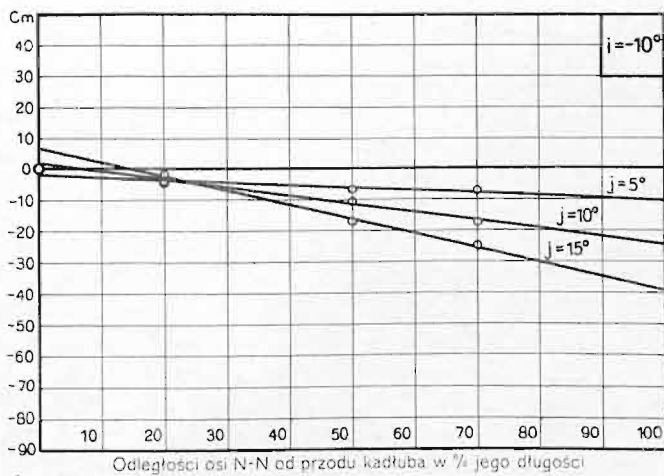
Największy przekrój $S = 0,00416$ m²

Data pomiaru: 23.V.30.



i°	C_y	C_x	C_m	$e^{\circ}/_0$
22,5	23,1	17,8	-3,1	-10,9
20,0	19,0	15,0	-4,0	-17,5
17,5	15,6	12,8	-5,1	-27,1
15,0	12,5	11,2	-5,5	-36,7
12,5	9,4	8,6	-6,5	-58,9
10,0	6,3	7,6	-6,9	-92,4
7,5	3,9	7,2	-6,4	-134,1
5,0	1,9	7,0	-5,4	-213,6
2,5	0,7	6,5	-3,8	-381,0
0,0	-0,7	6,3	-2,5	352,8
-2,5	-2,2	6,0	-1,2	50,2
-5,0	-3,1	7,2	0,4	-11,2
-7,5	-4,8	7,7	1,5	-26,7
-10,0	-7,5	8,2	2,0	-22,6
-12,5	-10,6	8,7	2,1	-17,0
-15,0	-13,5	10,7	2,8	-18,0





Doświadczenie Nr. 1252

Model Nr. 64

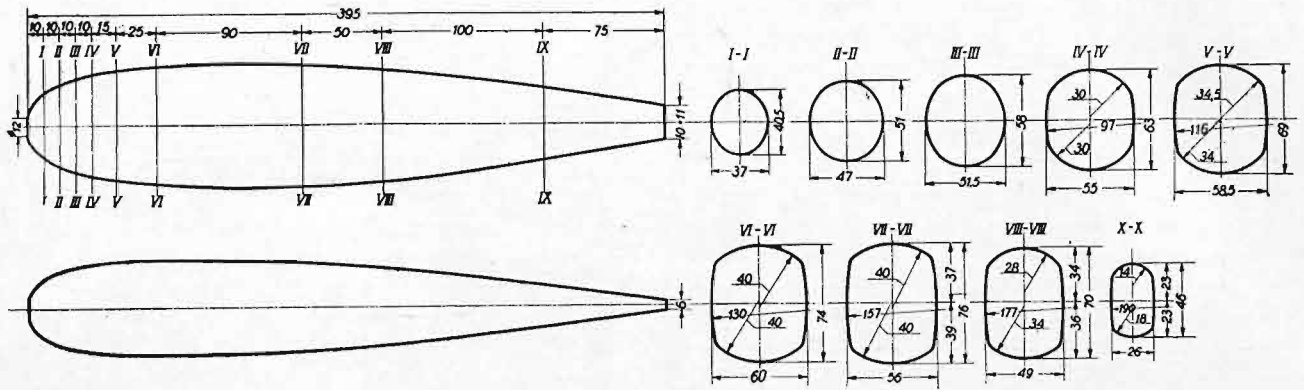
Długość $L = 0,395$ m

Ciśnienie prędkości $q = 100$ kg/m²

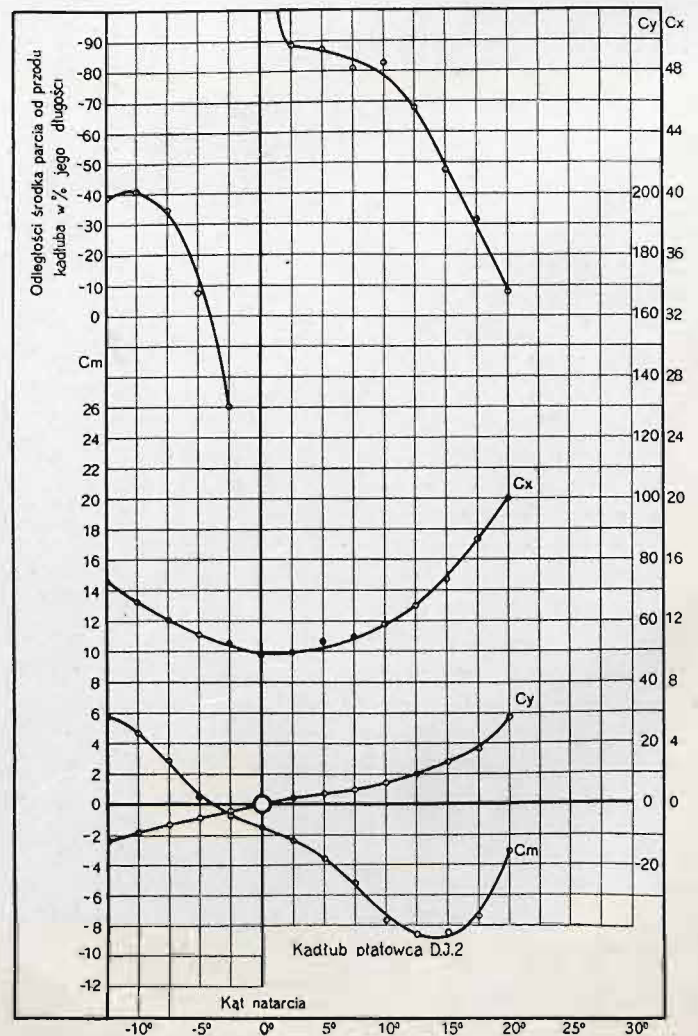
Kadłub Nr. 10

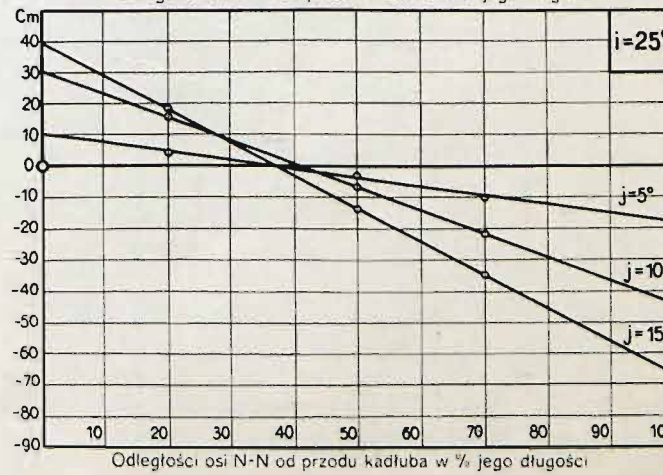
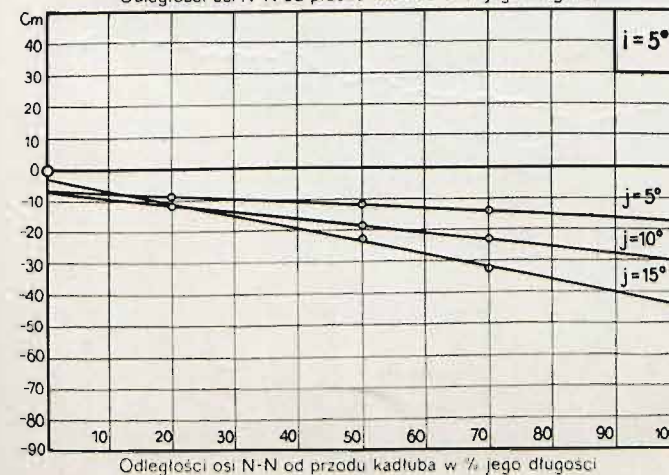
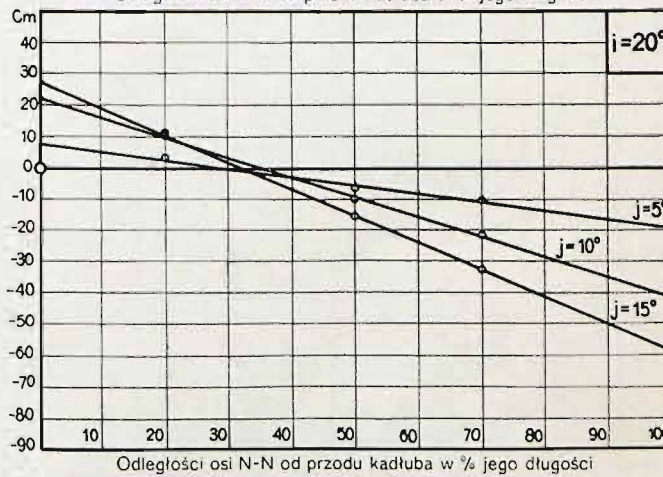
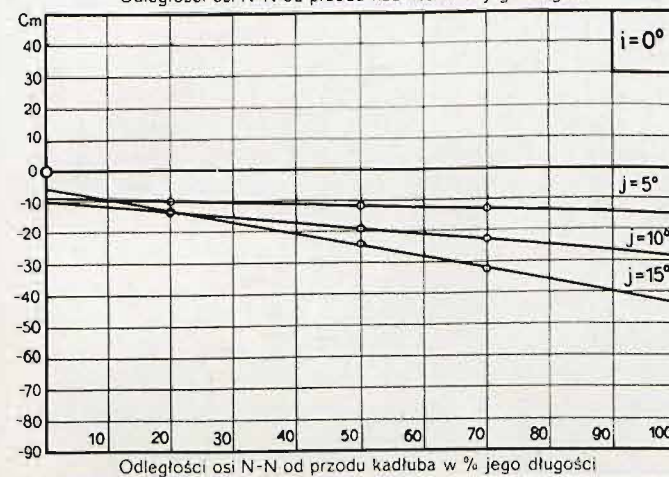
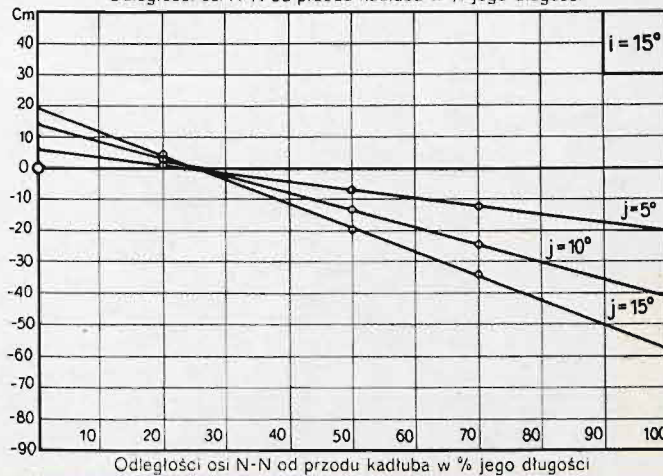
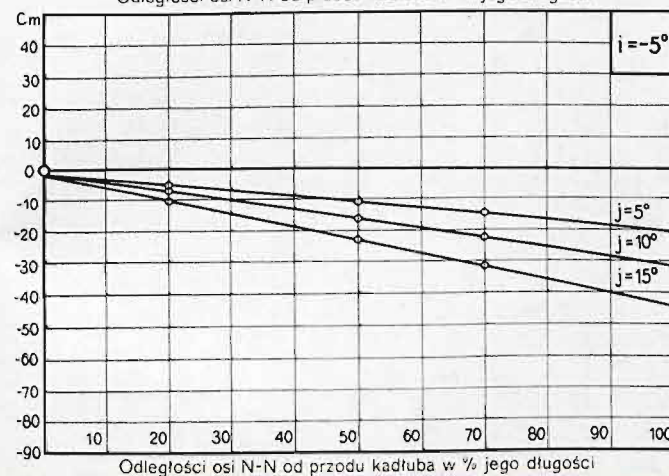
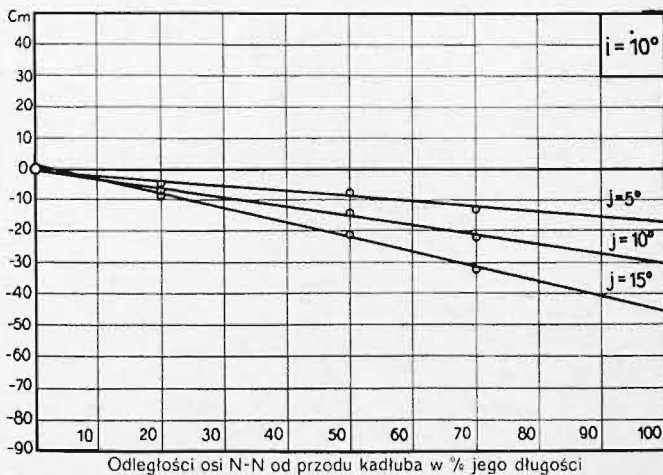
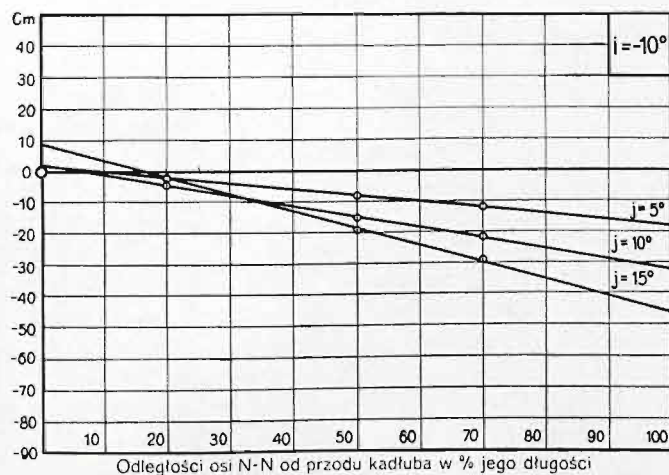
Największy przekrój $S = 0,00375$ m²

Data pomiaru: 2.X.30.



α°	C_y	C_x	C_m	$e^\circ/\%$
20,0	28,9	20,1	-3,1	-8,9
17,5	18,9	17,3	-7,3	-31,4
15,0	14,4	14,8	-8,4	-47,7
12,5	10,0	13,0	-8,5	-67,7
10,0	7,2	11,8	-7,6	-82,8
7,5	5,1	10,9	-5,2	-80,6
5,0	3,2	10,6	-3,6	-87,2
2,5	2,1	9,9	-2,3	-88,2
0,0	0,0	9,8	-1,5	—
-2,5	-2,1	10,5	-0,8	29,4
-5,0	-4,3	11,0	0,4	-7,7
-7,5	-6,7	12,0	2,9	-35,0
-10,0	-9,3	13,2	4,7	-40,9
-12,5	-12,0	14,6	5,8	-39,0





Doświadczenie Nr. 928

Model Nr. 90

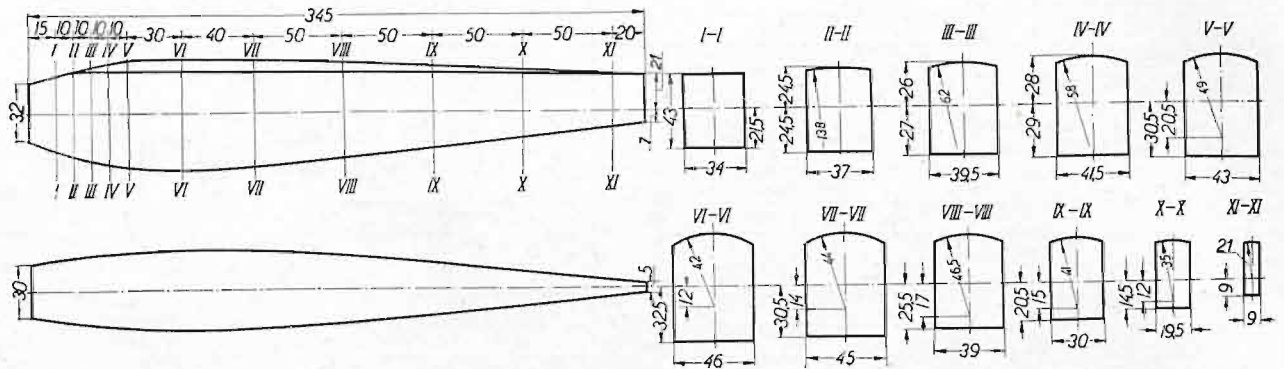
Długość $L = 0,345$ m

Ciśnienie prędkości $q_\infty = 100$ kg/m²

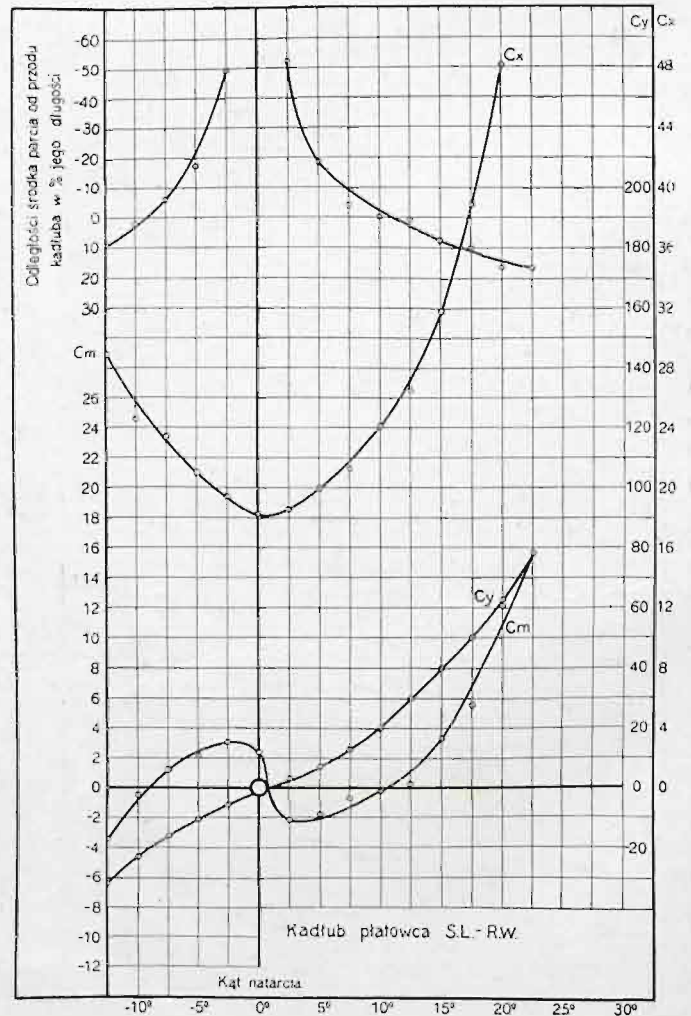
Kadłub Nr.11

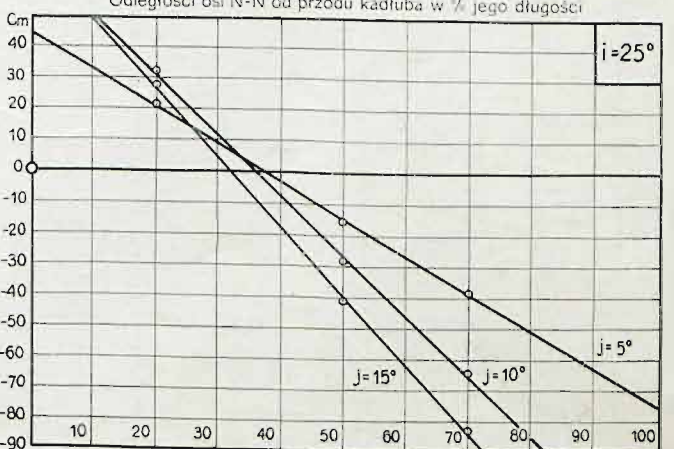
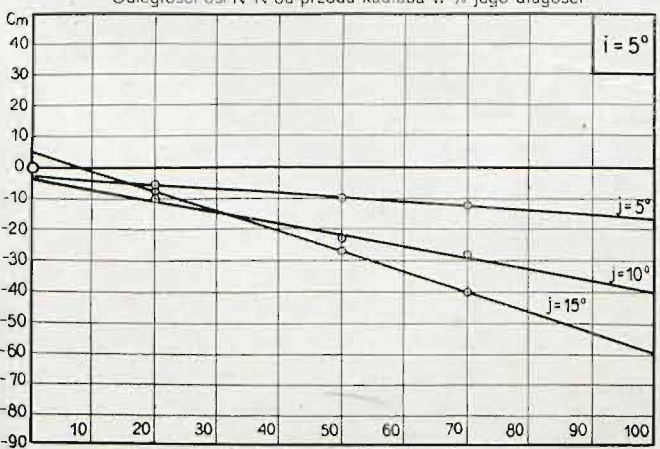
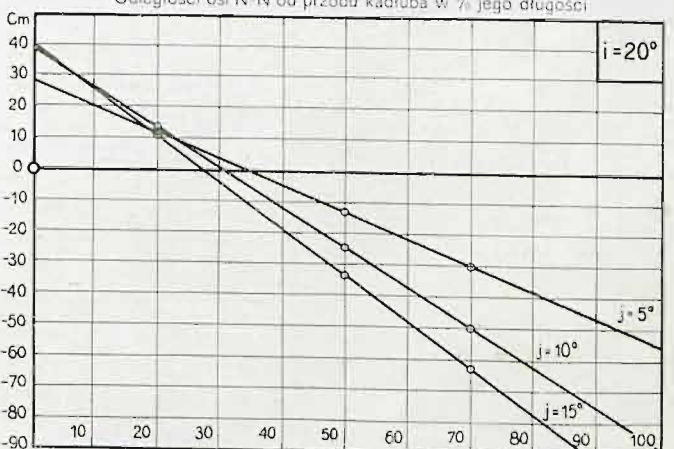
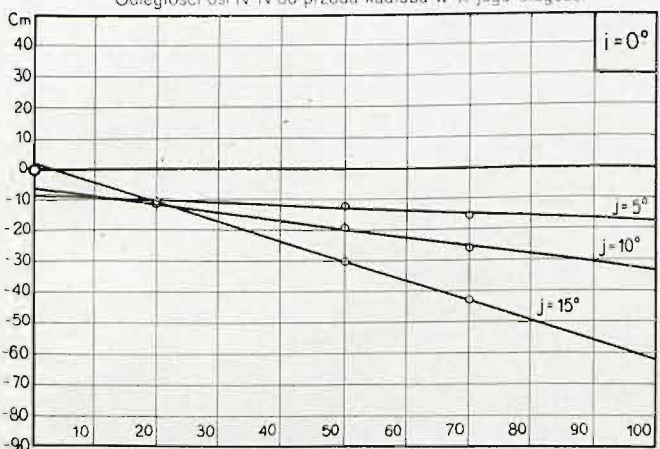
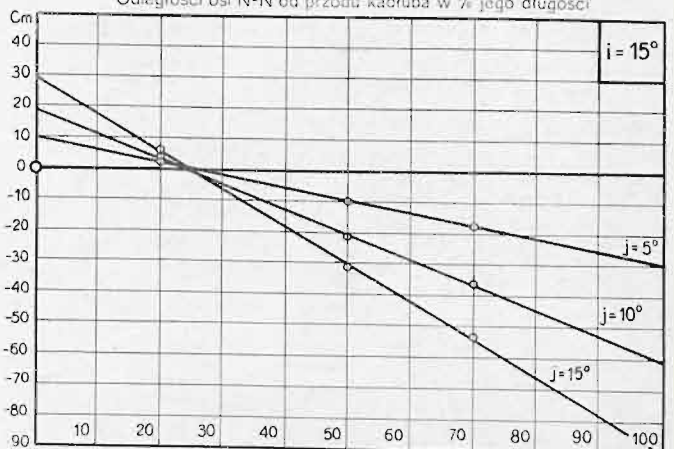
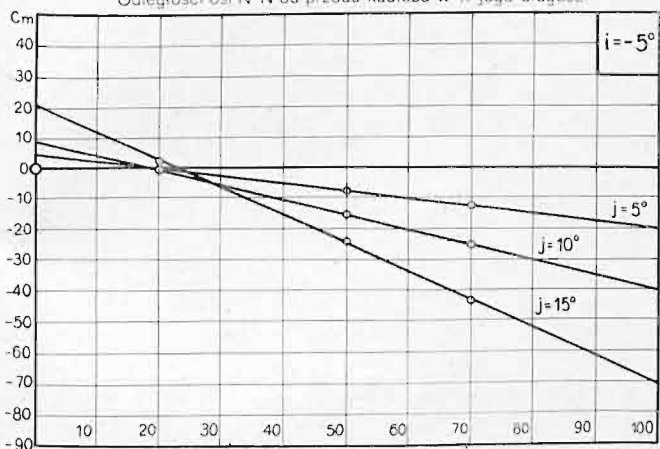
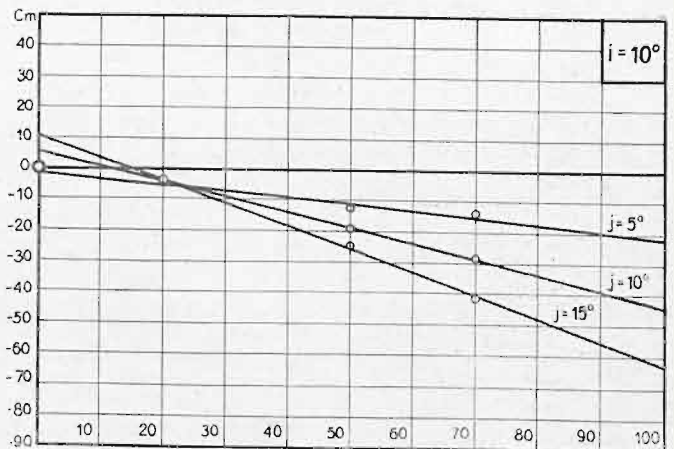
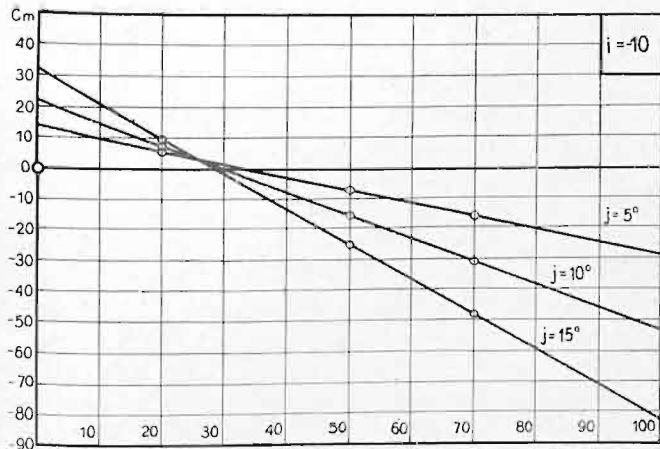
Największy przekrój $S = 0,002796$ m²

Data pomiaru: 7.1.30.



β°	C_y	C_x	C_m	$e^{\circ}/_0$
22,5	79,1	58,7	15,8	16,6
20,0	63,7	48,1	12,2	16,1
17,5	50,8	38,9	5,7	9,5
15,0	40,4	31,9	3,4	7,2
12,5	30,1	26,6	0,2	0,5
10,0	20,0	24,1	-0,2	-0,6
7,5	13,2	21,4	-0,7	-4,1
5,0	7,5	20,0	-1,7	-18,7
2,5	3,2	18,6	-2,1	-52,2
0,0	-1,4	18,3	2,5	-175,4
-2,5	-5,4	19,4	3,1	-49,7
-5,0	-10,7	20,8	2,2	-17,7
-7,5	-16,1	23,4	1,2	-6,4
-10,0	-23,3	24,5	-0,5	2,0
-12,5	-32,6	28,9	-3,5	9,2
-15,0	-41,5	34,7	-5,8	11,8





Doświadczenie Nr. 546

Model Nr. 116

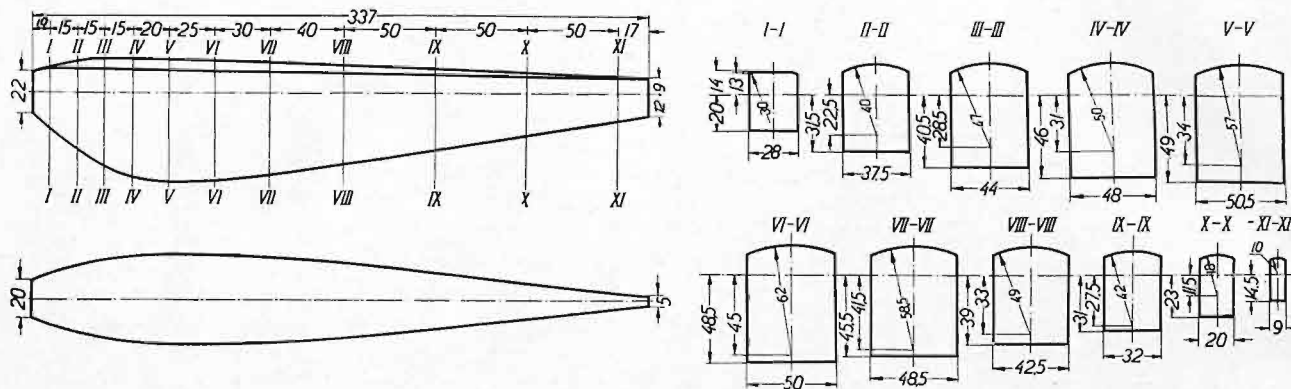
Długość $L = 0,337$ m

Ciśnienie prędkości $q = 100$ kg/m²

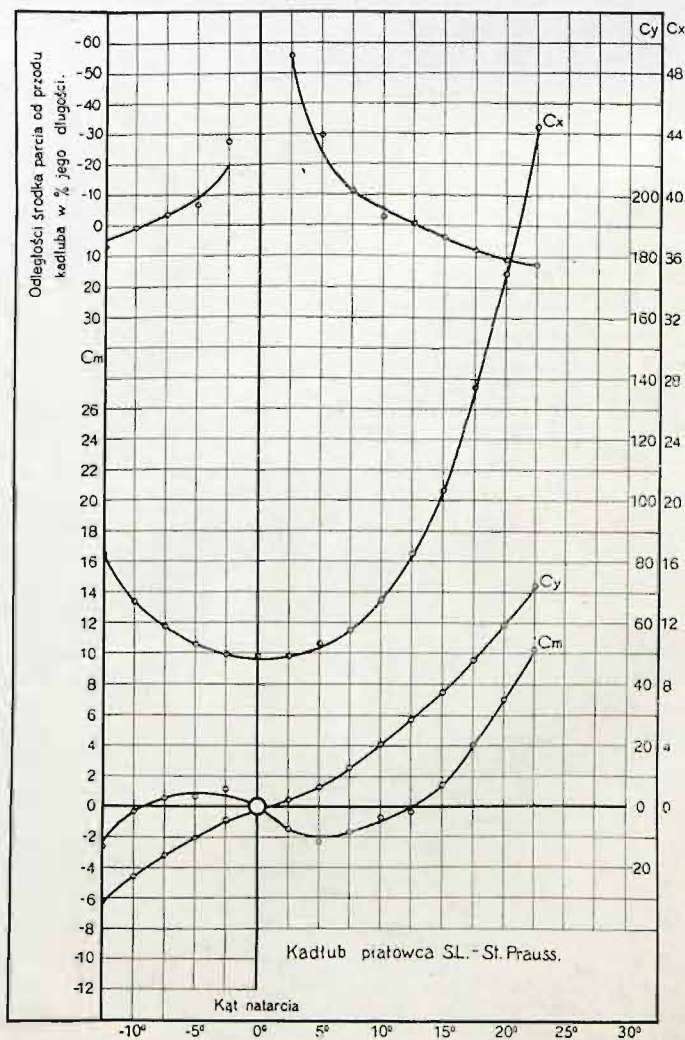
Kadłub Nr. 12

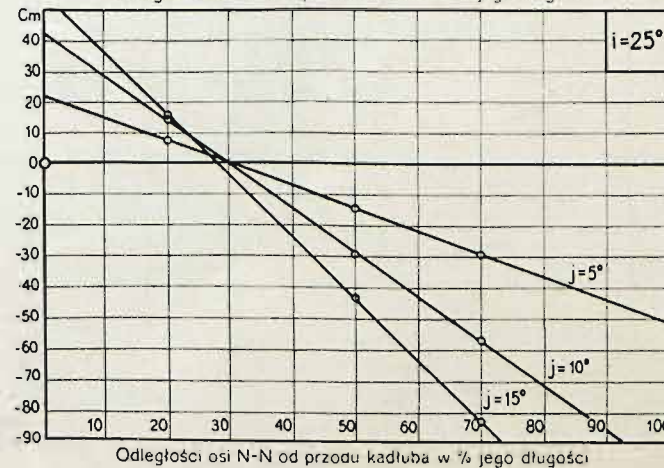
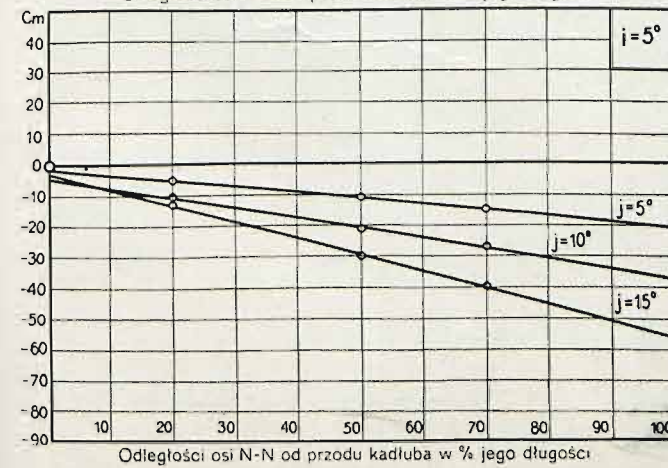
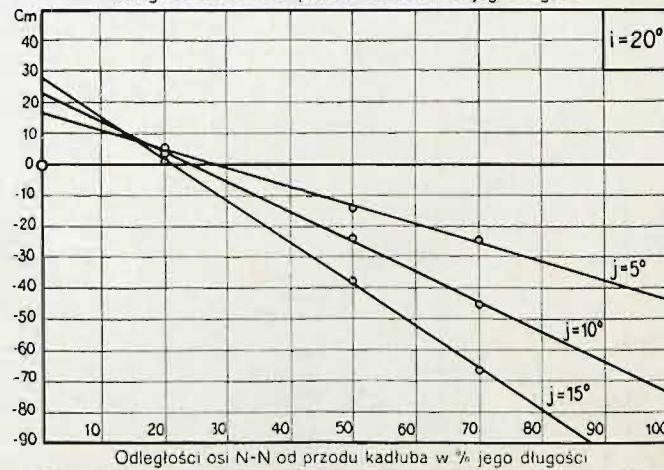
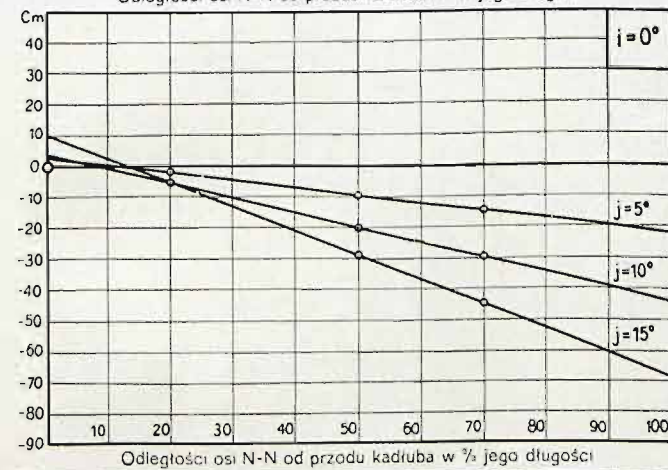
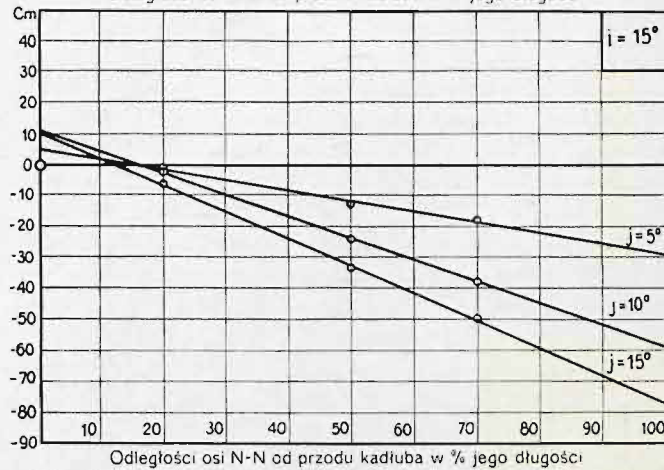
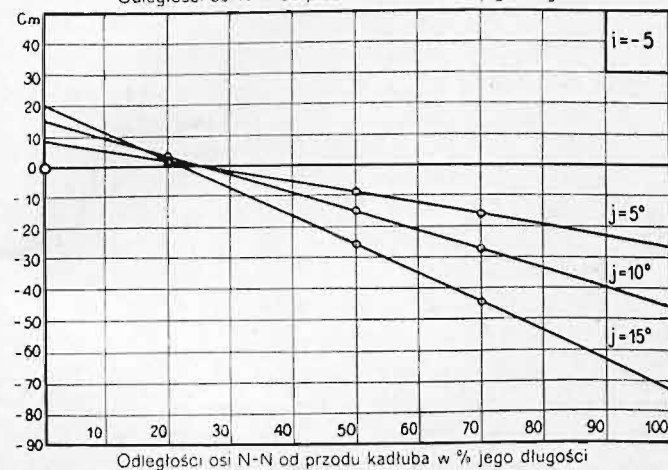
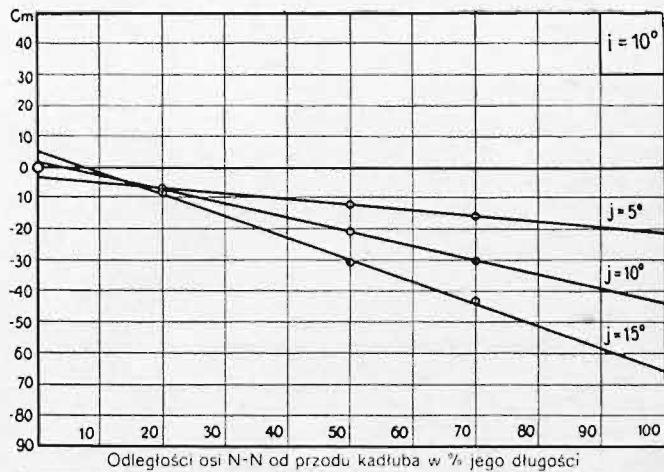
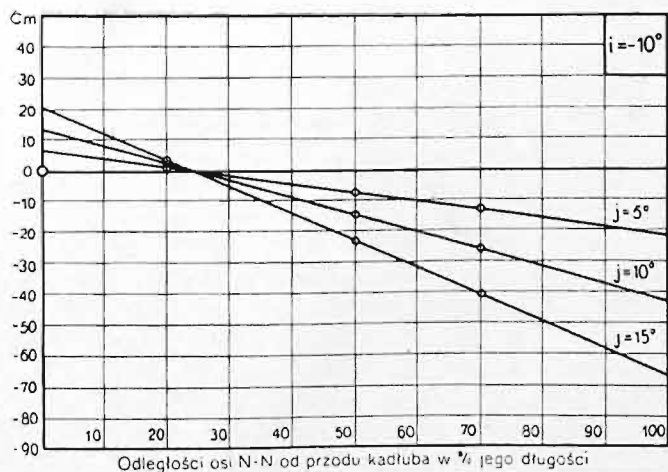
Największy przekrój $S = 0,00333$ m²

Data pomiaru: 25.IV.29.



i^0	C_y	C_x	C_m	$e^0/0$
22,5	72,7	44,5	10,3	12,3
20,0	59,5	34,9	7,1	10,6
17,5	48,7	27,5	4,1	7,5
15,0	37,9	20,7	1,5	3,6
12,5	28,8	16,6	-0,3	-1,0
10,0	20,7	13,6	-0,7	-2,9
7,5	13,2	11,6	-1,6	-11,0
5,0	6,9	10,8	-2,3	-29,3
2,5	2,1	9,9	-1,4	-55,9
0,0	-1,2	9,9	0,1	-9,5
-2,5	-4,1	10,0	1,2	-27,4
-5,0	-10,0	10,6	0,7	-6,6
-7,5	-15,6	11,9	0,6	-3,5
-10,0	-22,8	13,4	-0,2	0,9
-12,5	-31,0	16,5	-2,4	7,2
-15,0	-40,1	20,5	-4,3	9,7





Doświadczenie Nr. 1222

Model Nr. 353

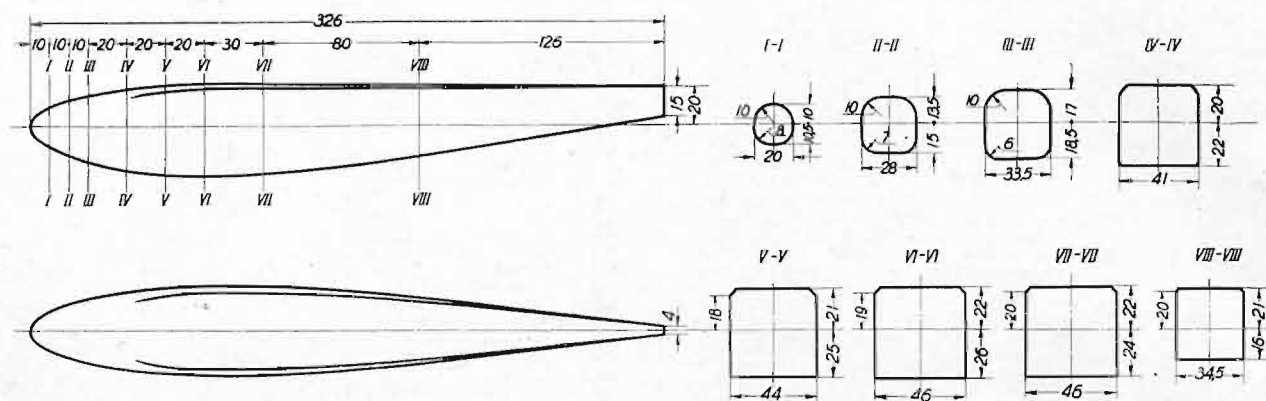
Długość $L = 0,326$ m

Ciśnienie prędkości $q = 100$ kg/m²

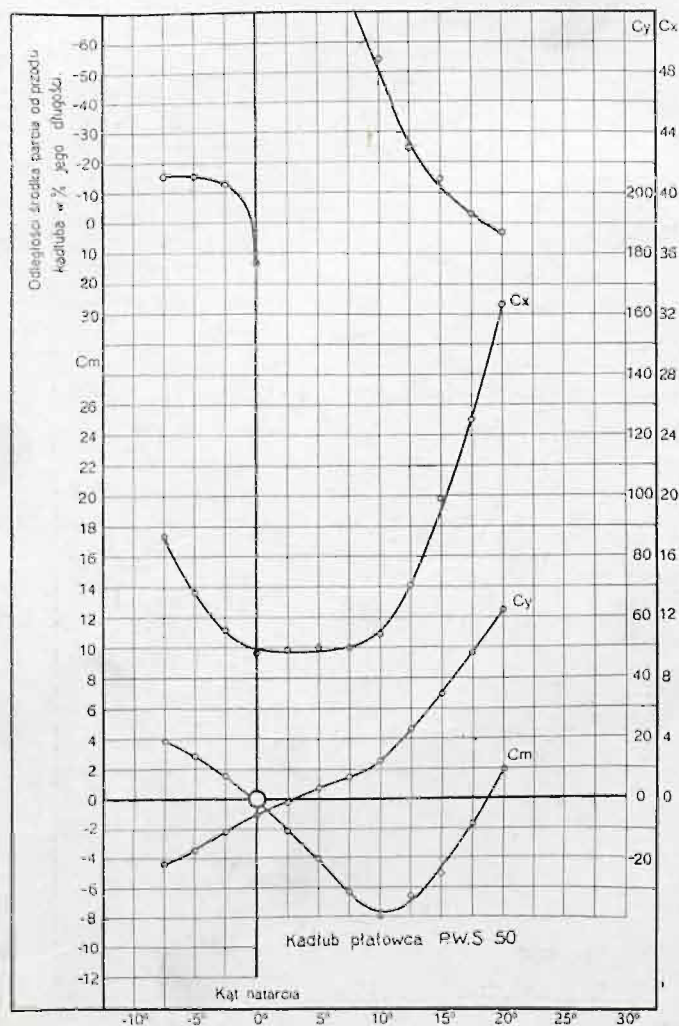
Kadłub Nr. 13

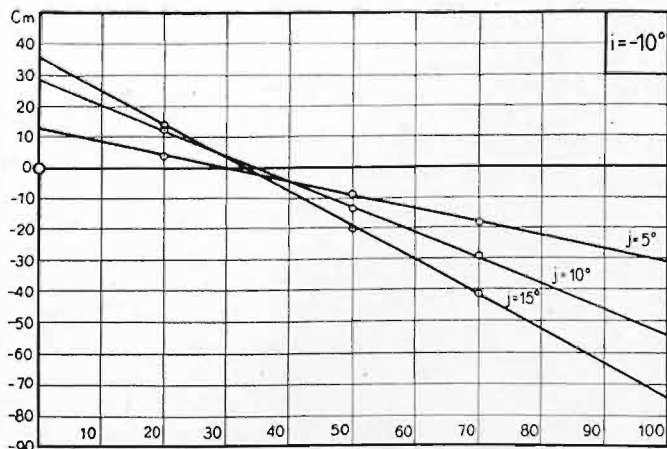
Największy przekrój $S = 0,00224$ m²

Data pomiaru: 12.VIII.30.

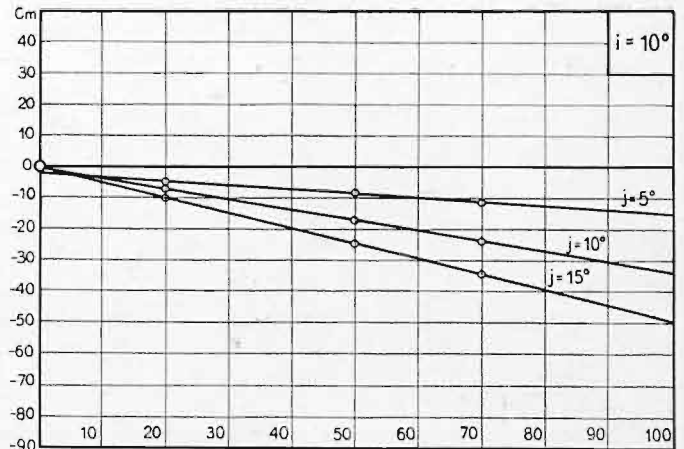


i°	C_y	C_x	C_m	$e^{a/d}$
20,0	62,4	32,7	1,9	2,7
17,5	48,7	25,0	-1,7	-3,2
15,0	34,8	19,1	-5,1	-13,2
12,5	23,2	14,1	-6,5	-24,7
10,0	13,0	10,8	-8,0	-54,6
7,5	7,2	10,0	-6,4	-75,8
5,0	3,2	10,0	-4,1	-102,3
2,5	-1,3	9,4	-2,2	238,0
0,0	-5,3	8,9	-0,7	13,1
-2,5	-11,1	11,2	1,5	-12,9
-5,0	-17,4	13,7	2,9	-15,6
-7,5	-21,8	17,3	3,8	-15,9

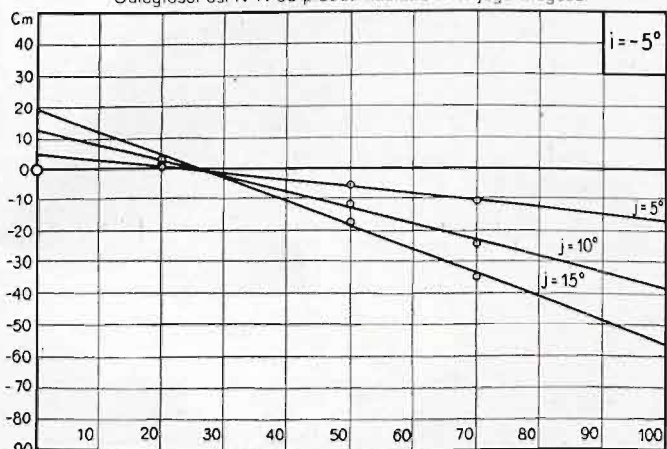




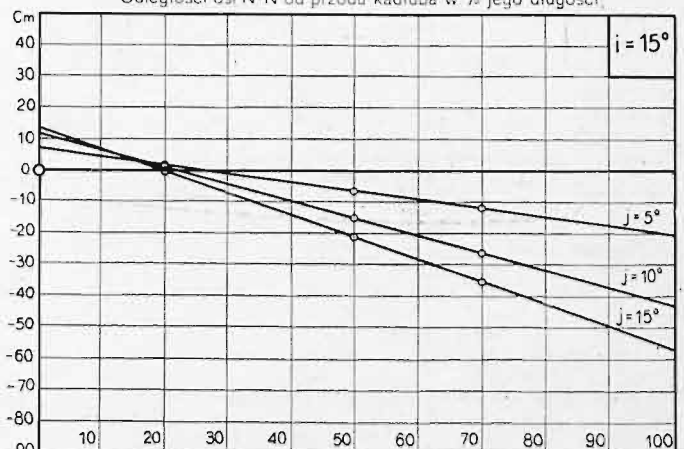
Odległości osi N-N od przodu kadłuba w % jego długości



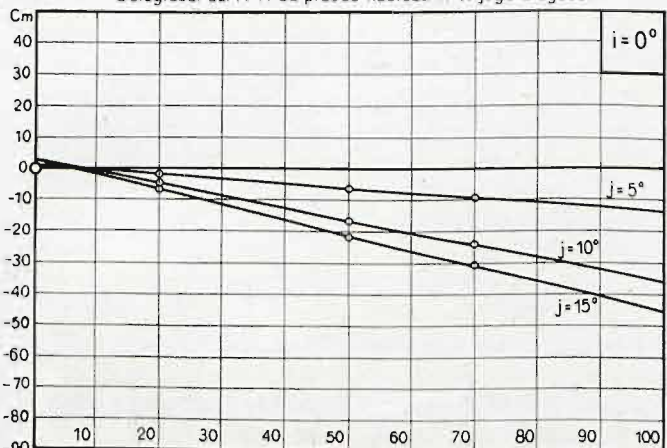
Odległości osi N-N od przodu kadłuba w % jego długości



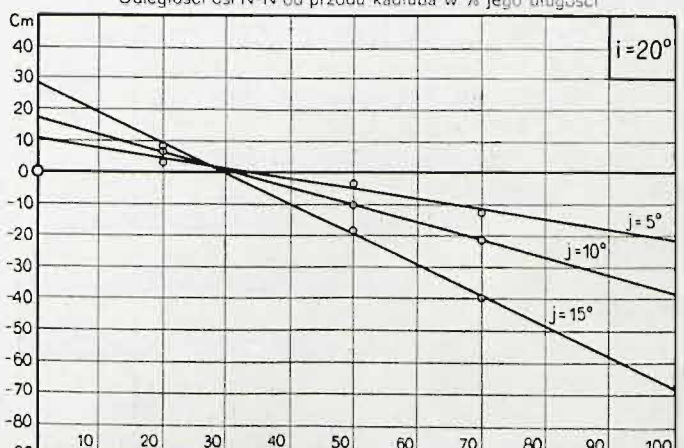
Odległości osi N-N od przodu kadłuba w % jego długości



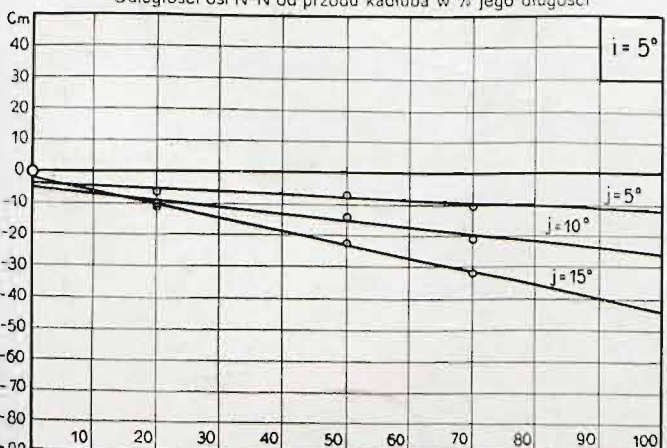
Odległości osi N-N od przodu kadłuba w % jego długości



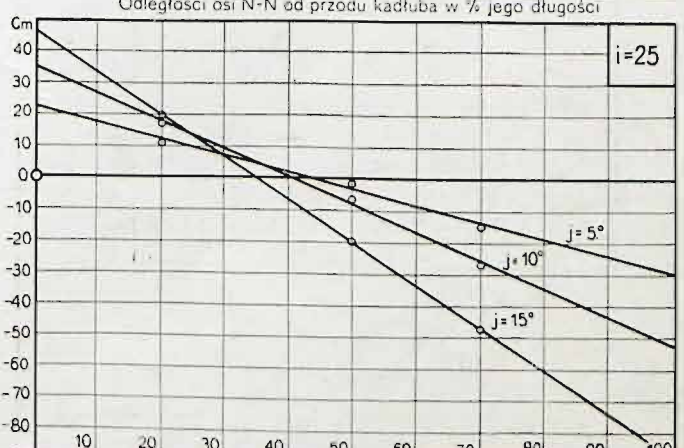
Odległości osi N-N od przodu kadłuba w % jego długości



Odległości osi N-N od przodu kadłuba w % jego długości



Odległości osi N-N od przodu kadłuba w % jego długości



Odległości osi N-N od przodu kadłuba w % jego długości

Doświadczenie Nr. 1207

Model Nr. 61

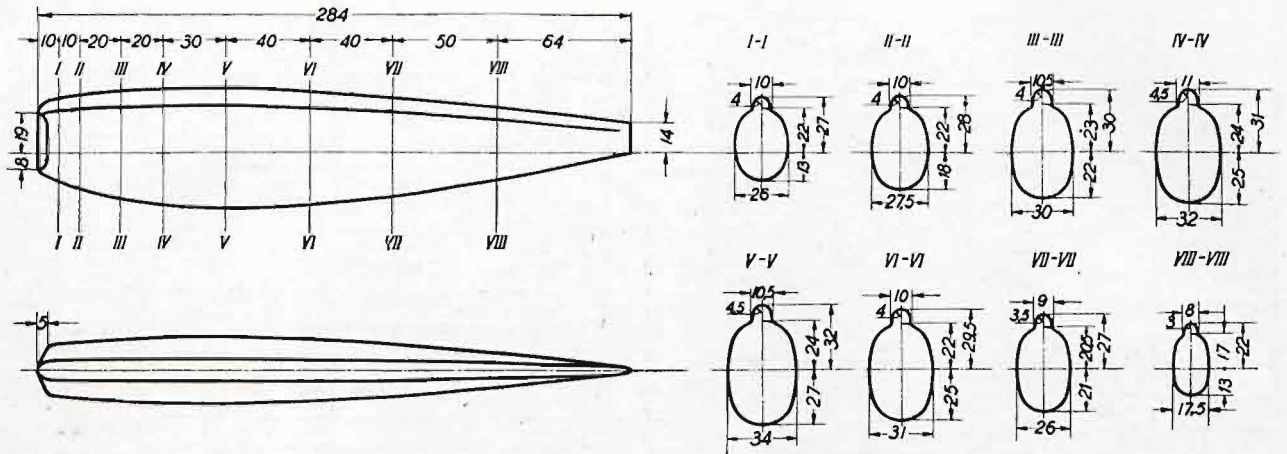
Długość $L = 0,284$ m

Ciśnienie prędkości $q = 100$ kg/m²

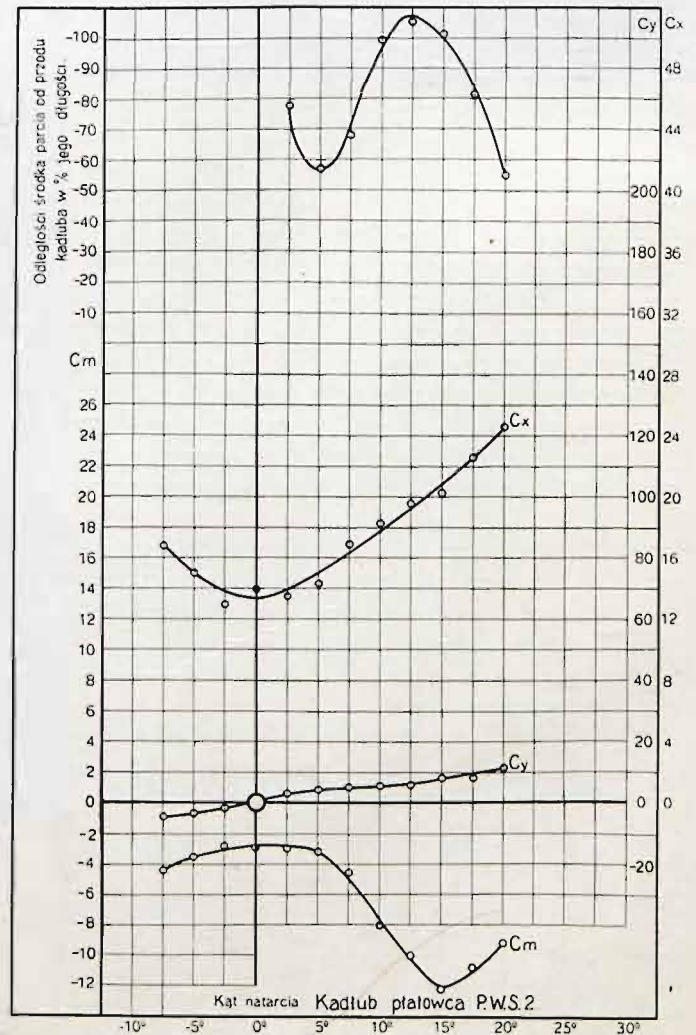
Kadłub Nr. 14

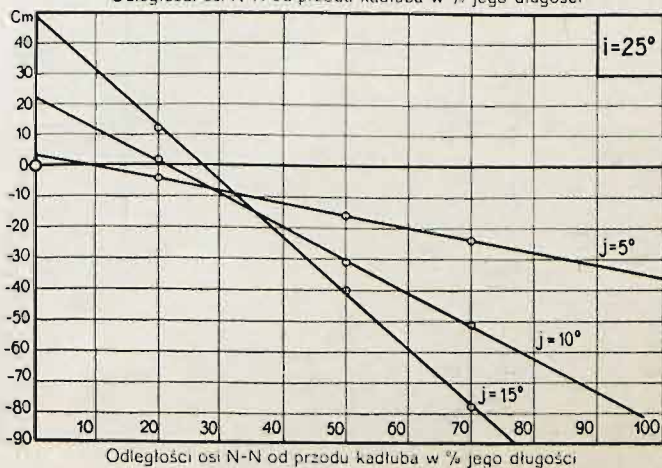
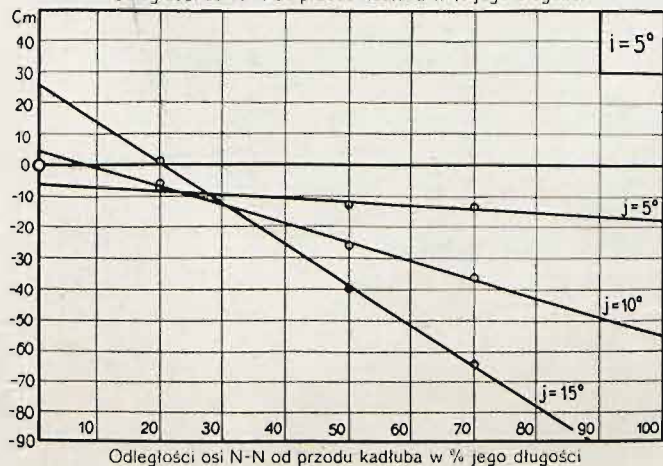
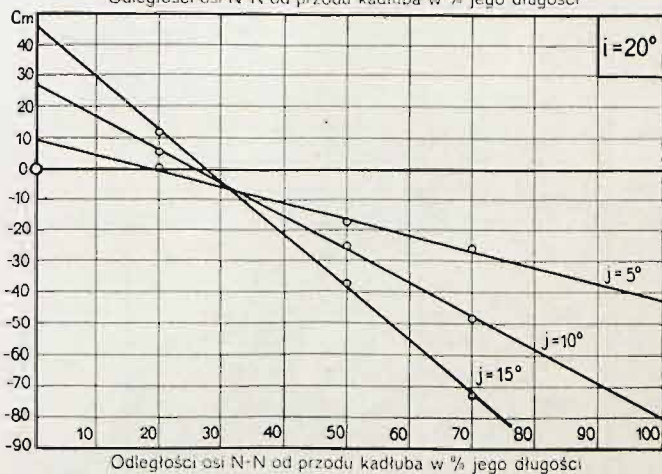
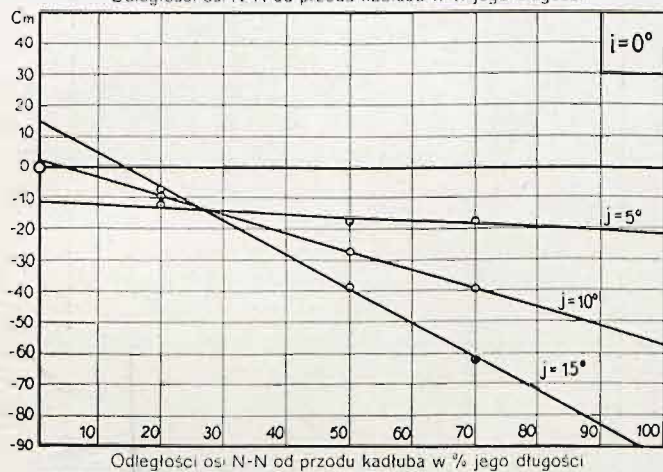
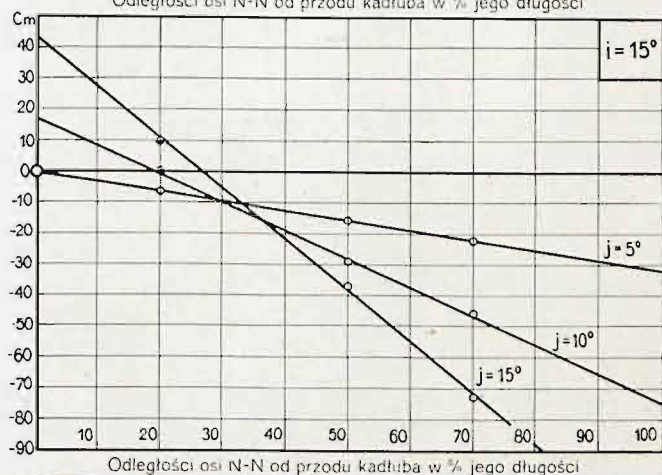
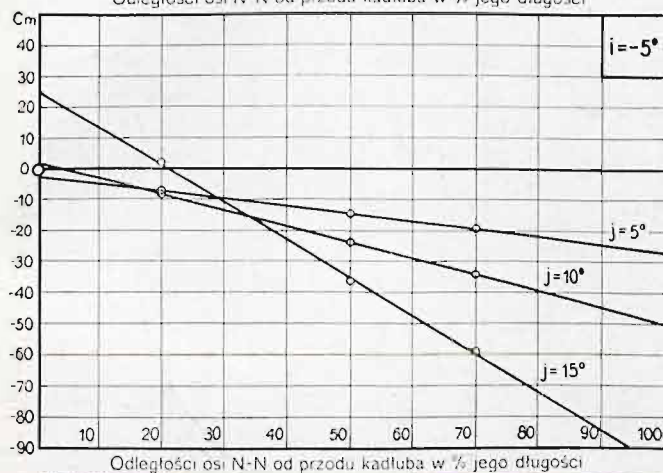
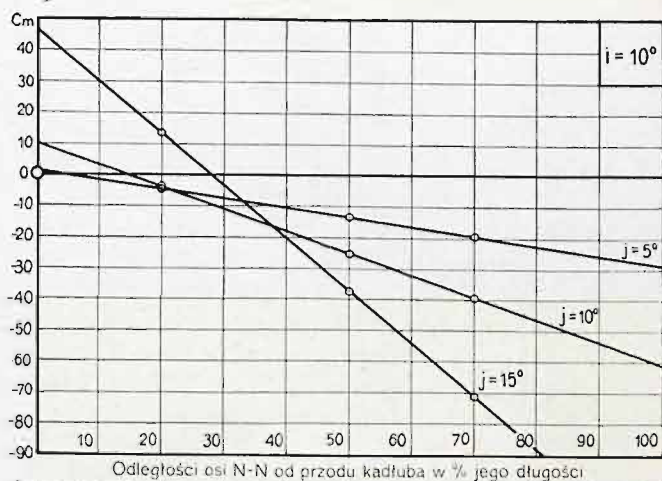
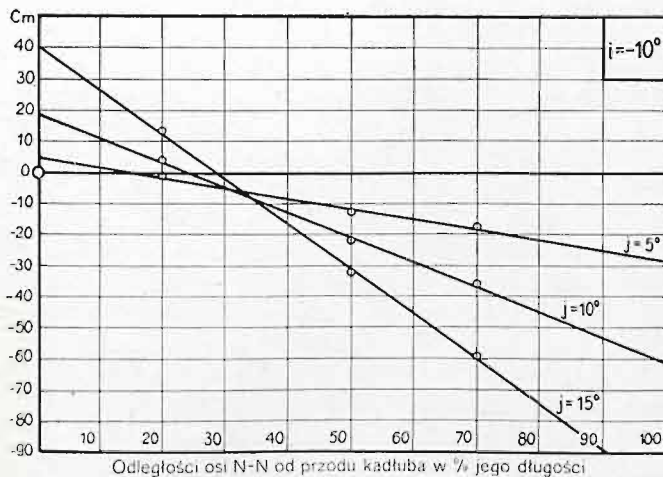
Największy przekrój $S = 0,0015$ m²

Data pomiaru: 1.VIII.30.



i°	C_y	C_x	C_m	$e^\circ/\%$
20,0	11,3	24,6	-9,2	-55,1
17,5	8,7	22,6	-10,8	-81,5
15,0	8,7	20,3	-12,2	-101,4
12,5	6,7	19,6	-10,0	-105,4
10,0	6,0	18,3	-8,0	-99,4
7,5	5,3	17,0	-4,6	-68,1
5,0	4,7	14,4	-3,1	-57,3
2,5	3,3	13,6	-2,9	-77,9
0,0	0,0	14,1	-2,9	—
-2,5	-1,3	13,0	-2,8	170,7
-5,0	-3,3	15,0	-3,5	85,9
-7,5	-4,7	16,8	-4,3	71,9





Doświadczenie Nr. 1223

Model Nr. 414

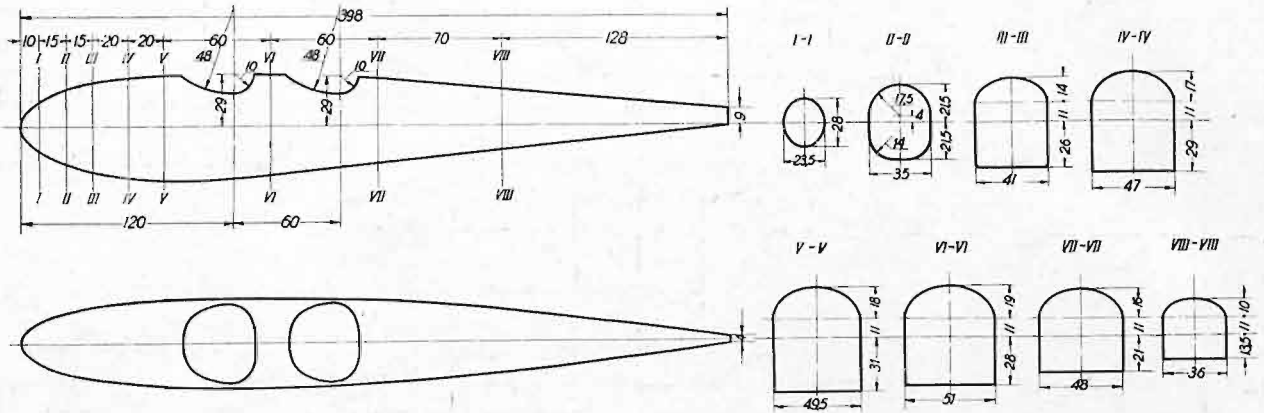
Długość $L = 0,398$ m

Ciśnienie prędkości $q = 100$ kg/m²

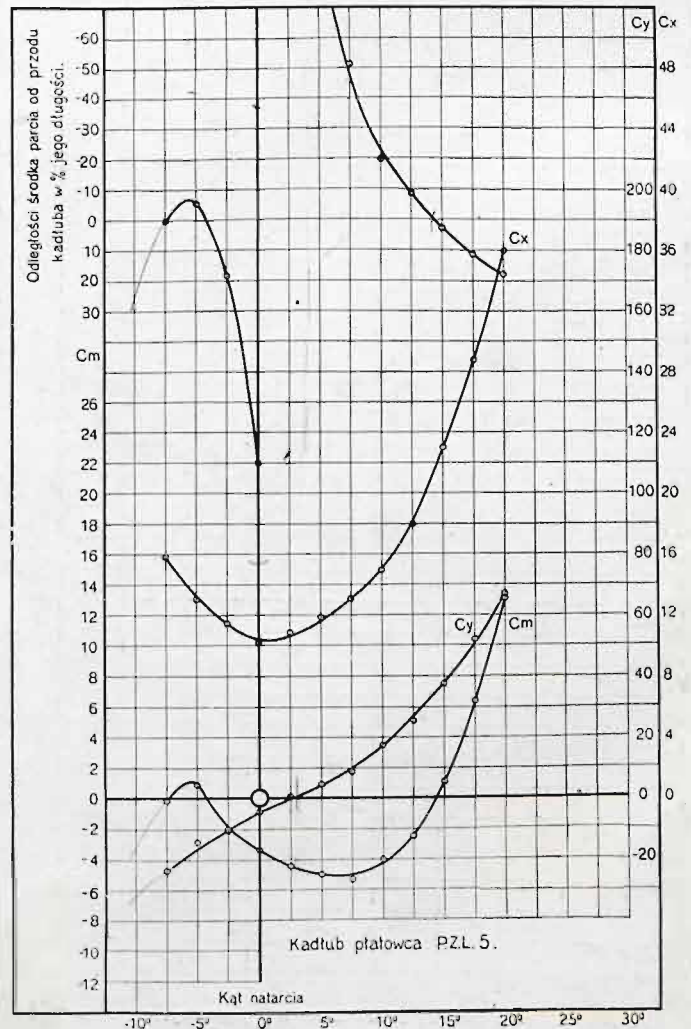
Kadłub Nr. 15

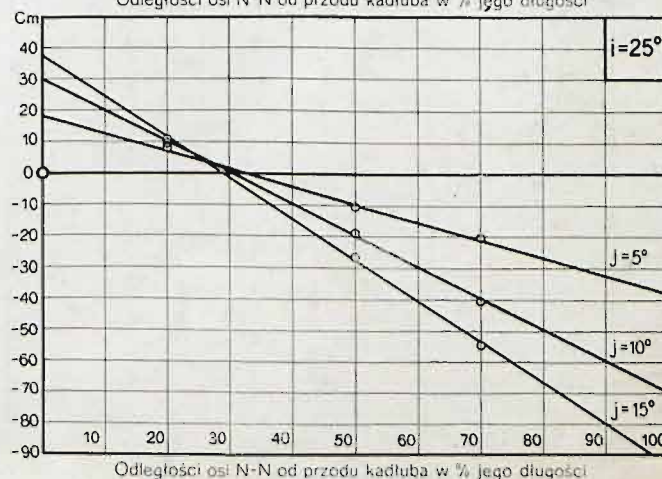
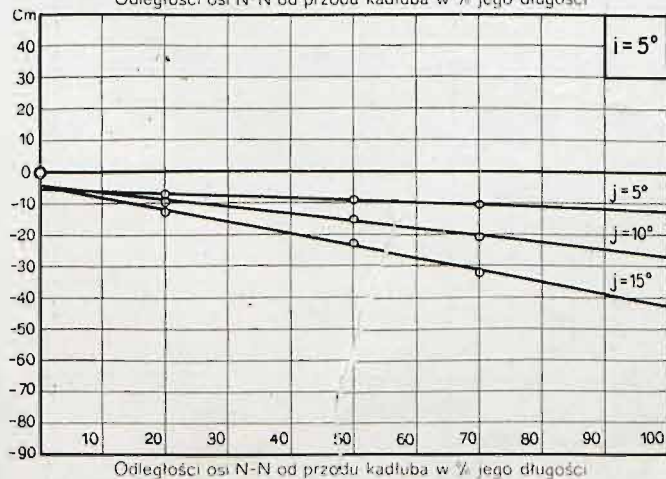
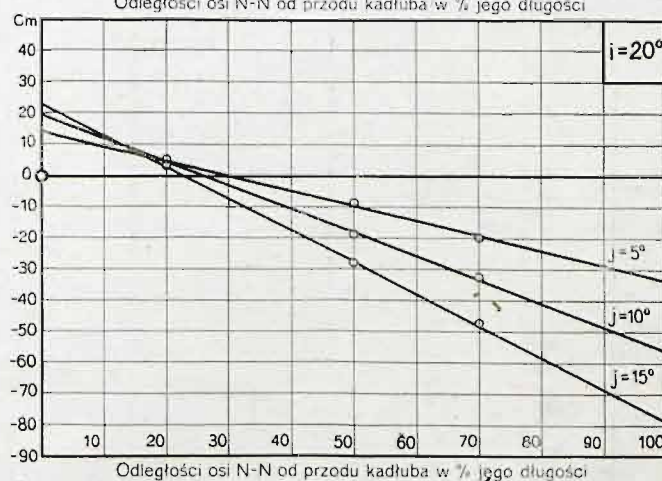
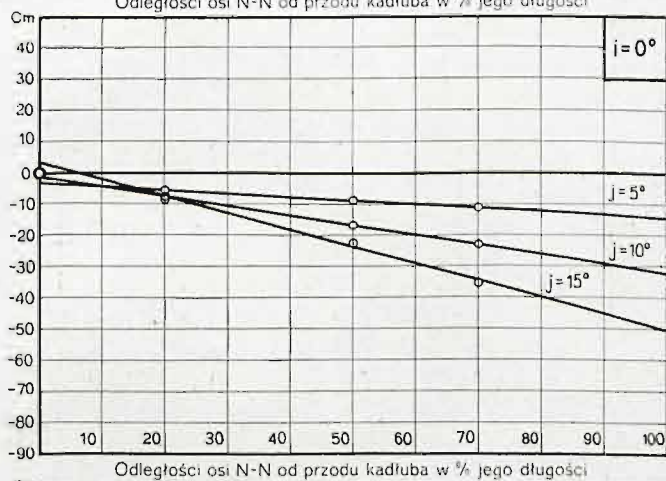
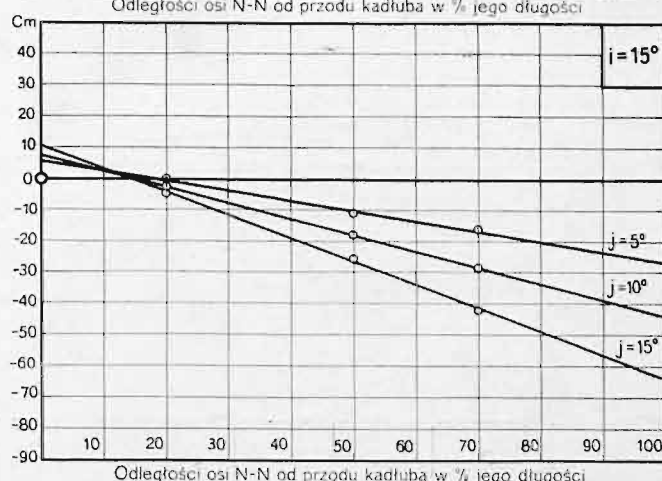
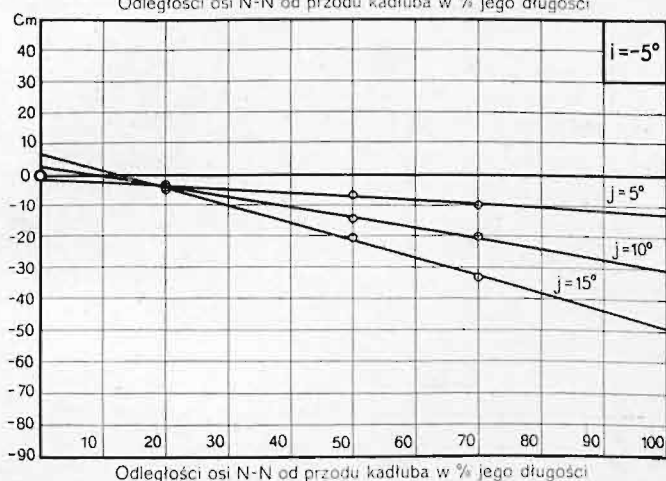
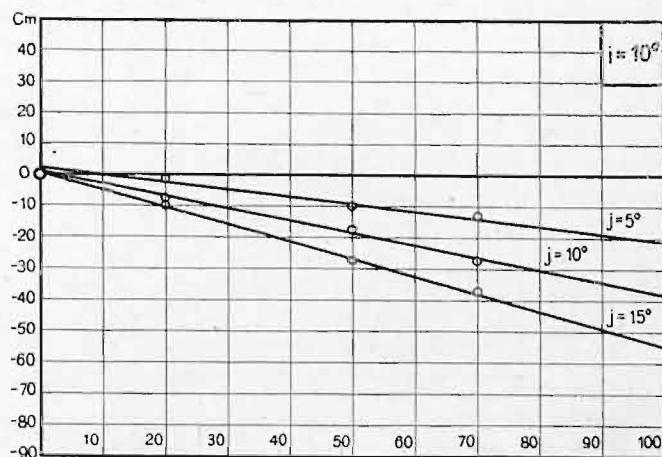
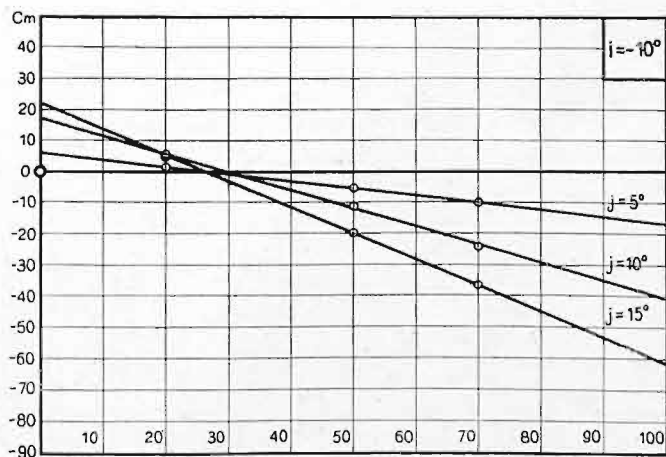
Największy przekrój $S = 0,00287$ m²

Data pomiaru: 13.VIII.30.



i°	C_y	C_x	C_m	$e^\circ/\%$
20,0	67,0	35,9	13,2	17,5
17,5	52,0	28,8	6,4	11,0
15,0	37,6	23,0	1,2	2,8
12,5	25,8	18,1	-2,5	-8,6
10,0	17,4	15,0	-3,9	-19,8
7,5	9,1	13,1	-5,4	-51,3
5,0	4,5	11,8	-5,1	-91,4
2,5	0,7	10,8	-4,5	-379,0
0,0	-4,2	10,2	-3,3	79,9
-2,5	-10,8	11,5	-2,1	18,1
-5,0	-13,9	13,1	0,9	-5,7
-7,5	-23,0	15,3	0,0	0,0





Doświadczenie Nr. 681

Model Nr. 114

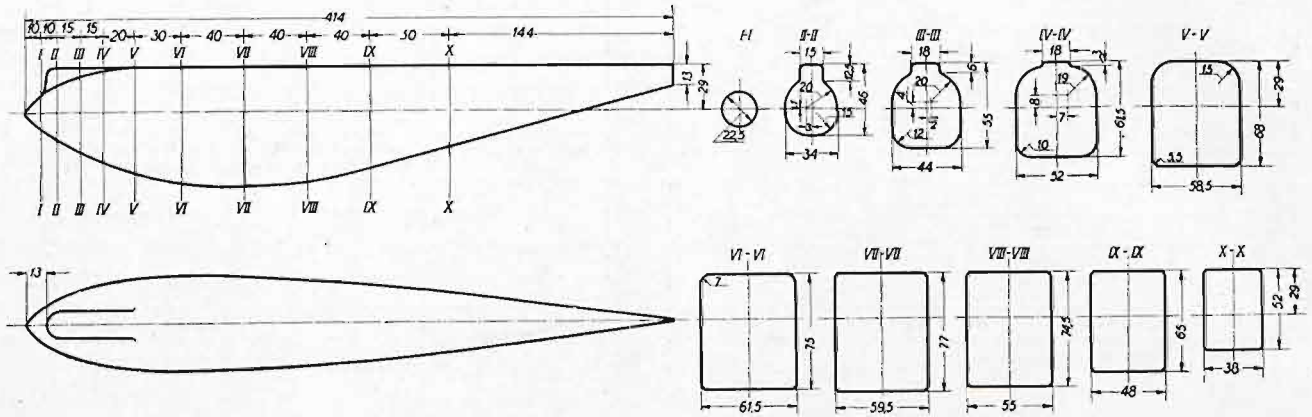
Długość $L = 0,414$ m

Ciśnienie prędkości $q = 100$ kg/m²

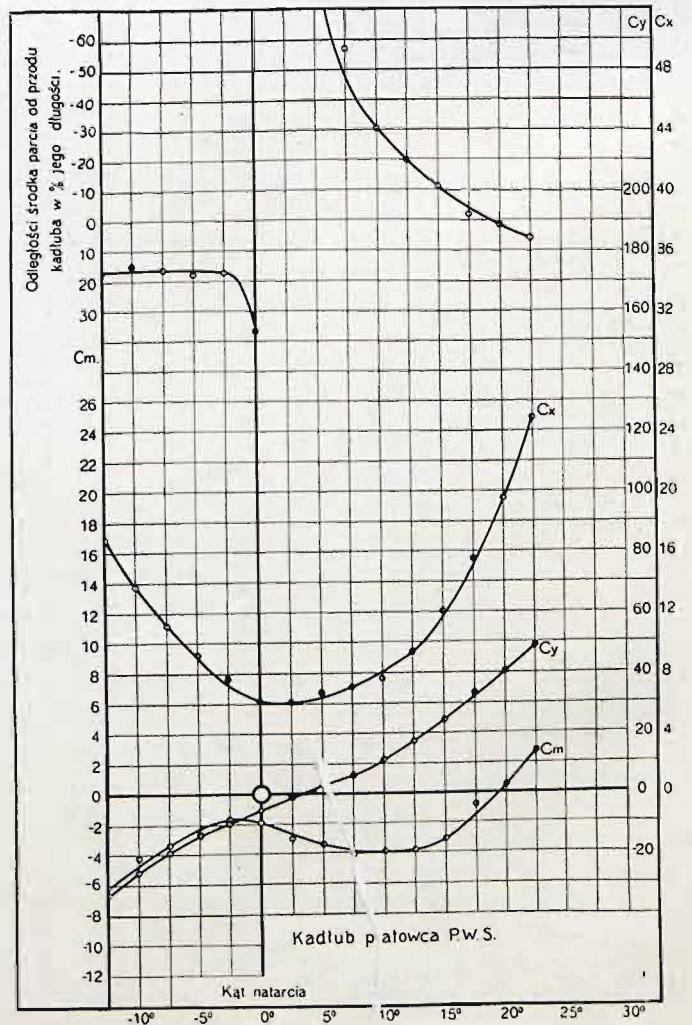
Kadłub Nr. 16

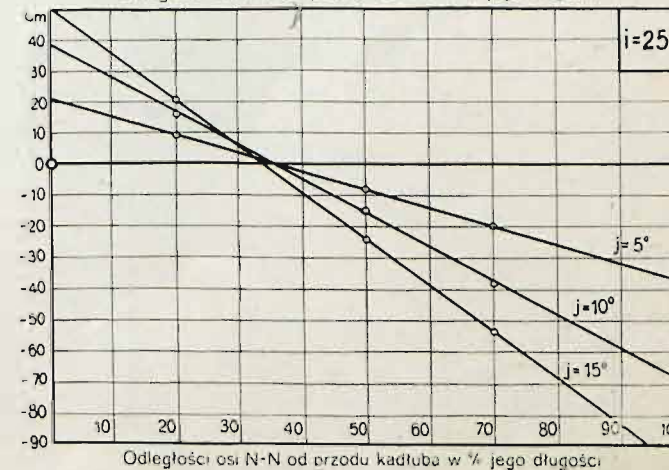
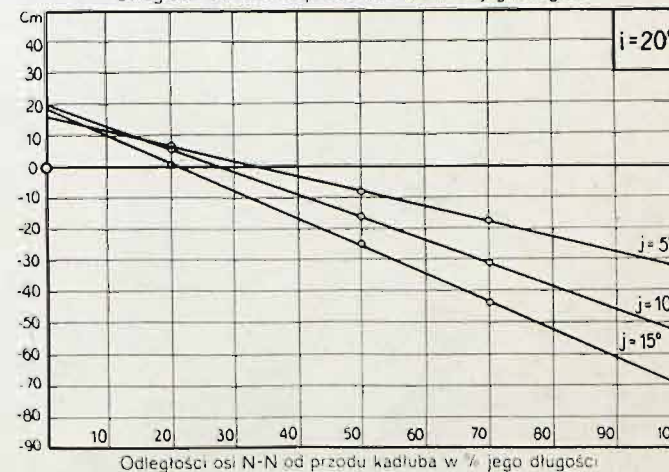
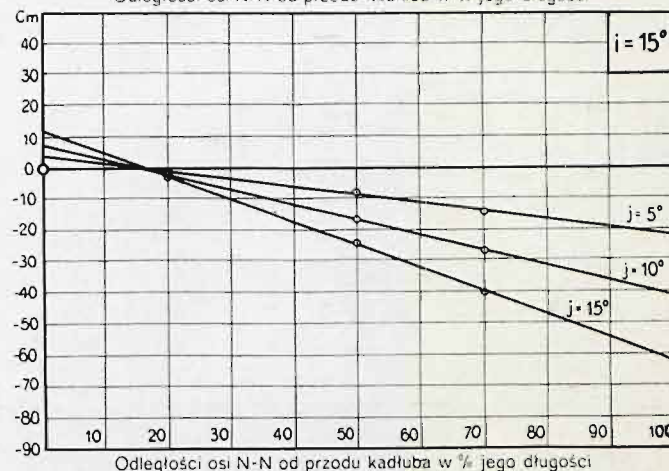
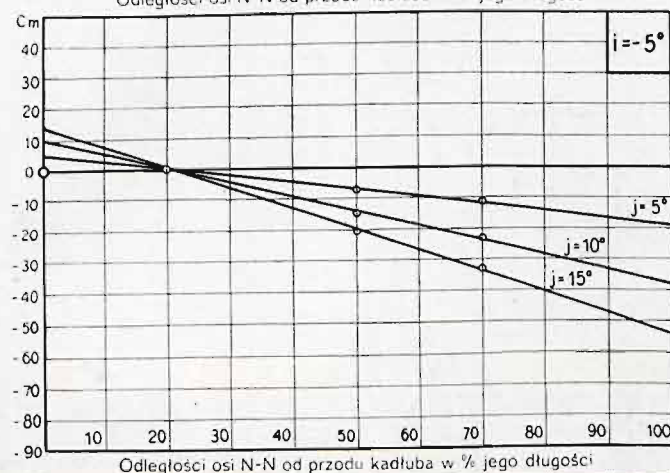
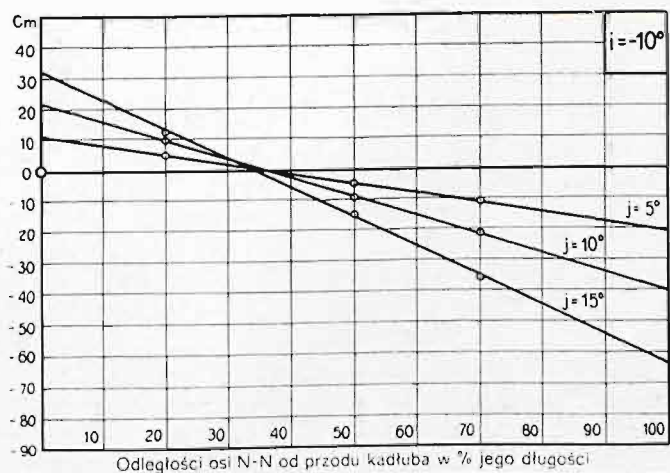
Największy przekrój $S = 0,004729$ m²

Data pomiaru: 18.VII.29.



i^0	C_y	C_x	C_m	$e^0/0$
22,5	49,5	25,0	2,9	5,3
20,0	40,2	19,5	0,6	1,4
17,5	33,6	15,6	-0,8	-2,1
15,0	25,0	12,1	-3,0	-11,2
12,5	17,6	9,4	-3,8	-19,9
10,0	11,4	7,7	-3,9	-30,7
7,5	6,1	7,1	-4,0	-57,0
5,0	2,3	6,8	-3,3	-112,7
2,5	-1,3	6,2	-2,9	290,0
0,0	-5,3	6,2	-2,0	37,3
-2,5	-9,1	7,7	-1,6	17,4
-5,0	-13,3	9,2	-2,5	17,9
-7,5	-18,8	11,2	-3,3	16,4
-10,0	-25,4	13,8	-4,2	15,3
-12,5	-32,6	17,0	-6,0	17,0
-15,0	-40,2	21,1	-7,5	17,1





Doświadczenie Nr. 1238.

Model Nr. 334

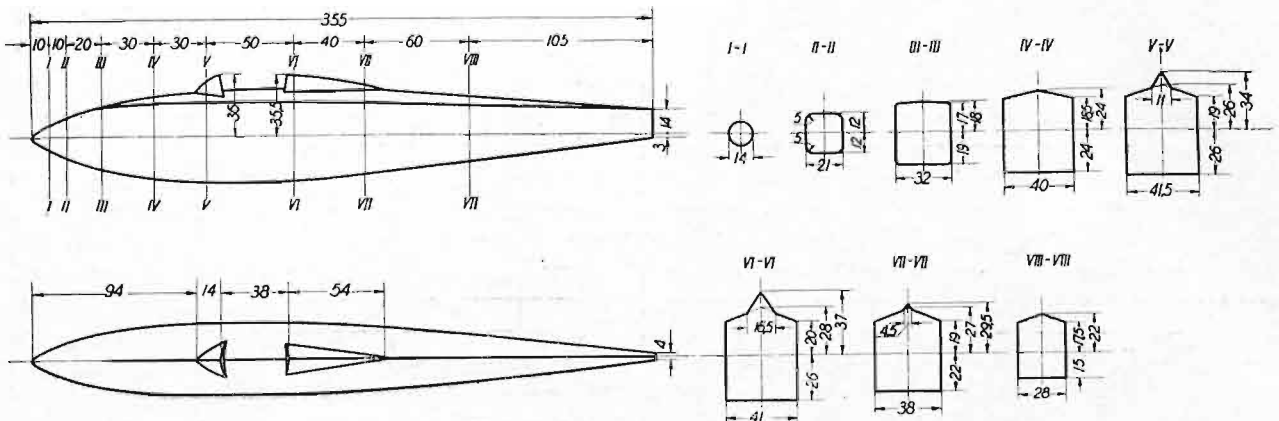
Długość $L = 0,355$ m

Ciśnienie prędkości $q = 100$ kg/m²

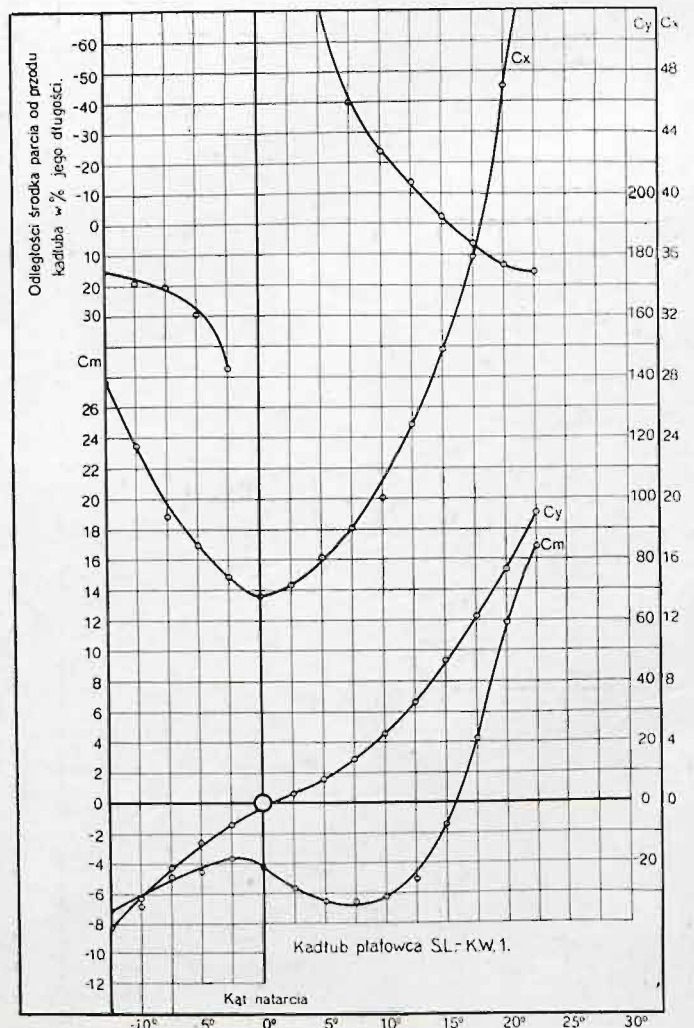
Kadłub Nr. 17

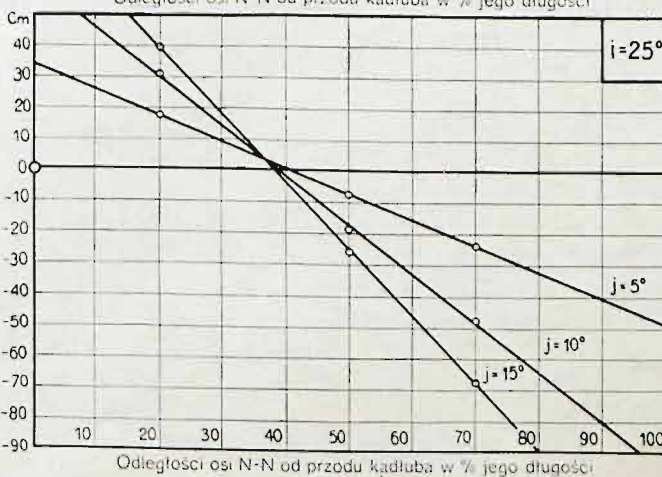
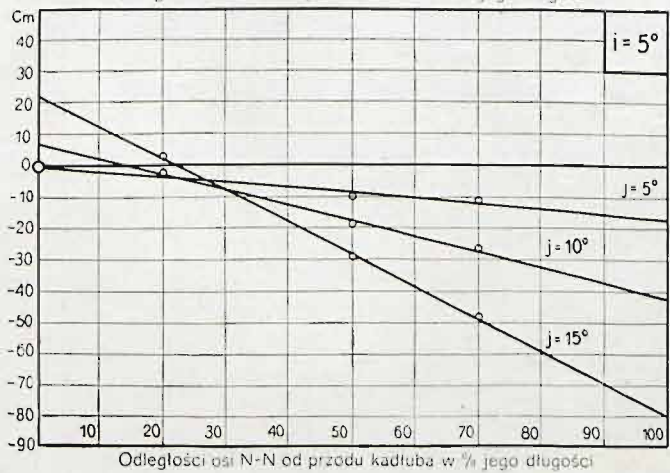
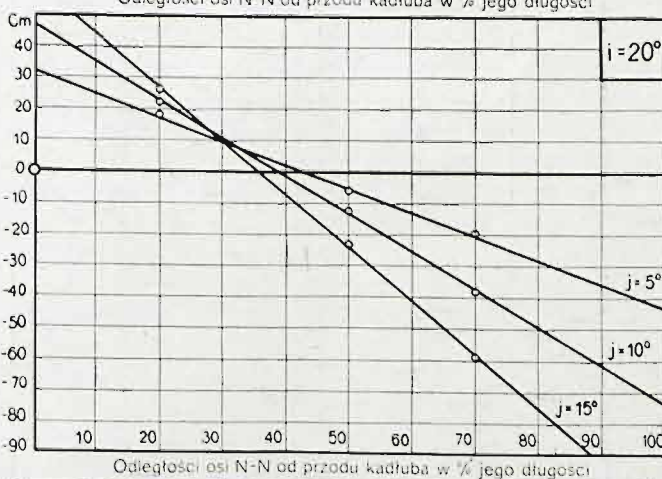
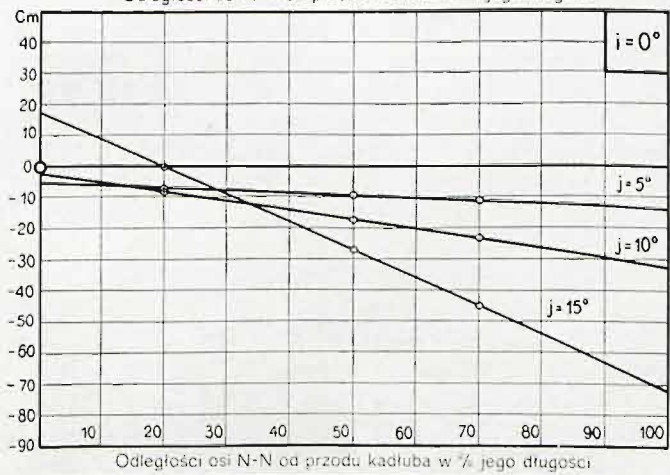
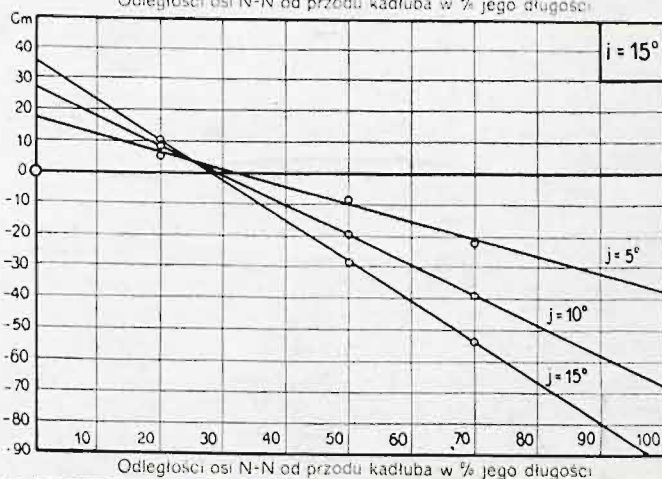
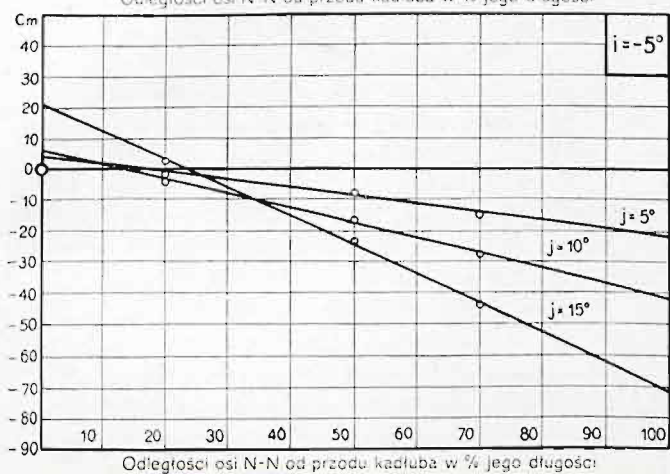
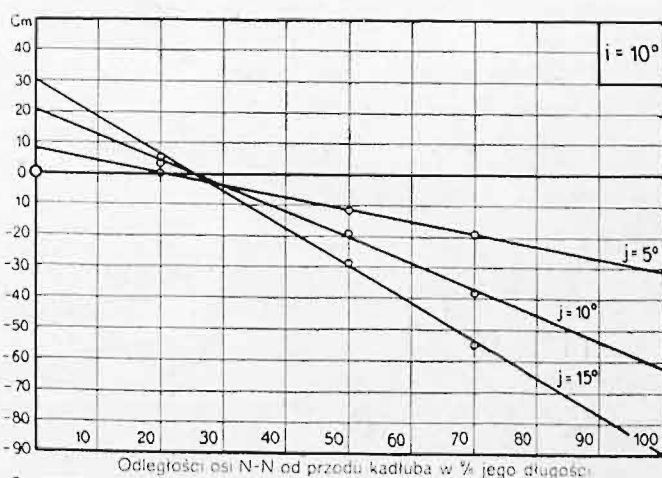
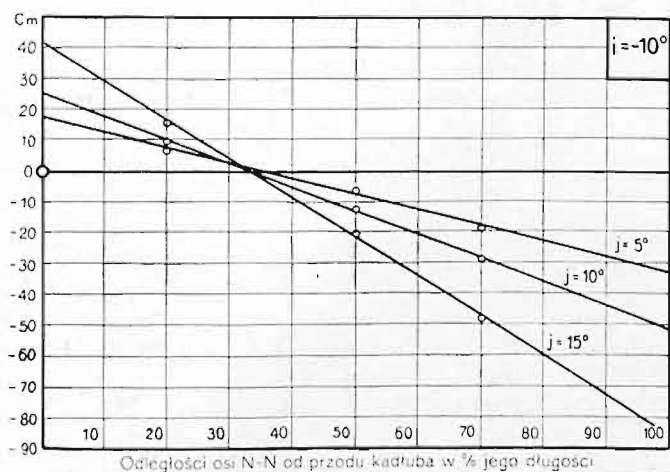
Największy przekrój $S = 0,002085$ m²

Data pomiaru: 19.IX.30.



i°	C_y	C_x	C_m	$e^\circ/0$
22,5	95,6	57,2	16,9	15,3
20,0	76,4	47,0	11,9	13,5
17,5	61,5	35,8	4,4	6,3
15,0	47,0	29,9	-1,4	-2,6
12,5	33,0	24,9	-5,0	-13,3
10,0	22,9	20,1	-6,2	-23,9
7,5	14,3	18,1	-6,6	-39,8
5,0	7,7	16,2	-6,5	-72,0
2,5	2,9	14,6	-5,7	-163,6
0,0	-1,9	13,6	-4,3	227,0
-2,5	-7,2	14,9	-3,7	47,3
-5,0	-13,4	16,9	-4,5	30,4
-7,5	-21,0	18,8	-4,9	21,0
-10,0	-31,2	23,3	-6,8	19,2
-12,5	-41,1	27,7	-7,1	15,4
-15,0	-55,1	32,4	-8,3	13,5





Doświadczenie Nr. 1251

Model Nr. 231

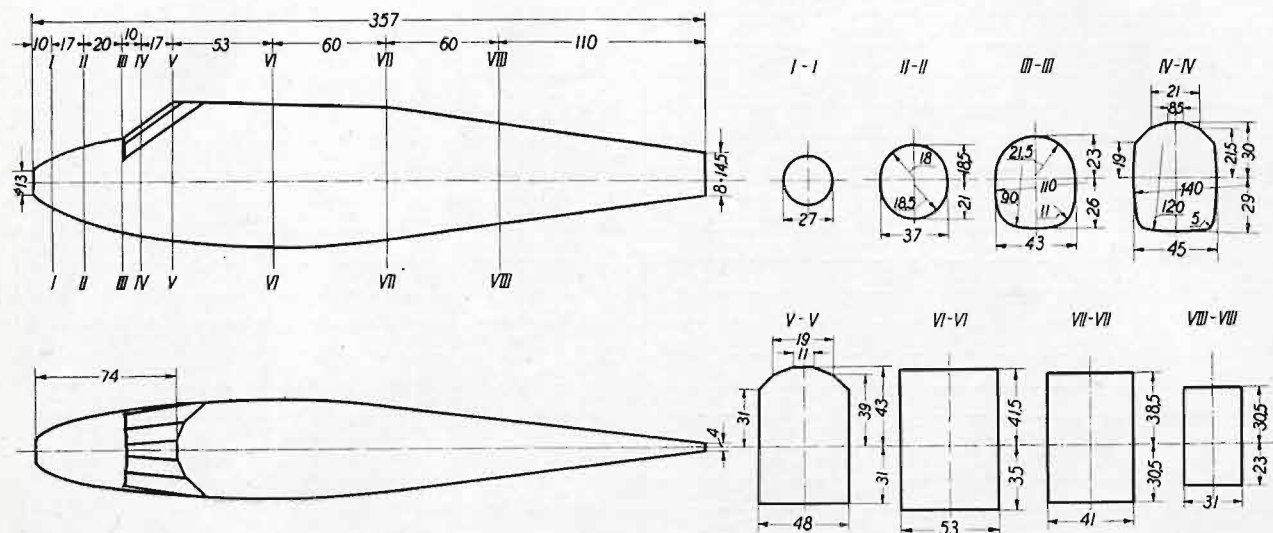
Długość $L = 0,357$ m

Ciśnienie prędkości $q = 100$ kg/m²

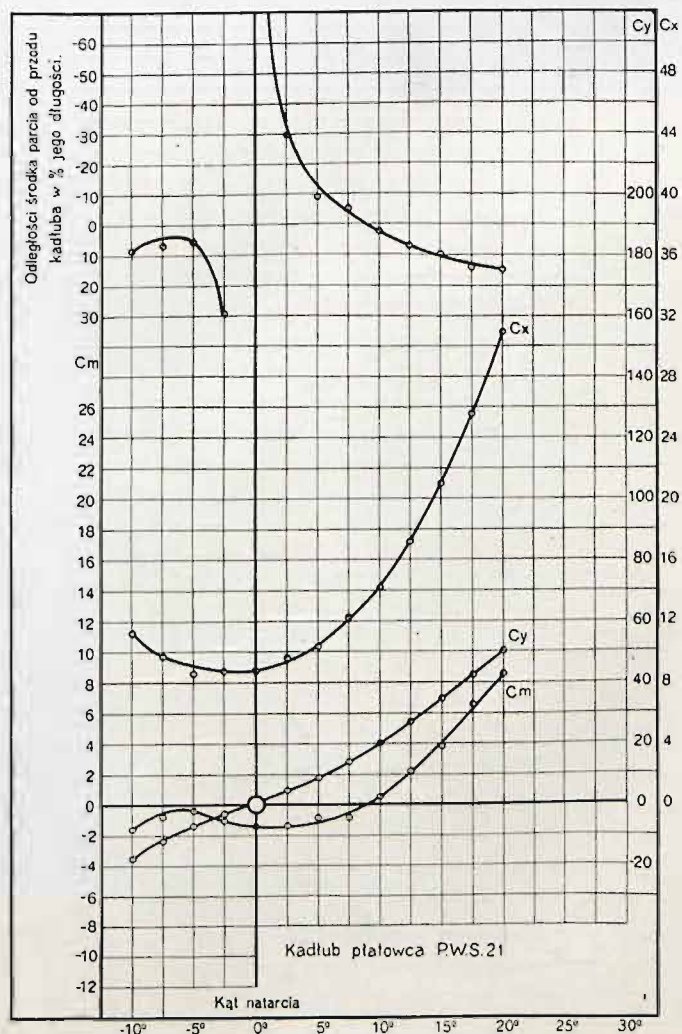
Kadłub Nr. 18

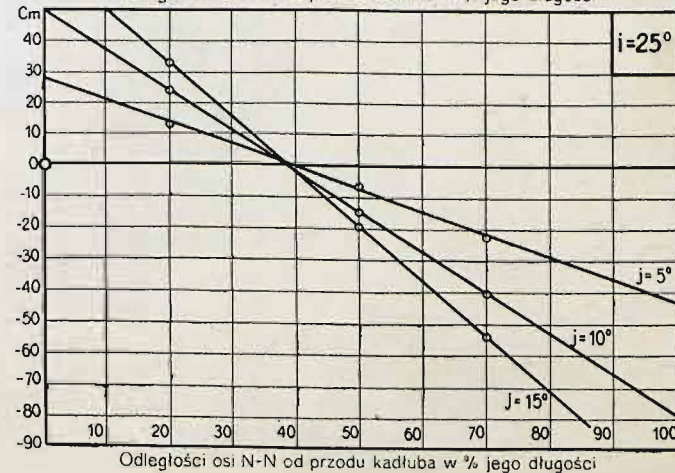
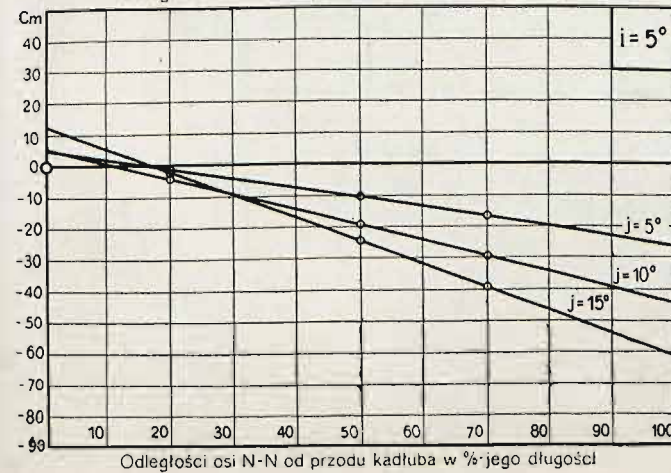
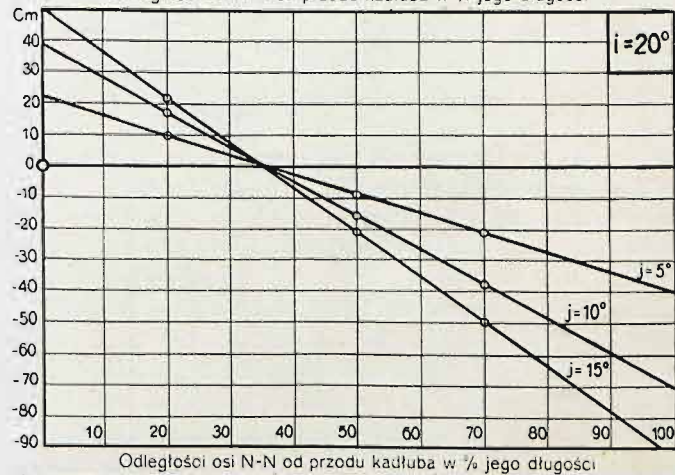
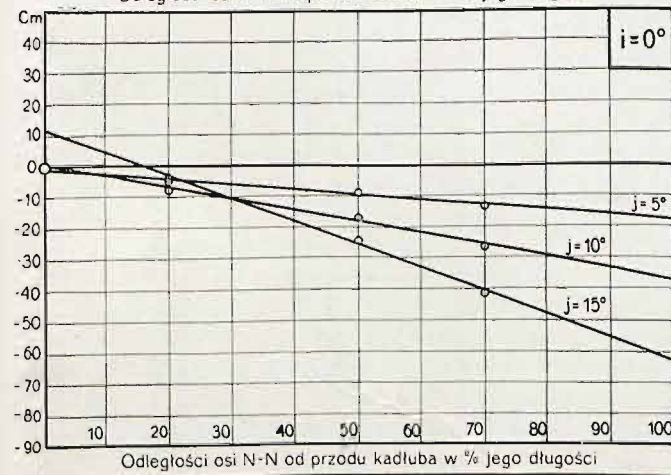
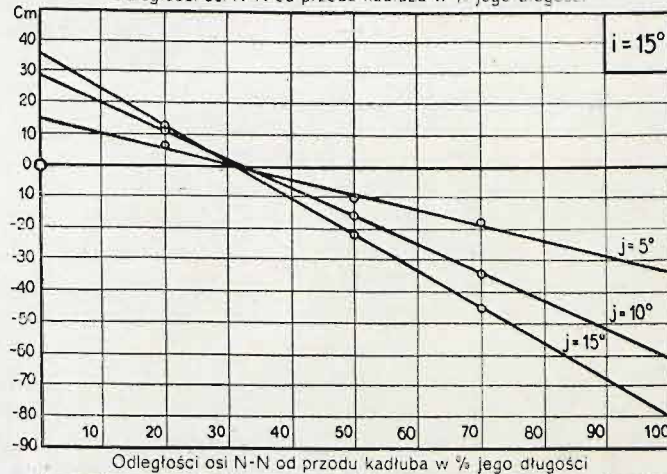
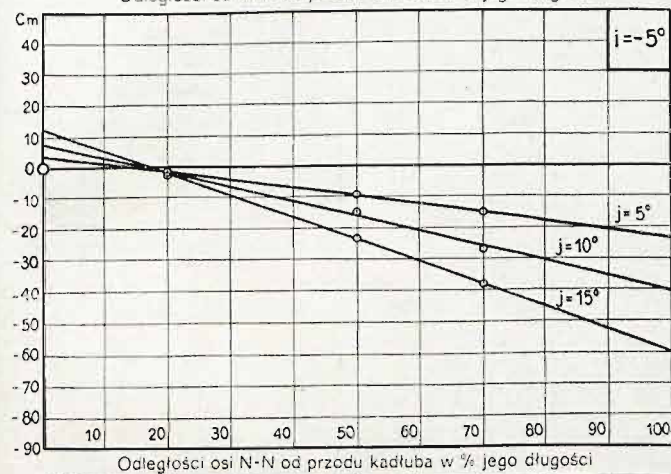
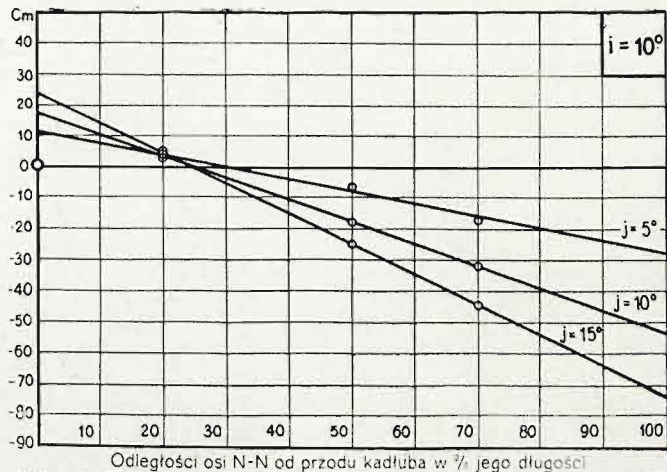
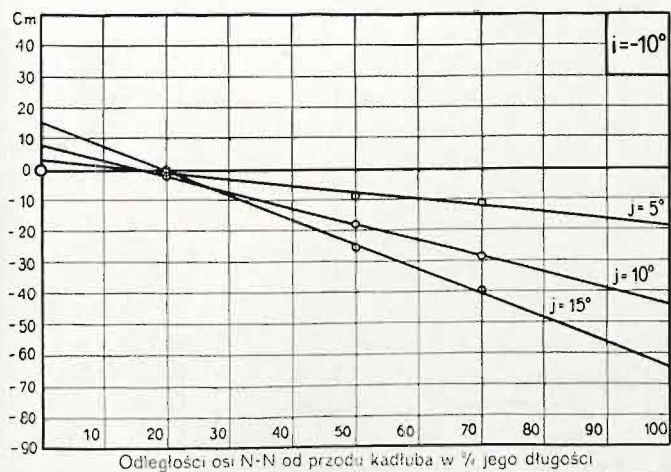
Największy przekrój $S = 0,00414$ m²

Data pomiaru: 1.X.30.



i°	C_y	C_x	C_m	$e^\circ/\%$
20,0	50,3	30,9	8,5	14,8
17,5	42,4	25,5	6,5	13,5
15,0	34,8	20,9	3,8	9,8
12,5	27,0	17,1	2,1	6,9
10,0	19,7	14,2	0,4	2,0
7,5	14,1	12,2	-0,8	-5,2
5,0	8,8	10,4	-0,9	-9,3
2,5	4,3	9,5	-1,4	-29,6
0,0	0,5	8,8	-1,5	-304,2
-2,5	-3,6	8,7	-1,1	28,8
-5,0	-6,9	8,6	-0,4	5,2
-7,5	-11,4	9,7	-0,8	6,4
-10,0	-17,5	11,2	-1,6	8,4





Doświadczenie Nr. 1216

Model Nr. 223

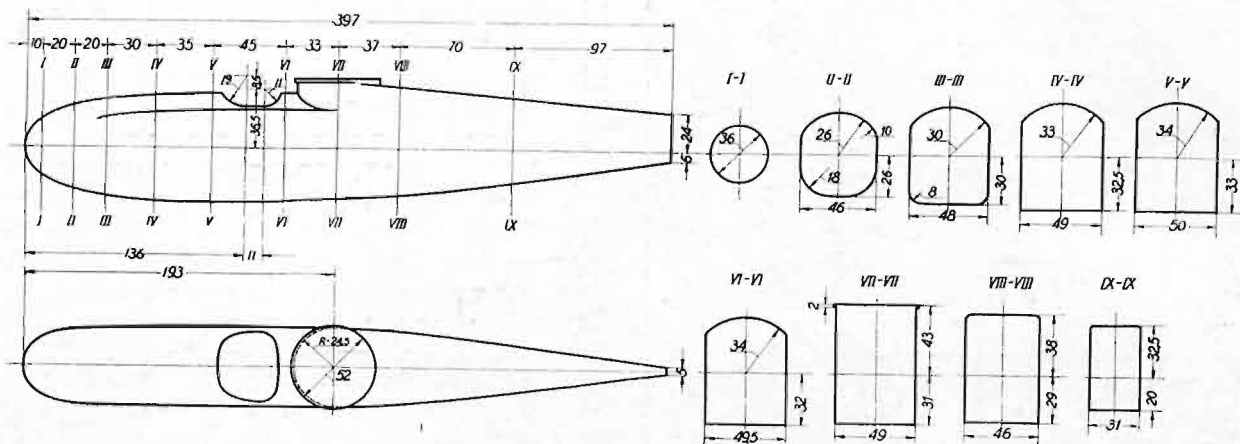
Długość $L = 0,397$ m

Ciśnienie prędkości $q = 100$ kg/m²

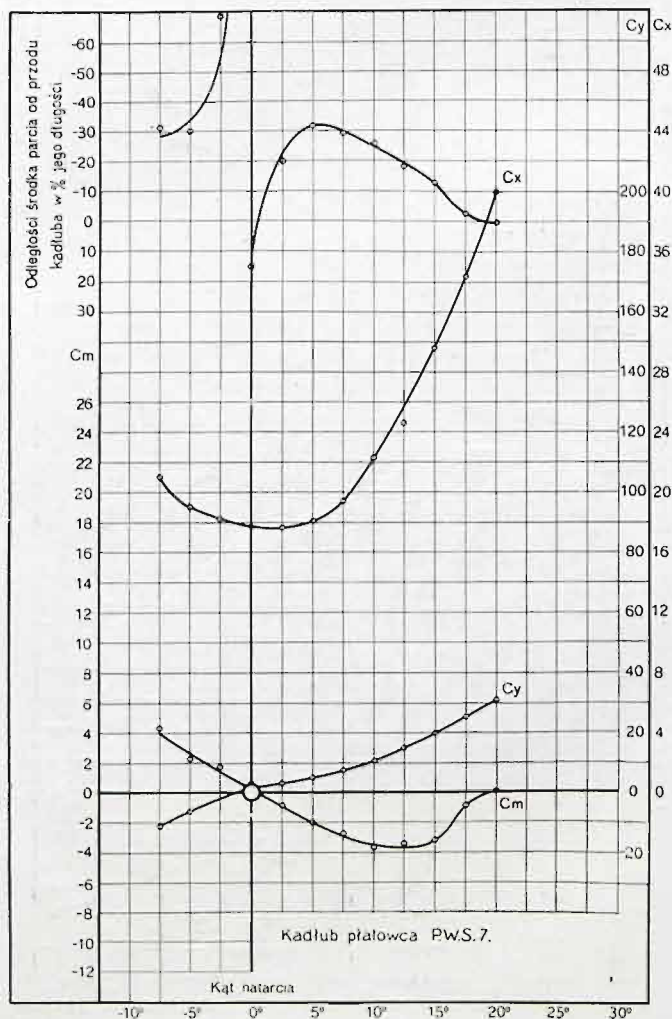
Kadłub Nr. 19

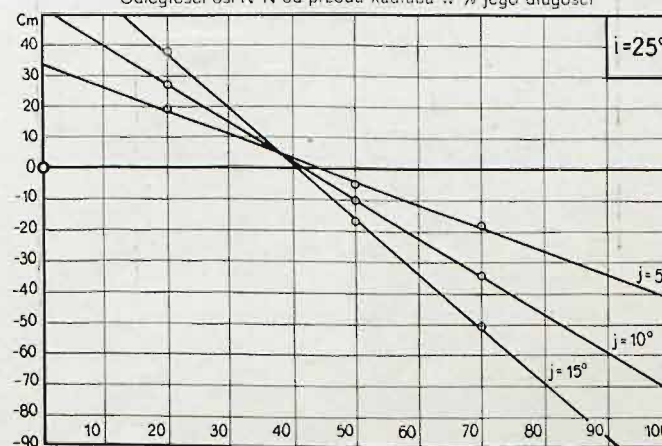
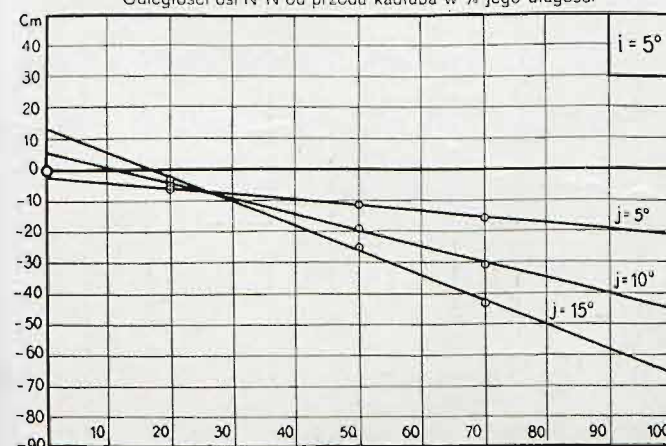
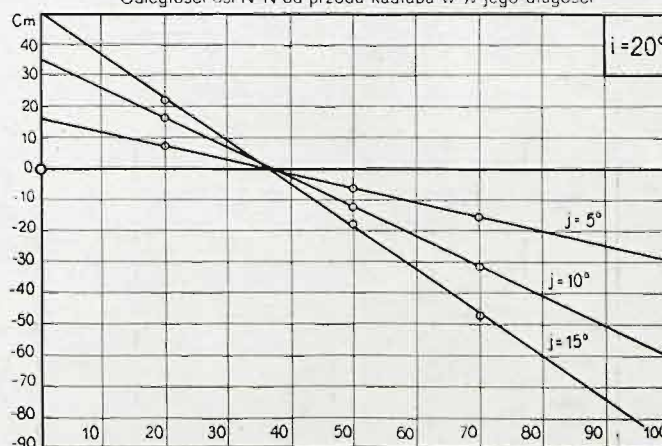
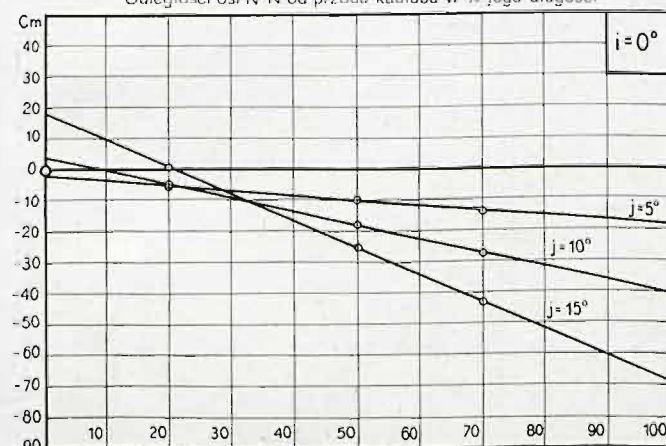
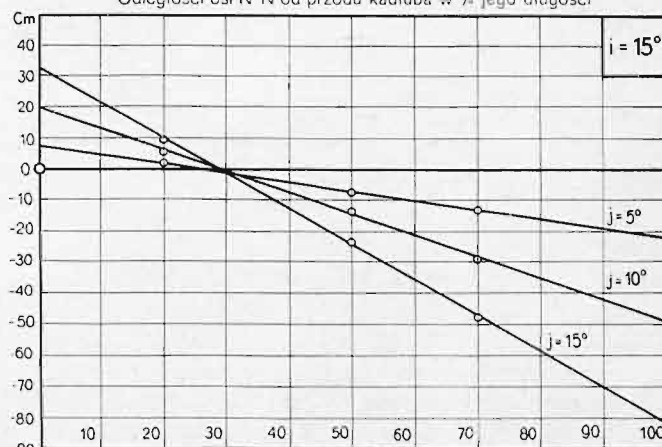
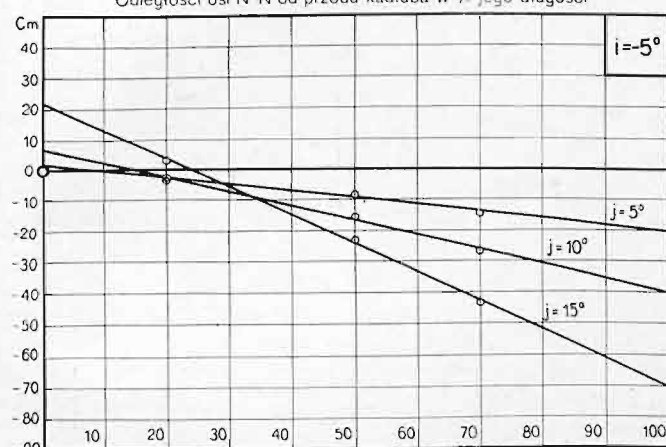
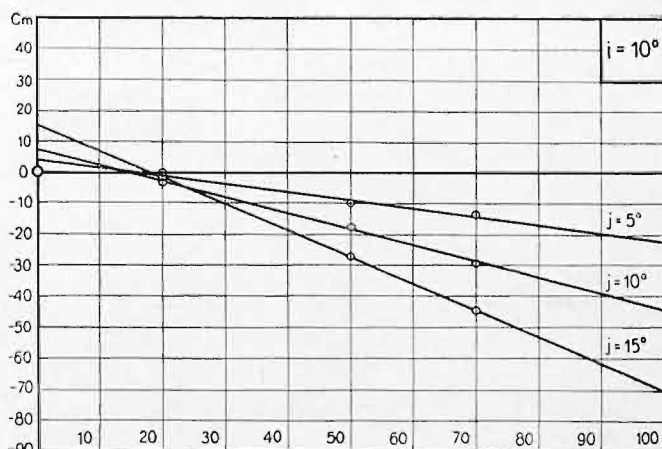
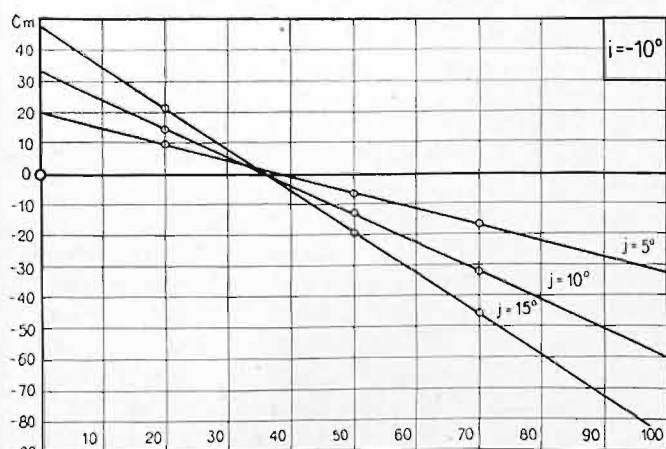
Największy przekrój $S = 0,003634$ m²

Data pomiaru: 6.VIII.30.



i°	C_y	C_x	C_m	e^0_0
20,0	31,1	40,0	0,1	0,2
17,5	25,2	34,4	-0,9	-2,5
15,0	19,7	29,6	-3,4	-12,5
12,5	14,5	24,6	-3,5	-17,9
10,0	10,7	22,3	-3,7	-25,6
7,5	7,3	19,4	-2,8	-29,1
5,0	4,9	18,1	-2,0	-31,5
2,5	3,3	17,6	-0,8	-19,6
0,0	3,3	17,8	0,5	15,2
-2,5	-1,7	18,3	1,7	-68,8
-5,0	-6,0	19,0	2,3	-30,5
-7,5	-11,0	20,9	4,3	-31,7





Doświadczenie Nr. 1234

Model Nr. 553

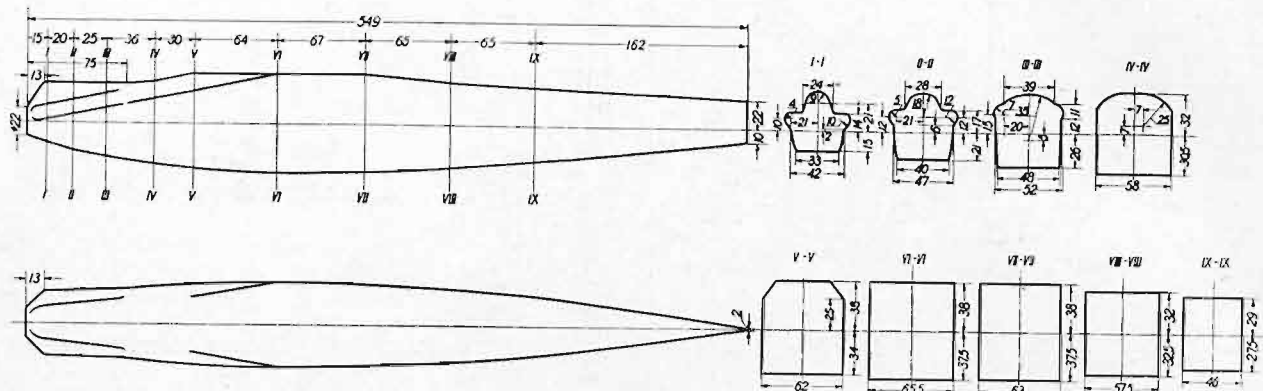
Długość $L = 0,549$ m

Ciśnienie prędkości $q = 100$ kg/m²

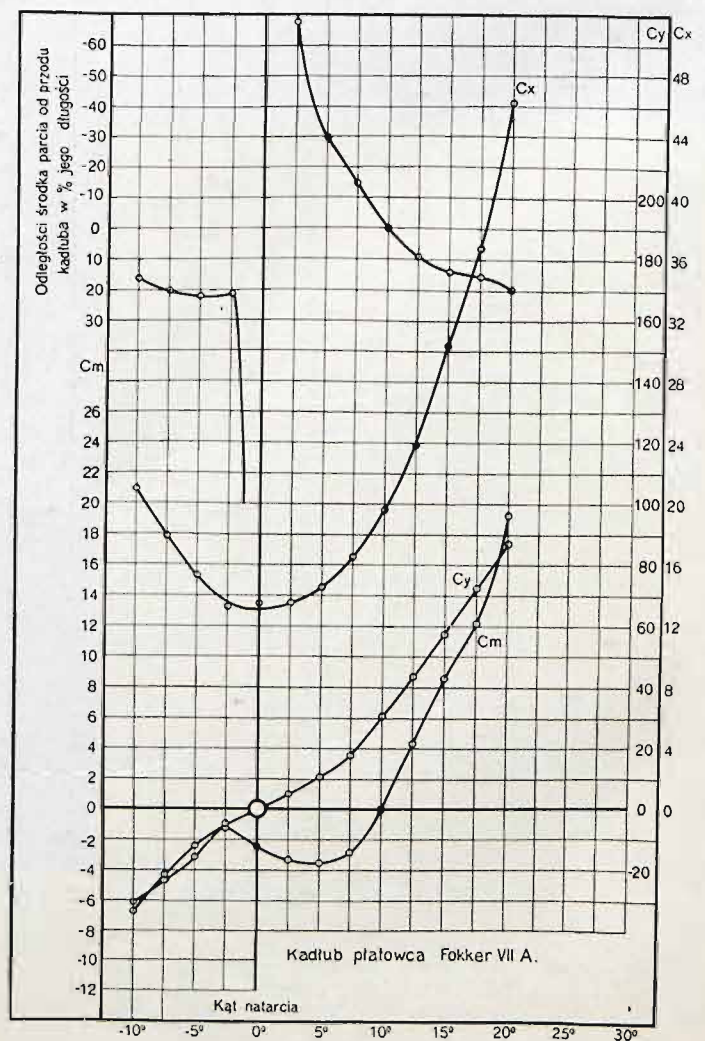
Kadłub Nr. 20

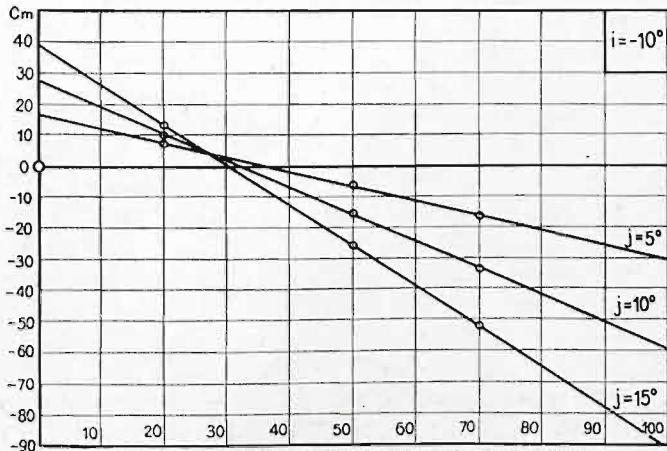
Największy przekrój $S = 0,004993$ m²

Data pomiaru: 12.IX.30.

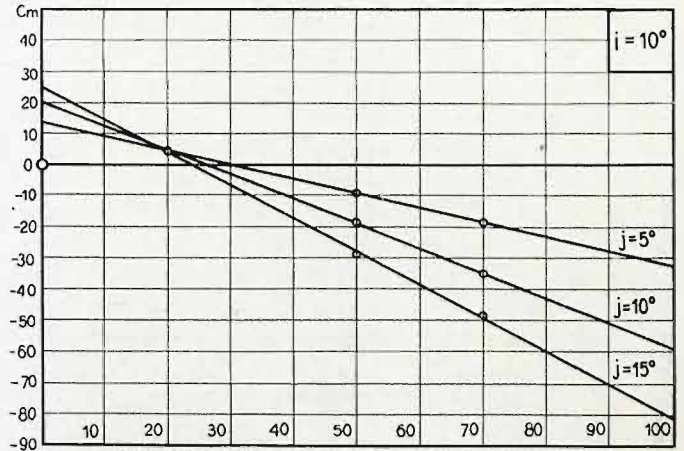


i°	C_y	C_x	C_m	$e^{0/0}$
20,0	87,0	46,1	19,2	19,7
17,5	72,4	36,7	12,2	15,3
15,0	57,3	30,4	8,6	13,6
12,5	43,9	23,9	4,3	9,0
10,0	30,7	19,6	0,0	0,0
7,5	17,7	16,5	-2,8	-14,4
5,0	10,8	14,5	-3,5	-29,3
2,5	4,4	13,6	-3,4	-67,8
0,0	0,2	13,4	-2,4	-1200,0
-2,5	-5,0	13,3	-1,2	21,4
-5,0	-12,4	15,4	-3,1	22,3
-7,5	-21,9	18,0	-4,7	19,8
-10,0	-33,5	21,1	-6,2	16,8

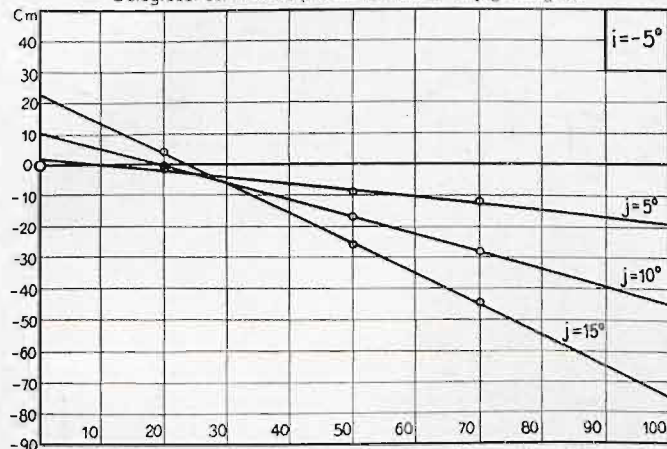




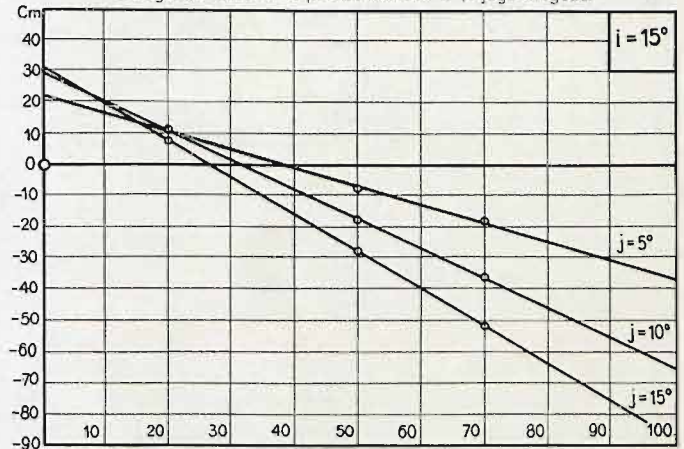
Odległości osi N-N od przodu kadłuba w % jego długości



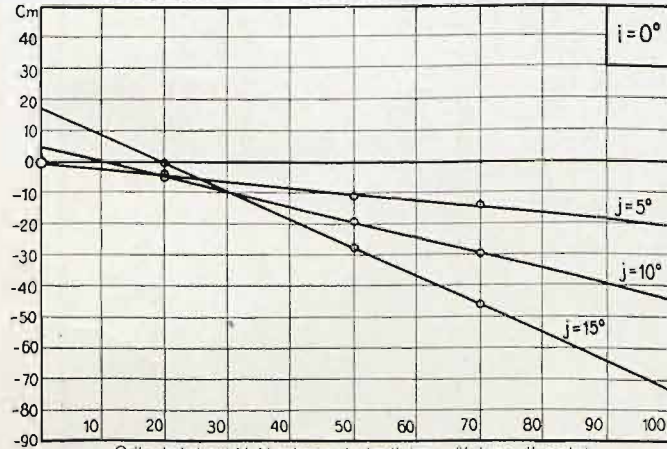
Odległości osi N-N od przodu kadłuba w % jego długości



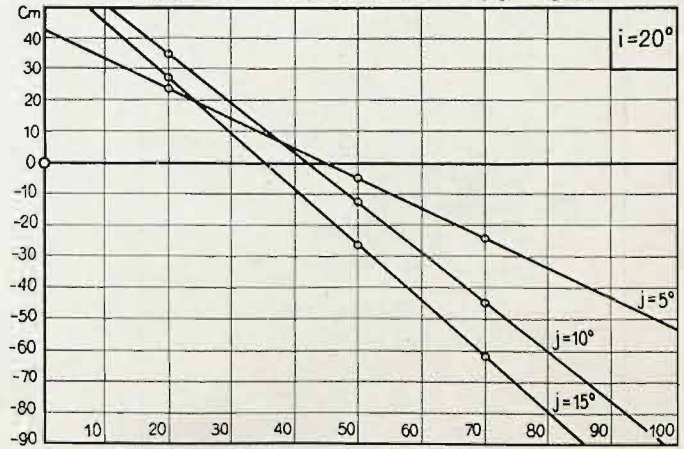
Odległości osi N-N od przodu kadłuba w % jego długości



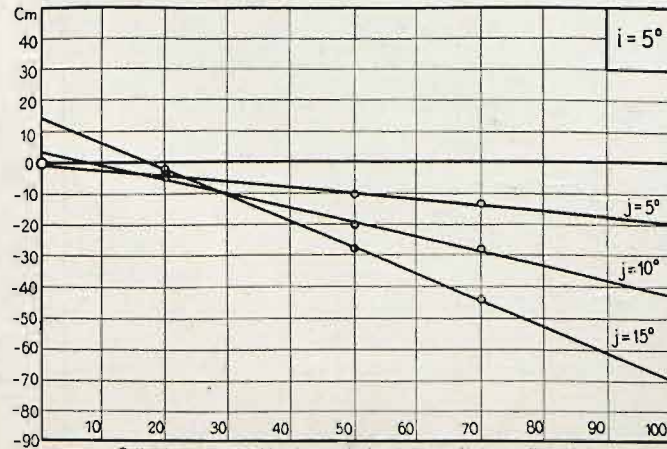
Odległości osi N-N od przodu kadłuba w % jego długości



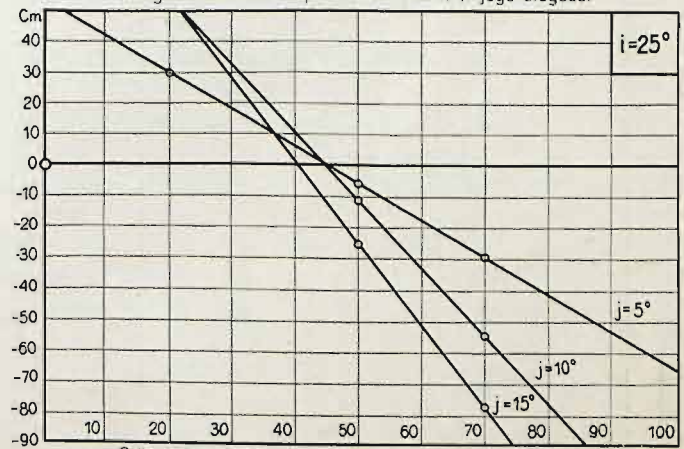
Odległości osi N-N od przodu kadłuba w % jego długości



Odległości osi N-N od przodu kadłuba w % jego długości



Odległości osi N-N od przodu kadłuba w % jego długości



Odległości osi N-N od przodu kadłuba w % jego długości

Doświadczenie Nr. 675

Model Nr. 115

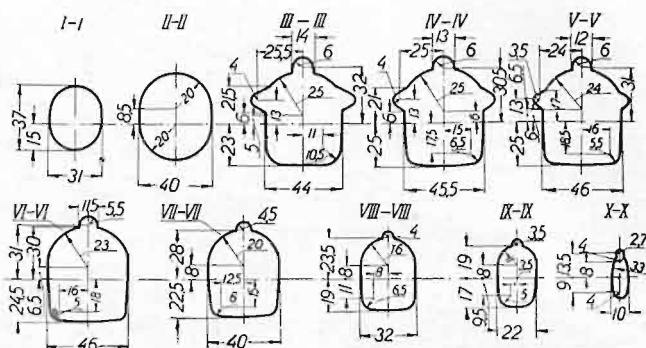
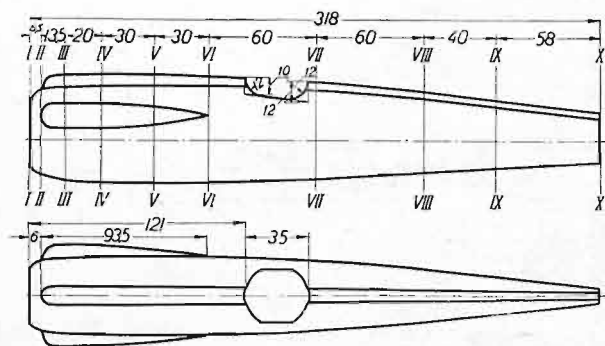
Długość $L = 0,318 \text{ m}$

Ciśnienie prędkości $q = 100 \text{ kg/m}^2$

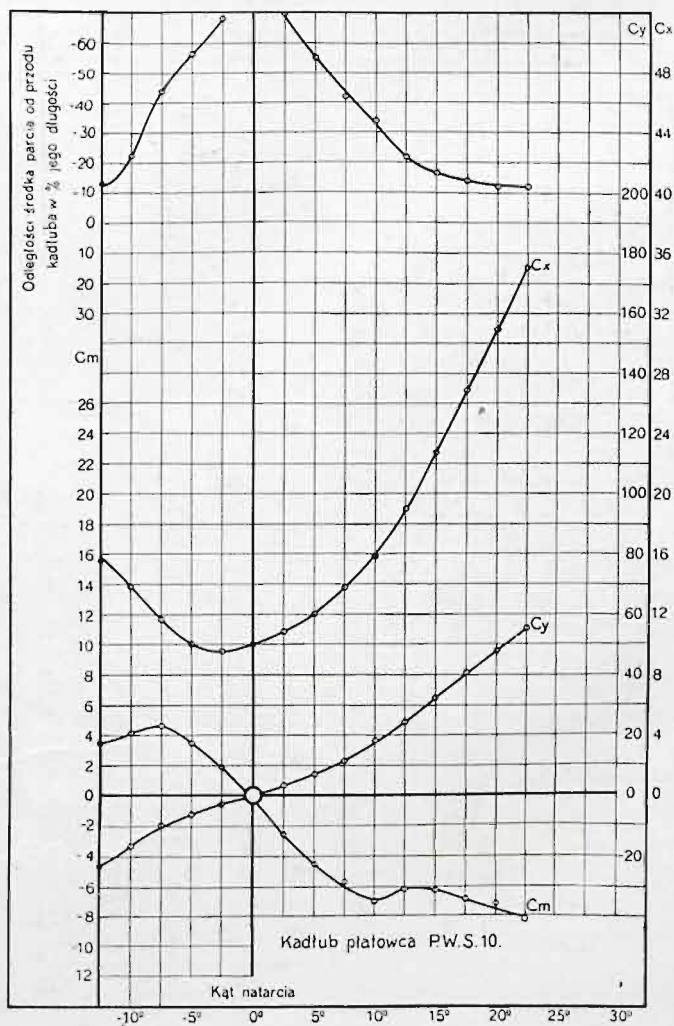
Kadłub Nr. 21

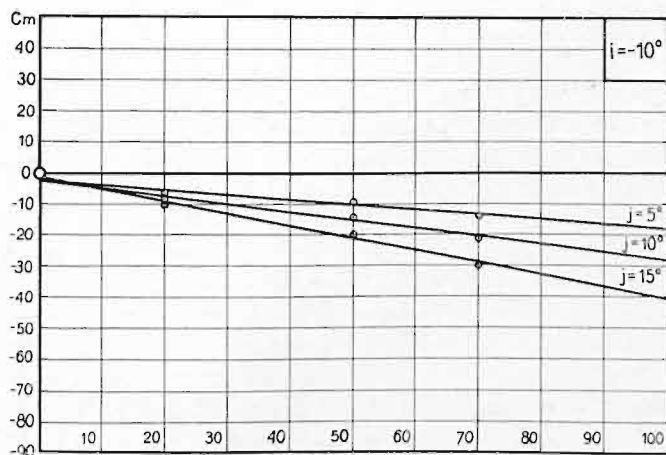
Największy przekrój $S=0,0024 \text{ m}^2$

Data pomiaru: 15.VII.29.

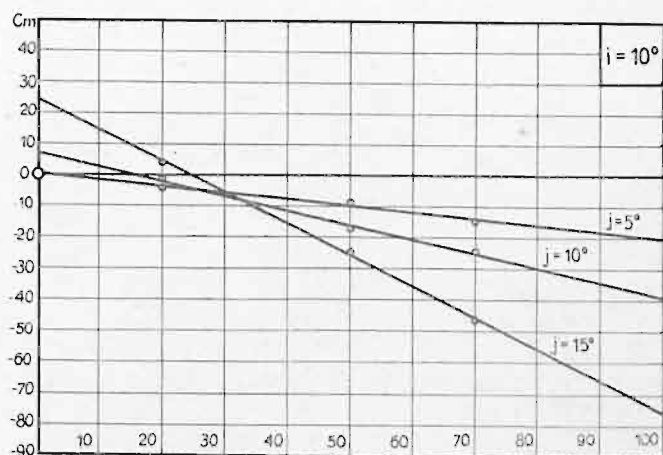


i^0	C_y	C_x	C_m	$e^0/0$
22,5	55,4	34,9	—8,2	—12,6
20,0	47,9	30,8	—7,2	—13,0
17,5	40,4	26,8	—6,9	—14,6
15,0	32,5	22,6	—6,3	—16,9
12,5	24,6	19,0	—6,2	—21,9
10,0	18,3	15,8	—7,0	—34,0
7,5	11,7	13,7	—5,6	—42,3
5,0	7,1	12,0	—4,5	—55,1
2,5	3,3	10,8	—2,5	—70,0
0,0	0,0	10,0	—0,5	—
—2,5	—2,5	9,6	2,0	—68,2
—5,0	—5,4	10,1	3,5	—56,3
—7,5	—9,2	11,8	4,7	—43,9
—10,0	—16,3	13,9	4,2	—22,8
—12,5	—22,5	15,6	3,5	—13,9
—15,0	—28,8	17,8	7,3	—22,6

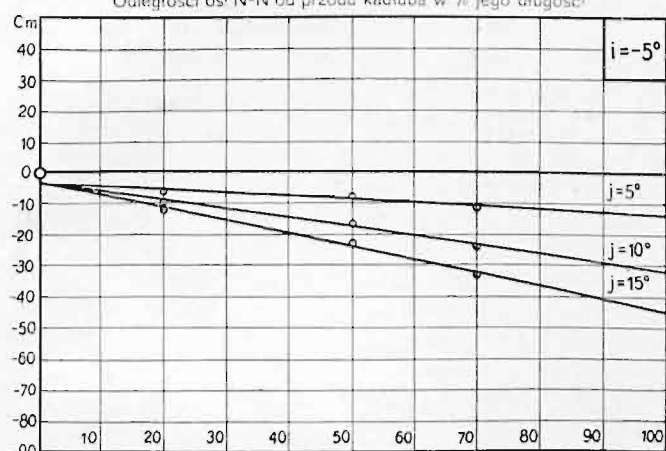




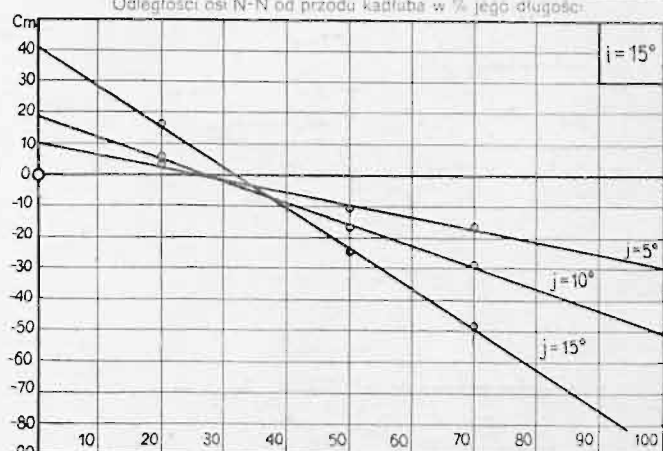
Odległości osi N-N od przodu kadłuba w % jego długości



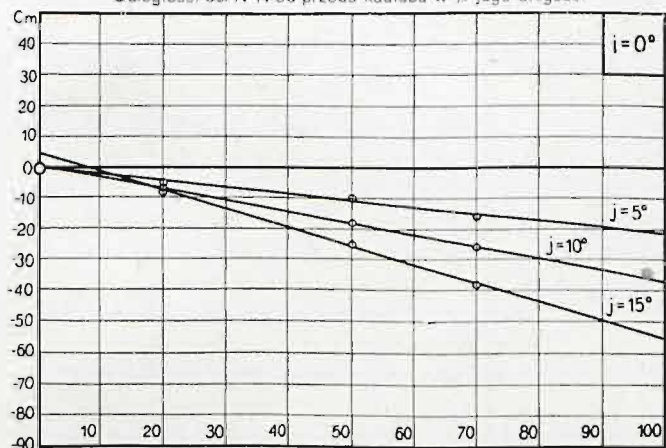
Odległości osi N-N od przodu kadłuba w % jego długości



Odległości osi N-N od przodu kadłuba w % jego długości



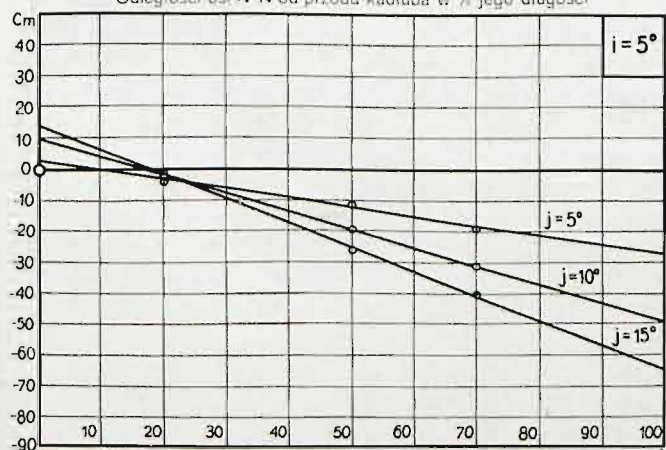
Odległości osi N-N od przodu kadłuba w % jego długości



Odległości osi N-N od przodu kadłuba w % jego długości



Odległości osi N-N od przodu kadłuba w % jego długości



Odległości osi N-N od przodu kadłuba w % jego długości



Odległości osi N-N od przodu kadłuba w % jego długości

Doświadczenie Nr. 1250

Model Nr. 201

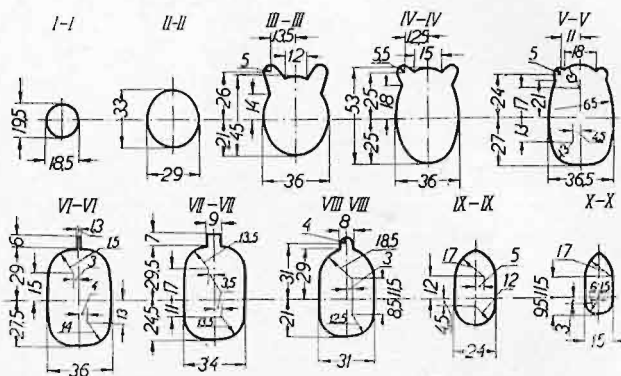
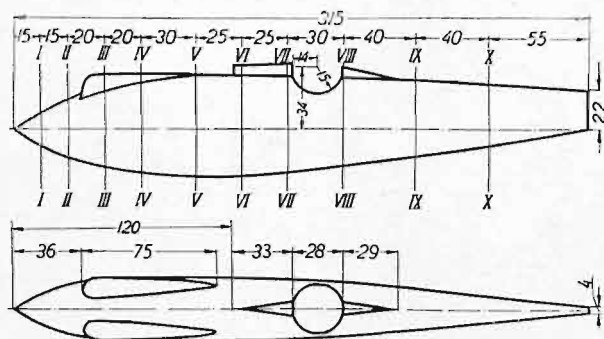
Długość $L = 0,315$ m

Ciśnienie prędkości $q = 100$ kg/m²

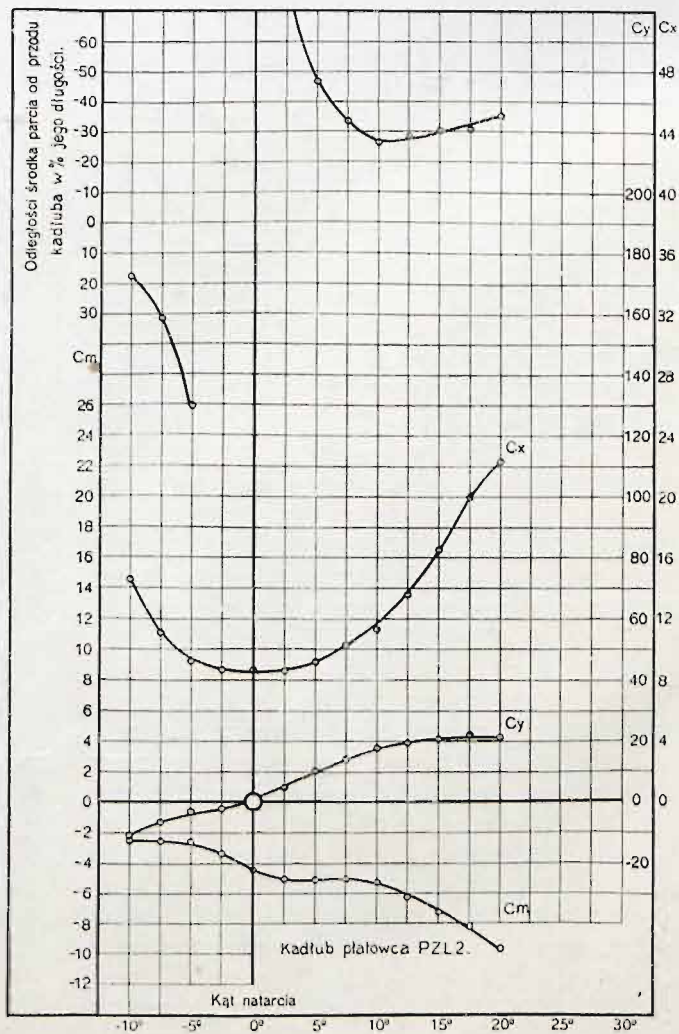
Kadłub Nr. 22

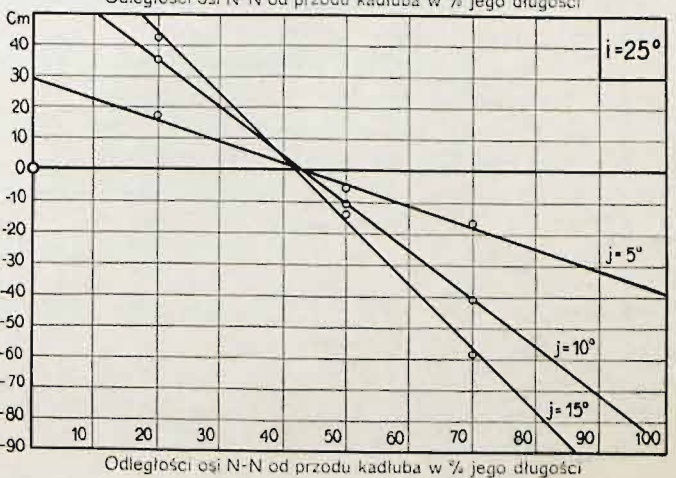
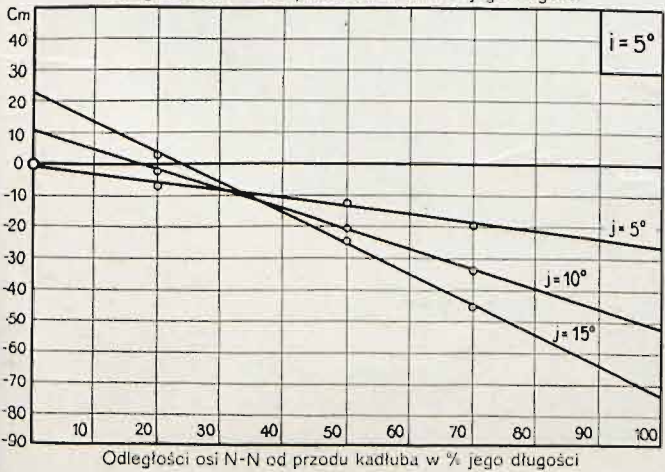
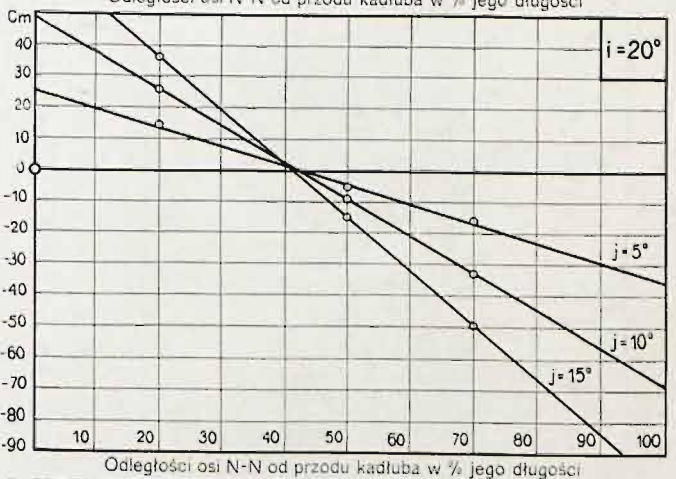
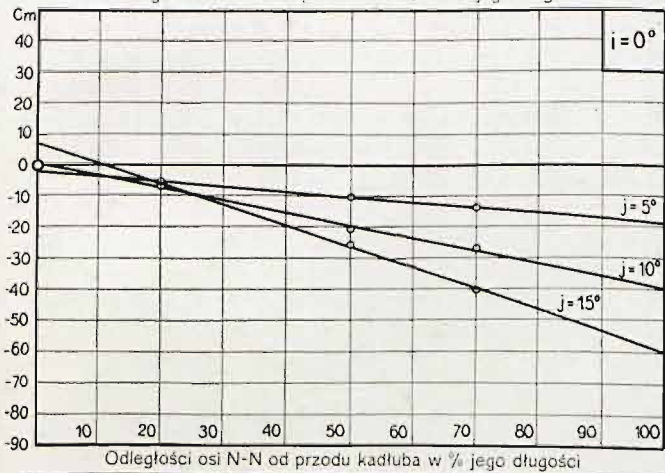
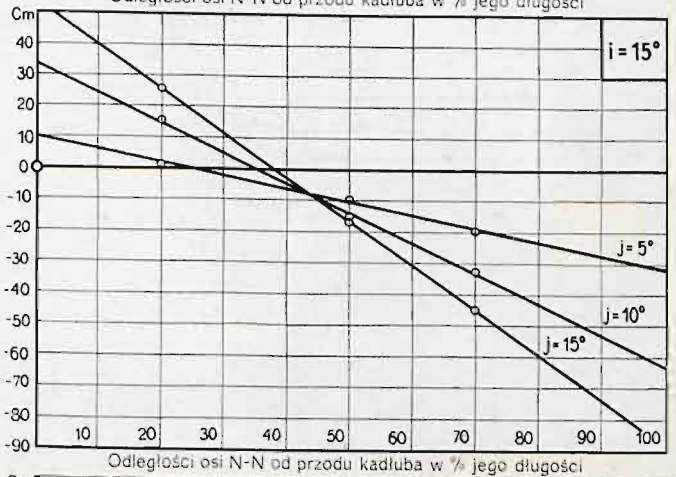
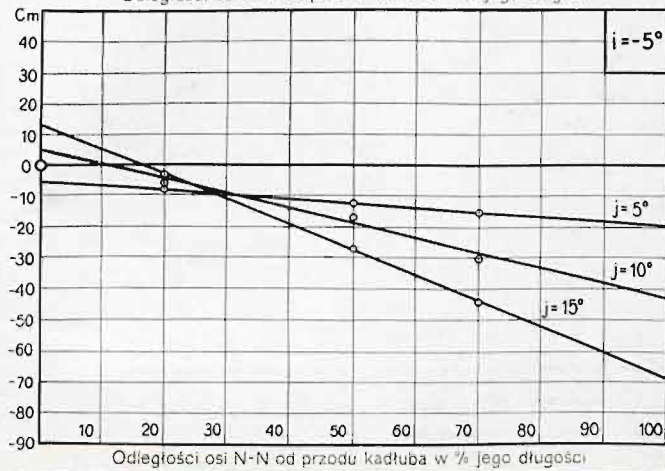
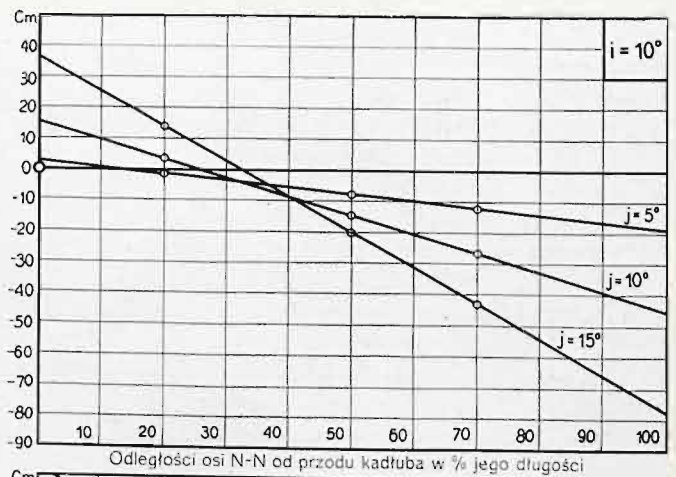
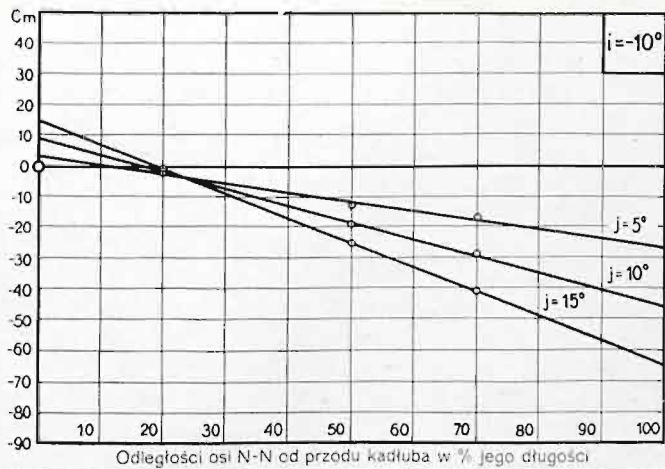
Największy przekrój $S = 0,00175$ m²

Data pomiaru: 1.X.30.



α°	C_y	C_x	C_m	$e^{\circ}/_0$
20,0	21,1	22,2	-9,7	-35,5
17,5	21,7	20,0	-8,2	-30,7
15,0	20,6	16,5	-7,3	-30,3
12,5	19,4	13,7	-6,2	-28,3
10,0	17,7	11,4	-5,2	-26,9
7,5	13,7	10,3	-5,0	-33,7
5,0	10,3	9,2	-5,1	-46,3
2,5	5,1	8,6	-5,0	-90,2
0,0	0,6	8,7	-4,4	-777,0
-2,5	-2,3	8,7	-3,3	125,1
-5,0	-3,4	9,3	-2,6	60,2
-7,5	-6,9	11,0	-2,5	30,9
-10,0	-11,4	14,5	-2,5	17,8





Doświadczenie Nr. 1242

Model Nr. 388

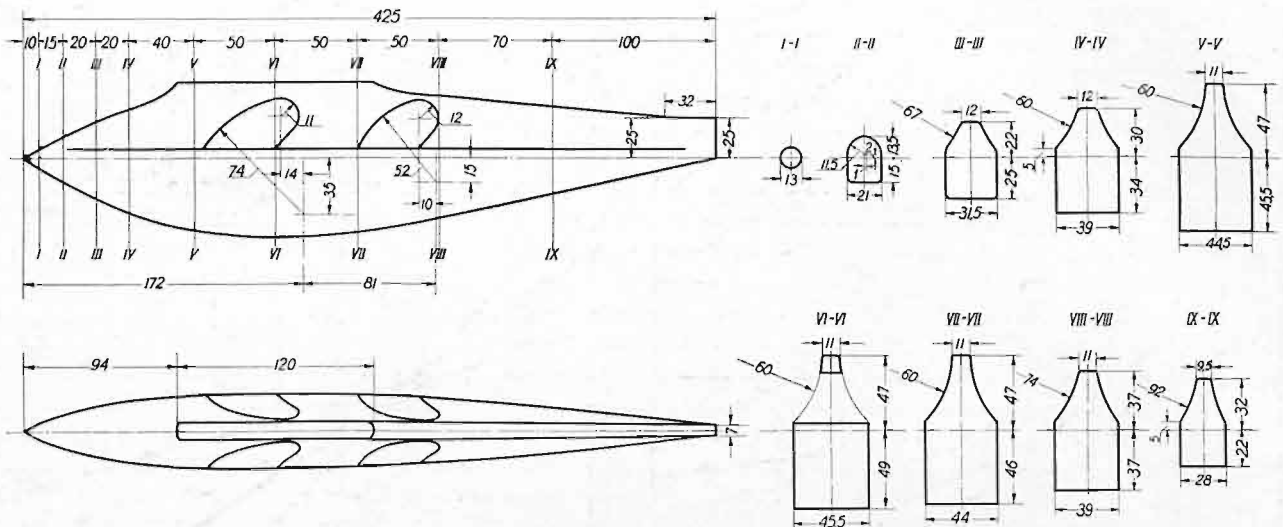
Długość $L = 0,425$ m

Ciśnienie prędkości $q = 100$ kg/m²

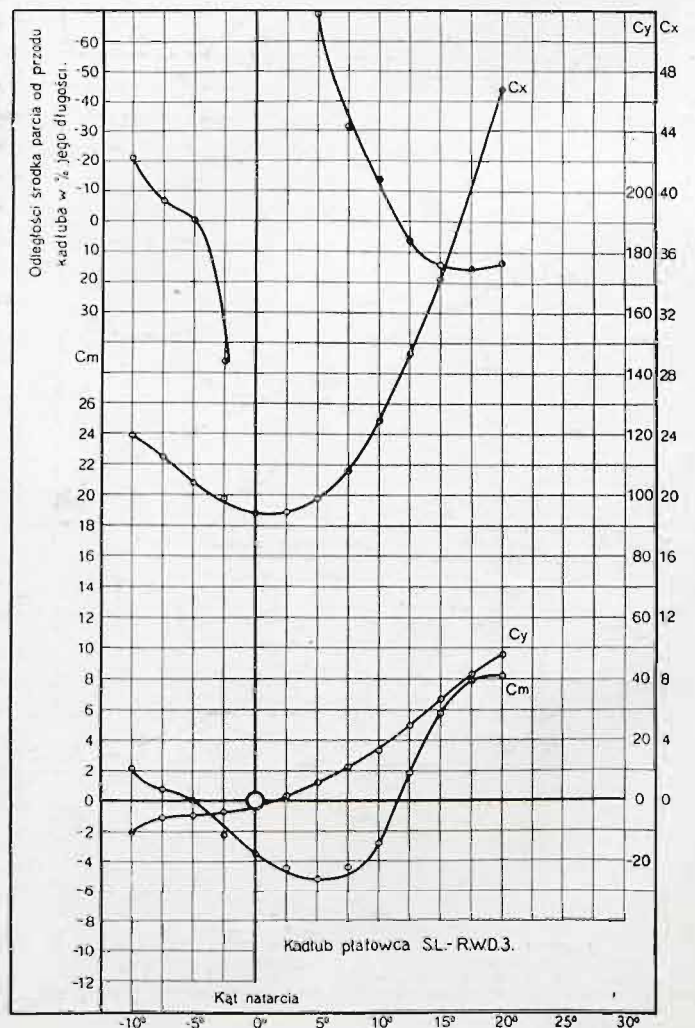
Kadłub Nr. 23

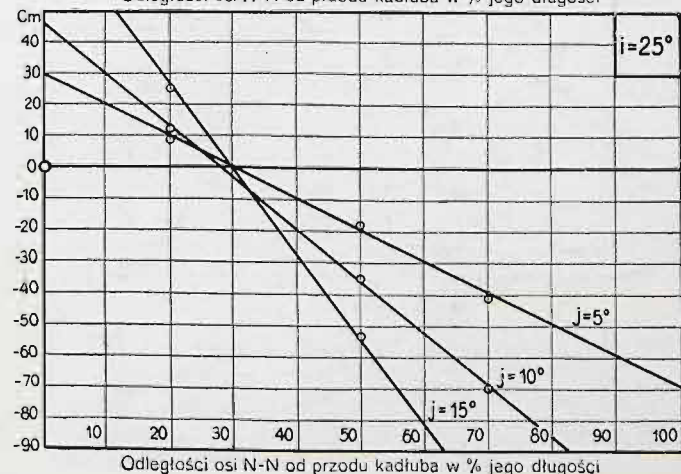
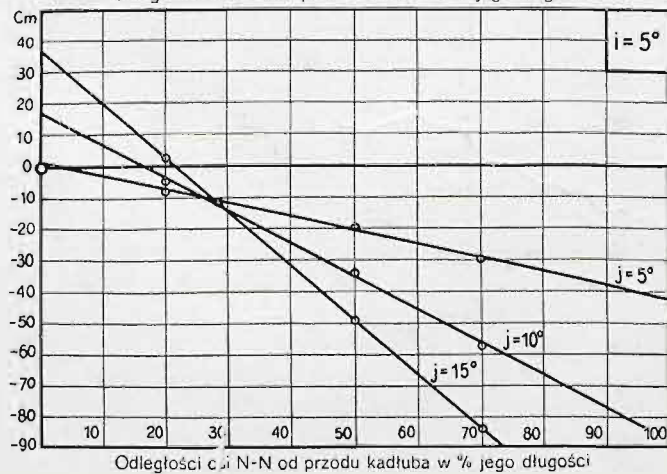
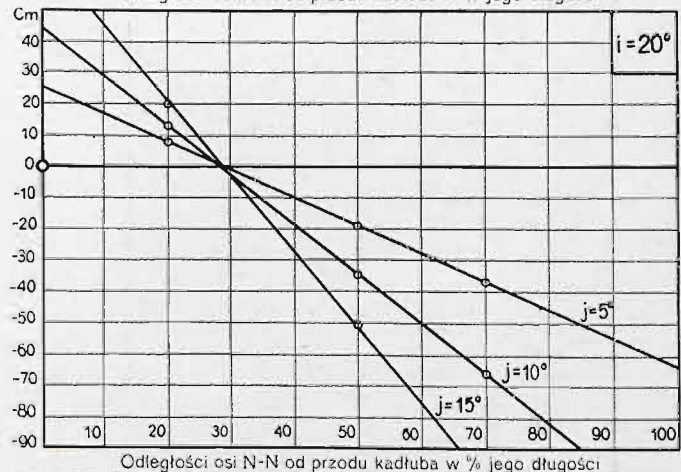
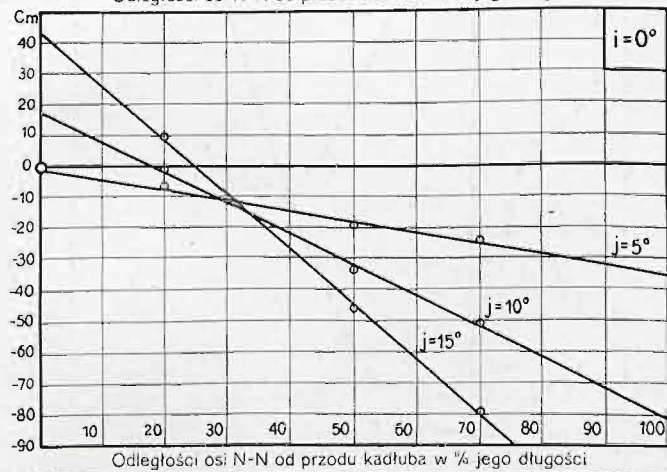
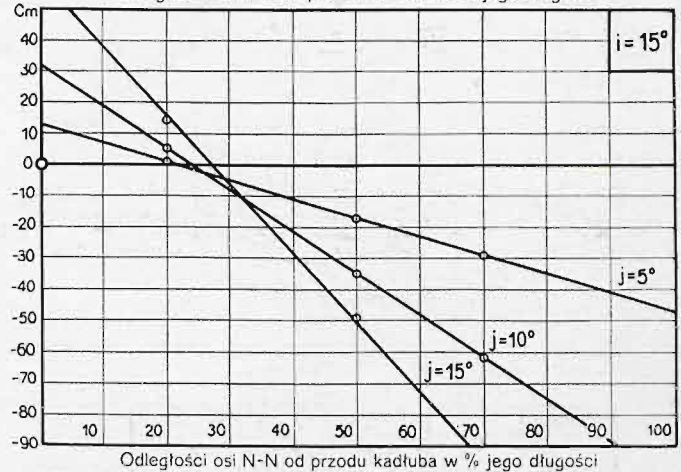
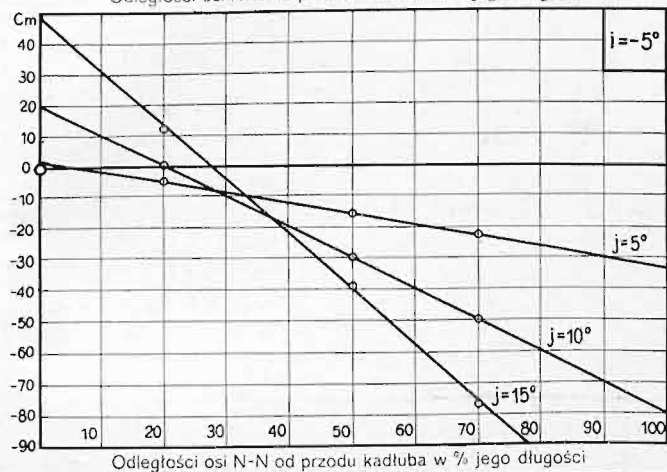
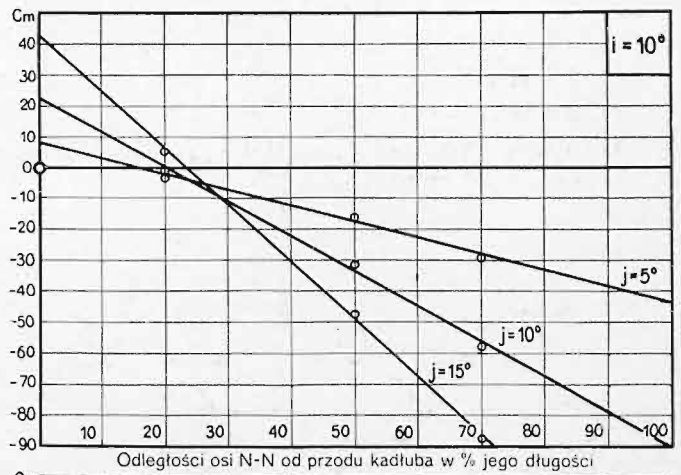
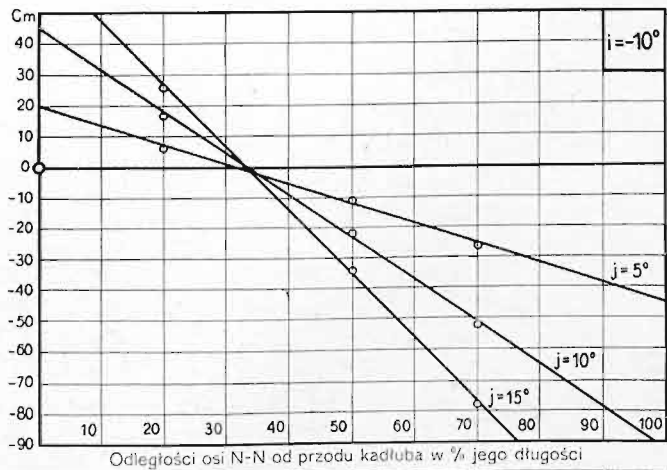
Największy przekrój $S = 0,00327$ m²

Data pomiaru: 24.IX.30.



i°	C_y	C_x	C_m	$e^\circ/\%$
20,0	48,0	46,7	8,2	13,4
17,5	41,3	40,2	7,9	15,2
15,0	33,2	34,3	5,7	13,9
12,5	24,7	29,4	1,9	6,3
10,0	16,2	25,0	-2,8	-14,0
7,5	11,3	21,7	-4,4	-31,4
5,0	5,8	19,8	-5,2	-69,1
2,5	1,2	19,0	-4,4	-208,5
0,0	-2,7	18,8	-3,6	129,6
-2,5	-3,9	19,8	-2,2	45,8
-5,0	-4,8	20,7	0,0	-0,6
-7,5	-6,4	22,5	0,6	-6,5
-10,0	-10,3	23,8	2,1	-21,0





Doświadczenie Nr. 1224

Model Nr. 388 a

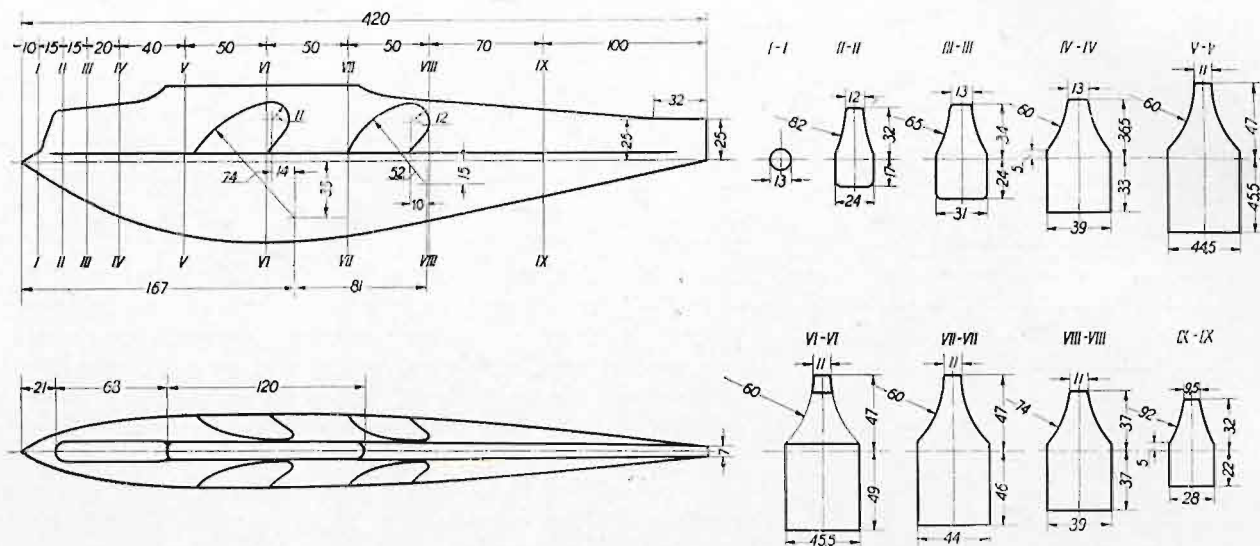
Długość $L = 0,420$ m

Ciśnienie prędkości $q = 100$ kg/m²

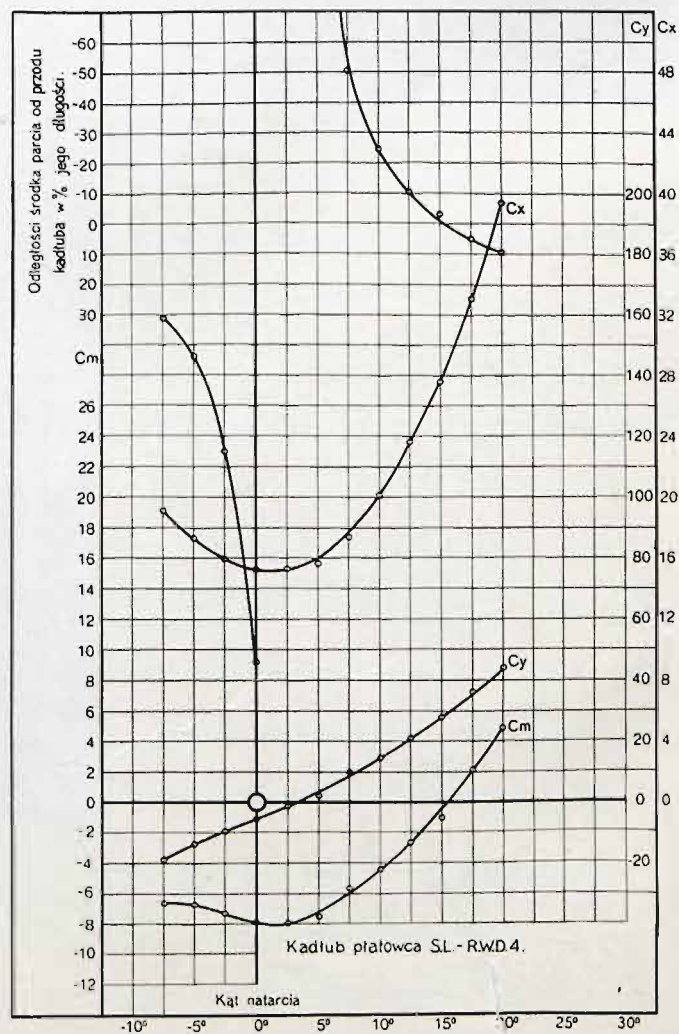
Kadłub Nr. 24

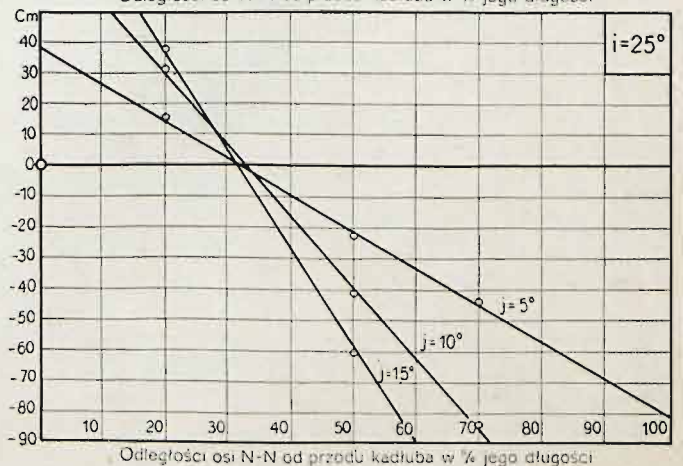
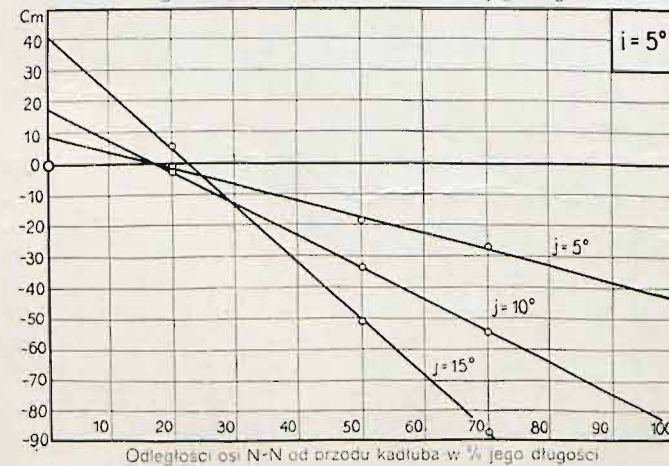
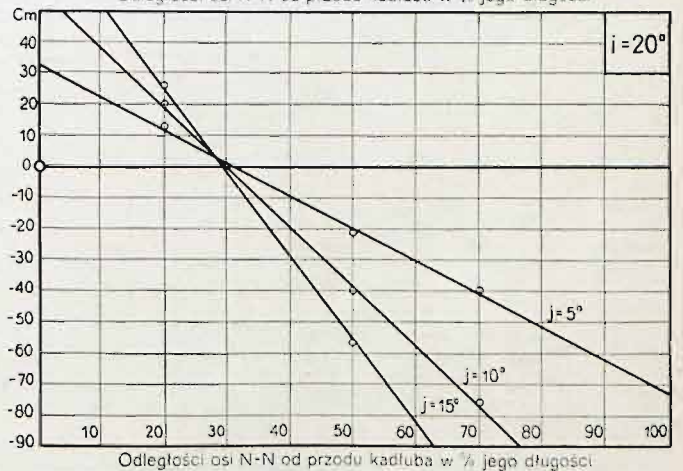
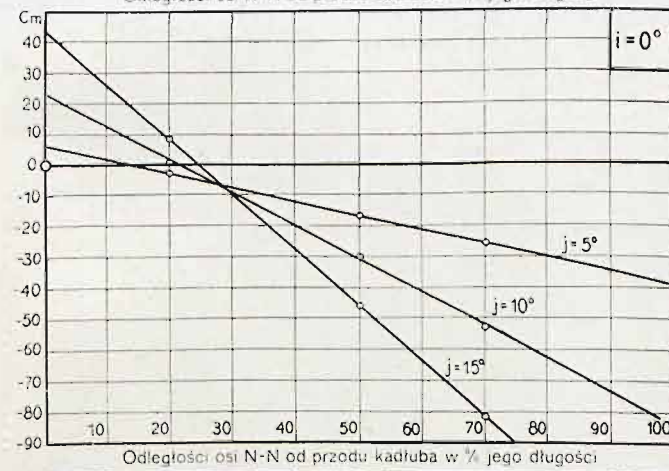
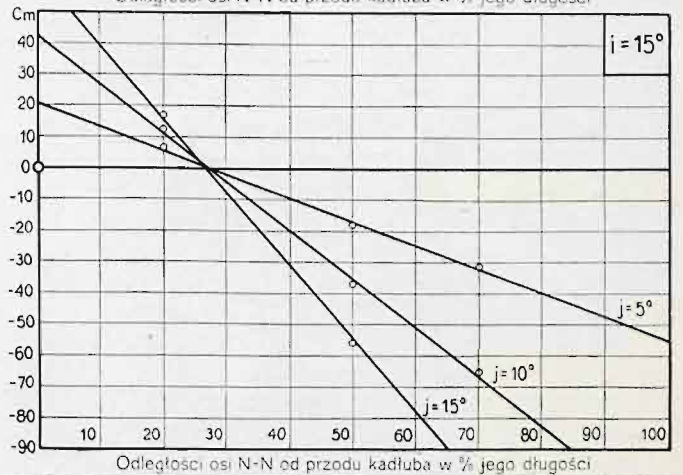
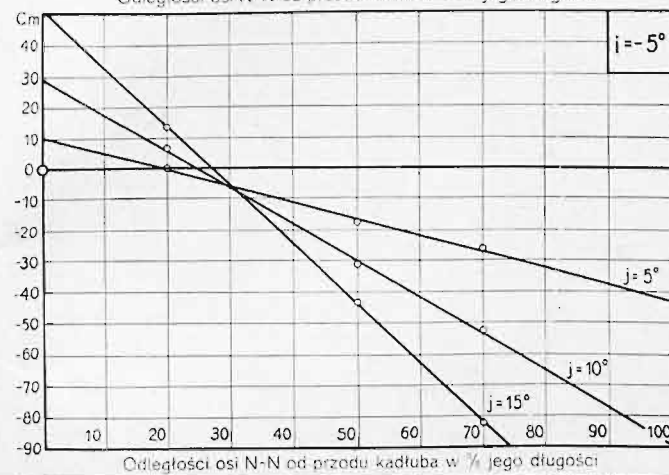
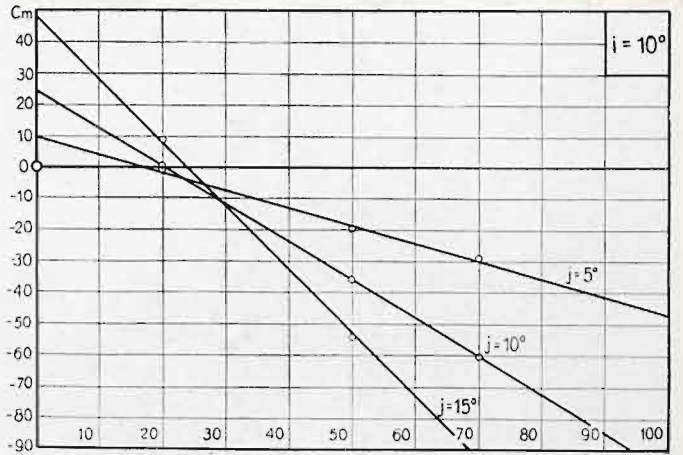
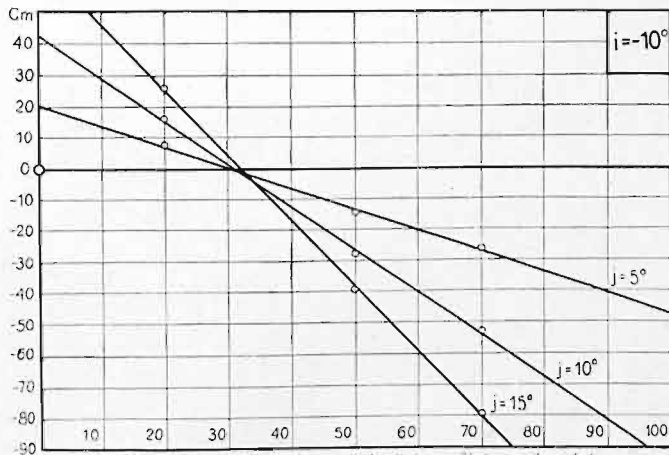
Największy przekrój $S = 0,00327$ m²

Data pomiaru: 13.VIII.30.



i^0	C_y	C_x	C_m	e^0/c
20,0	44,0	39,4	5,0	9,0
17,5	36,1	33,0	2,2	4,9
15,0	27,8	27,6	-1,1	-3,1
12,5	21,2	23,7	-2,7	-10,5
10,0	14,7	20,1	-4,4	-24,6
7,5	10,0	17,4	-5,6	-51,3
5,0	2,8	15,6	-7,6	-187,3
2,5	-1,2	15,3	-8,1	1476,0
0,0	-5,5	15,3	-7,9	143,8
-2,5	-9,2	16,0	-7,4	74,9
-5,0	-13,8	17,2	-6,7	44,3
-7,5	-18,7	19,1	-6,6	31,5





Doświadczenie Nr. 1255

Model Nr. 561

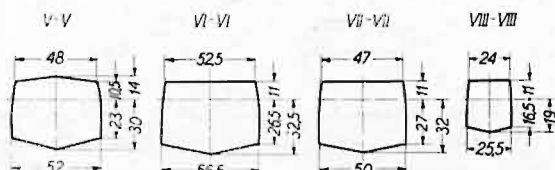
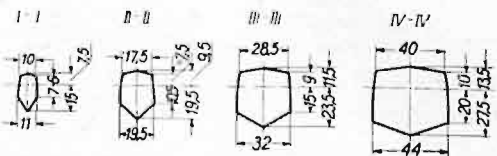
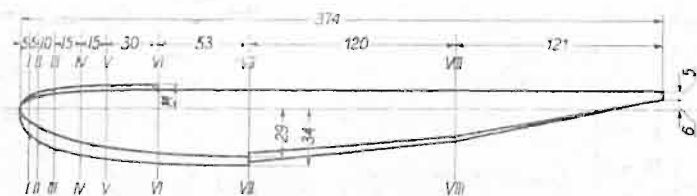
Długość $L = 0,374$ m

Ciśnienie prędkości $q = 100$ kg/m²

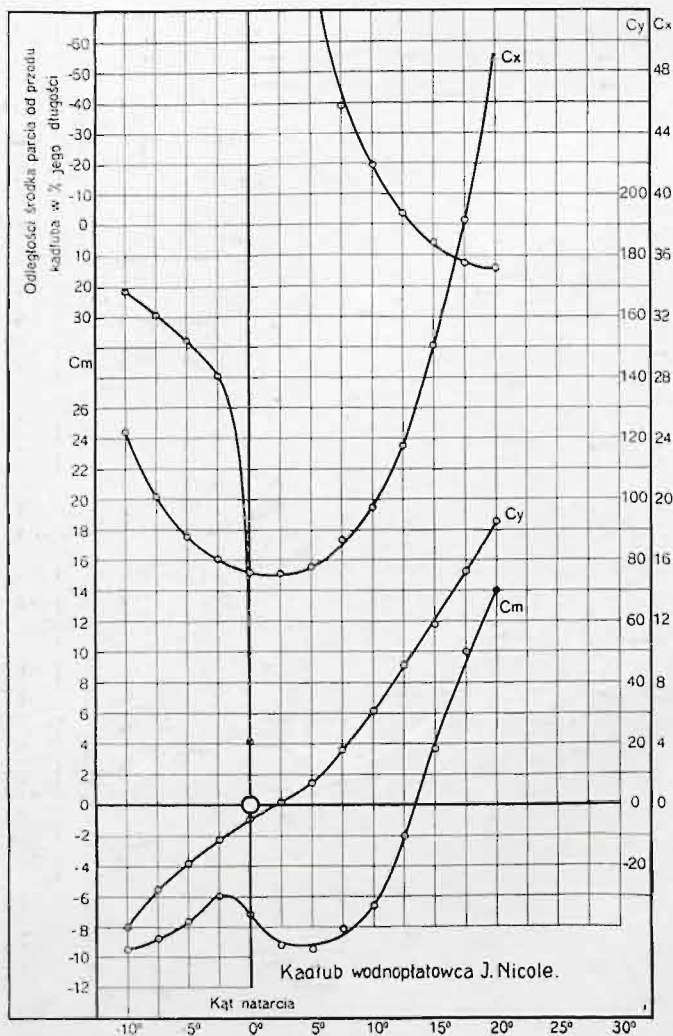
Kadłub Nr. 25

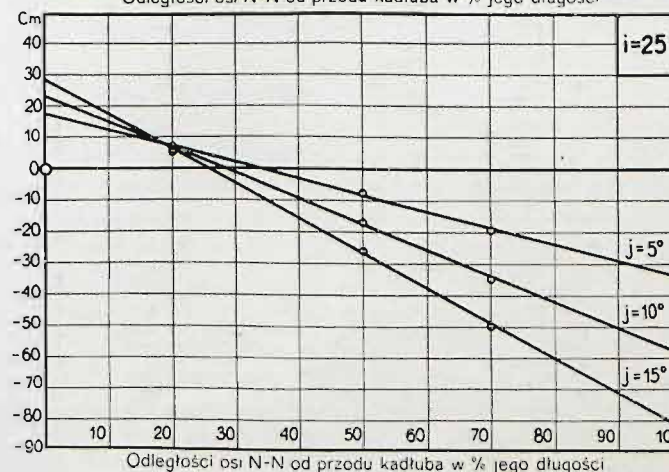
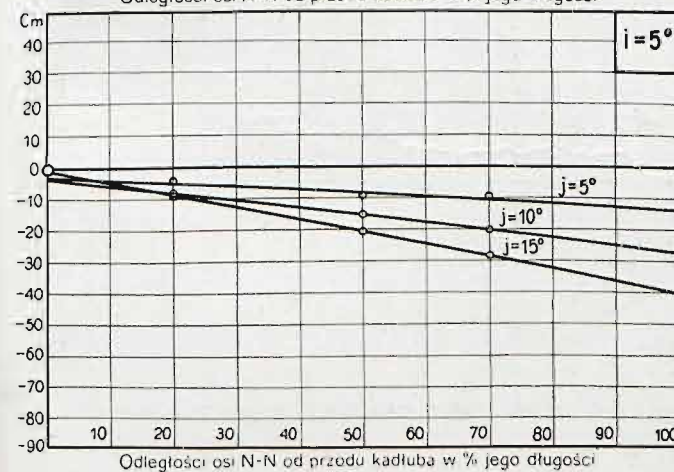
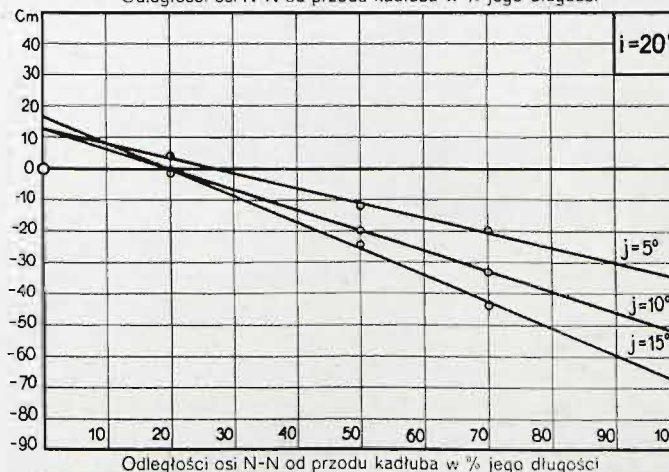
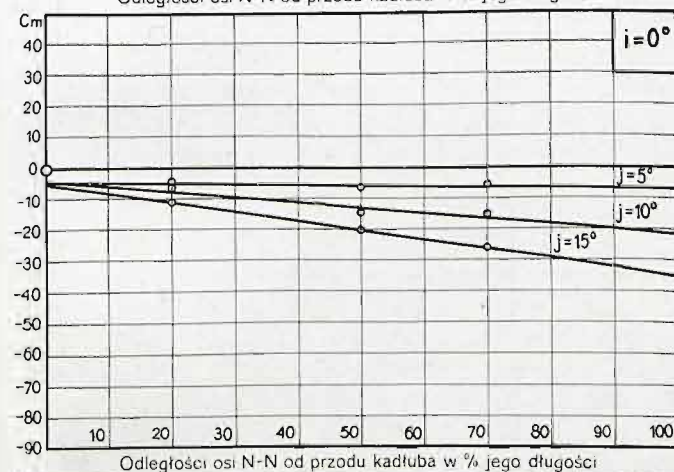
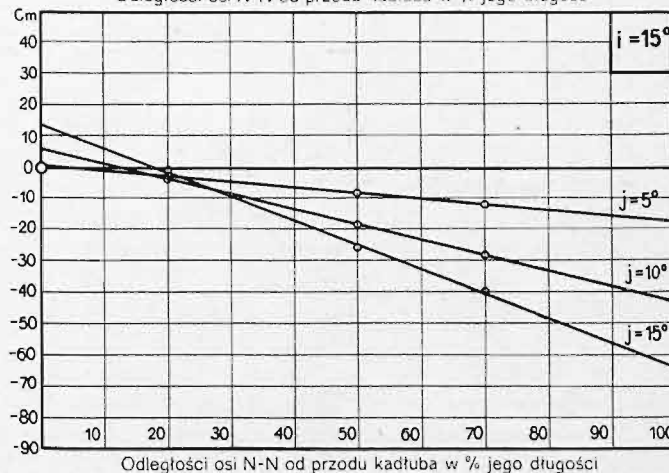
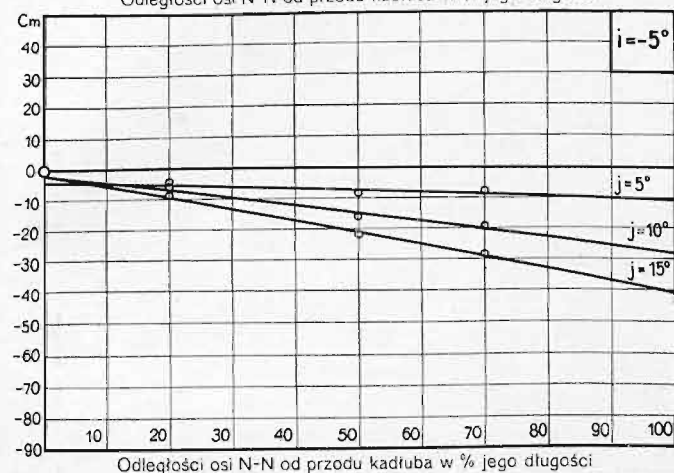
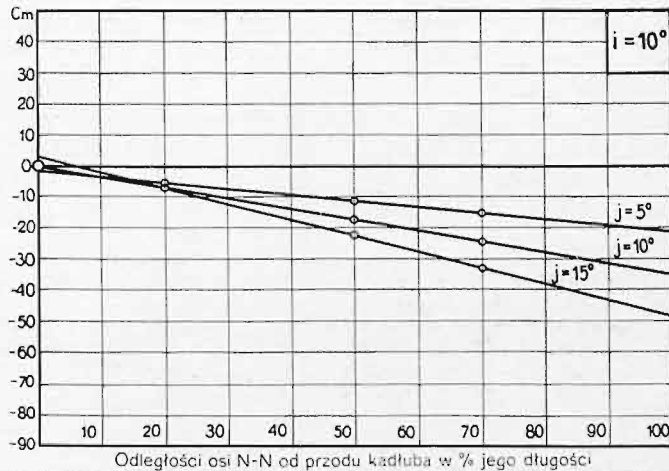
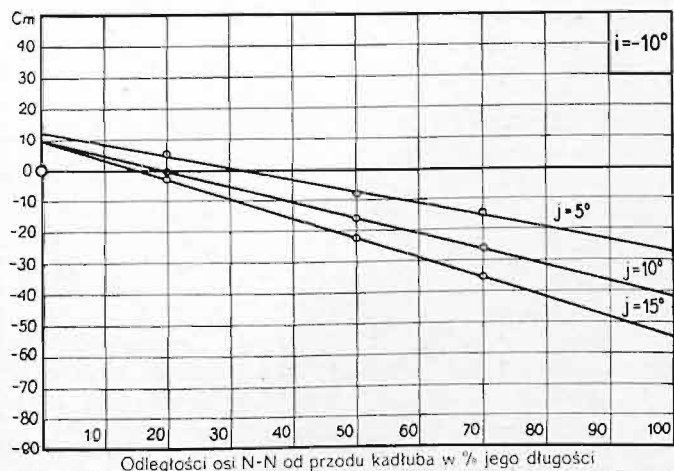
Największy przekrój $S = 0,00239$ m²

Data pomiaru: 4.X.30.



i°	C_y	C_x	C_m	$e^0/0$
20,0	92,9	48,7	14,1	13,5
17,5	76,0	38,2	10,0	11,9
15,0	59,3	30,1	3,8	5,8
12,5	45,8	23,5	-2,1	-4,1
10,0	30,8	19,4	-6,6	-19,4
7,5	18,3	17,3	-8,0	-39,2
5,0	7,5	15,5	-9,4	-106,2
2,5	0,8	15,2	-9,2	-626,5
0,0	-4,1	15,2	-7,7	169,3
-2,5	-11,3	16,2	-5,9	49,6
-5,0	-18,7	17,5	-7,7	38,0
-7,5	-27,5	20,2	-8,7	29,3
-10,0	-40,0	24,5	-9,5	21,7





Doświadczenie Nr. 1545. Kadłub Nr. 1.

ϑ^0 / ϑ	Wartości Cm.											
20	—3,9	—6,0	—9,0	—6,0	—7,5	—9,6	—4,2	—8,0	—9,1	—6,0	—7,5	—9,6
50	—7,1	—12,0	—13,1	—5,4	—9,6	—13,8	—5,3	—9,0	—12,9	—5,4	—9,6	—13,8
70	—6,0	—12,3	—20,0	—8,2	—14,0	—20,0	—6,0	—13,9	—19,8	—8,2	—14,0	—20,0
j^0	5	10	15	5	10	15	5	10	15	5	10	15
i^0	—10			—5			0			5		
e^0 / ϑ	Wartości Cm.											
20	—3,9	—6,0	—9,0	—4,9	—6,1	—8,6	—3,1	—6,5	—4,7	—4,0	—0,1	—2,2
50	—7,1	—12,0	—13,1	—6,0	—12,0	—14,1	—6,9	—11,0	—13,1	—4,3	—6,8	—9,1
70	—6,0	—12,3	—20,0	—7,0	—12,3	—20,0	—5,4	—14,0	—19,0	—6,7	—11,0	—17,3
j^0	5	10	15	5	10	15	5	10	15	5	10	15
i^0	10			15			20			25		

Doświadczenie Nr. 1570. Kadłub Nr. 2.

e^0/o	Wartości Cm.											
20	—5,0	—6,9	—9,5	—3,3	—6,0	—9,0	—5,5	—8,9	—7,0	—3,3	—6,0	—9,0
50	—6,7	—13,0	—15,9	—7,0	—11,9	—14,0	—4,3	—9,9	—15,0	—7,0	—11,9	—14,0
70	—8,0	—14,0	—22,5	—6,0	—12,0	—21,0	—7,2	—14,0	—17,4	—6,0	—12,0	—21,0
j^0	5	10	15	5	10	15	5	10	15	5	10	15
i^0	—10			—5			0			5		

e^0/o	Wartości Cm.											
20	—5,0	—6,9	—9,5	—3,9	—6,4	—7,5	—1,3	—2,0	0,0	0,6	3,1	6,0
50	—6,7	—13,0	—15,9	—8,0	—13,0	—16,2	—5,0	—8,9	—15,0	—5,1	—9,1	—13,0
70	—8,0	—14,0	—22,5	—7,9	—15,0	—22,0	—7,9	—16,0	—22,0	—6,8	—15,0	—23,1
j^0	5	10	15	5	10	15	5	10	15	5	10	15
i^0	10			15			20			25		

Doświadczenie Nr. 1544. Kadłub Nr. 3.

e ⁰ / _o	Wartości Cm.											
20	—3,7	—7,0	—5,3	—5,0	—7,9	—9,2	—5,4	—7,1	—8,8	—5,0	—7,9	—9,2
50	—6,9	—10,0	—14,5	—6,5	—11,2	—16,3	—5,5	—12,7	—16,5	—6,5	—11,2	—16,3
70	—6,1	—15,0	—20,6	—7,1	—14,0	—21,0	—7,2	—13,5	—21,5	—7,1	—14,0	—21,0
j ⁰	5	10	15	5	10	15	5	10	15	5	10	15
i ⁰	—10			—5			0			5		
e ⁰ / _o	Wartości Cm.											
20	—3,7	—7,0	—5,3	—4,1	—2,9	0,7	—2,0	2,1	6,1	0,7	8,0	10,4
50	—6,9	—10,0	—14,5	—4,8	—8,9	—13,2	—6,6	—9,7	—15,0	—4,8	—7,1	—12,7
70	—6,1	—15,0	—20,6	—8,1	—15,5	—22,5	—9,5	—17,5	—26,3	—8,3	—17,2	—25,9
j ⁰	5	10	15	5	10	15	5	10	15	5	10	15
i ⁰	10			15			20			25		

Doświadczenie Nr. 1543. Kadłub Nr. 4.

e°/o	Wartości Cm.											
20	—4,0	—6,0	—2,4	—4,5	—7,5	—6,1	—4,6	—7,9	—5,8	—4,5	—7,5	—6,1
50	—7,3	—11,1	—14,7	—7,4	—12,4	—15,5	—7,2	—12,3	—17,0	—7,4	—12,4	—15,5
70	—7,2	—16,5	—22,8	—7,0	—15,4	—21,9	—6,5	—15,3	—21,4	—7,0	—15,4	—21,9
j°	5	10	15	5	10	15	5	10	15	5	10	15
i°	—10			—5			0			5		

e°/o	Wartości Cm											
20	—4,0	—6,0	—2,4	—4,0	—1,5	4,5	—0,5	3,2	8,2	+2,5	10,5	15,6
50	—7,3	—11,1	—14,7	—6,1	—12,2	—14,9	—6,2	—8,9	—13,0	—5,5	—8,5	—12,8
70	—7,2	—16,5	—22,8	—8,0	—16,0	—24,8	—10,2	—19,1	—29,9	—8,7	—18,1	—31,8
j°	5	10	15	5	10	15	5	10	15	5	10	15
i°	10			15			20			25		

Doświadczenie Nr. 1577. Kadłub Nr. 5.

e/o	Wartości Cm.											
20	-7,1	-4,6	-1,0	-6,5	-8,2	-9,7	-7,0	-10,0	-12,9	-6,5	-8,2	-9,7
50	-9,7	-15,0	-17,5	-10,1	-17,0	-23,4	-9,7	-16,3	-22,5	-10,1	-17,0	-23,4
70	-13,0	-21,9	-32,0	-11,0	-20,1	-30,0	-9,0	-17,1	-29,0	-11,0	-20,1	-30,0
j ^o	5	10	15	5	10	15	5	10	15	5	10	15
i ^o	-10			-5			0			5		

e/o	Wartości Cm.											
20	-7,1	-4,6	-1,0	-3,3	1,5	7,0	3,0	9,5	16,6	5,4	11,8	23,8
50	-9,7	-15,0	-17,5	-7,8	-13,9	-20,1	-8,0	-12,1	-19,1	-6,3	-10,6	-15,0
70	-13,0	-21,9	-32,0	-10,9	-24,0	-33,7	-15,1	-26,9	-43,0	-14,0	-25,6	-40,8
j ^o	5	10	15	5	10	15	5	10	15	5	10	15
i ^o	10			15			20			25		

Doświadczenie Nr. 1329. Kadłub Nr. 6.

e/o	Wartości Cm.											
20	-0,2	-0,8	-1,0	-6,2	-8,0	-8,6	-5,0	-8,9	-7,9	-6,2	-8,0	-8,6
50	-6,9	-15,8	-24,0	-8,5	-15,0	-25,5	-9,3	-16,9	-25,9	-8,5	-15,0	-25,5
70	-13,0	-28,8	-43,3	-11,2	-22,4	-36,7	-9,8	-19,6	-35,2	-11,2	-22,4	-36,7
j ^o	5	10	15	5	10	15	5	10	15	5	10	15
i ^o	-10			-5			0			5		

e/o	Wartości Cm.											
20	-0,2	-0,8	-1,0	5,0	5,8	4,0	6,6	13,0	14,9	12,8	26,0	31,2
50	-6,9	-15,8	-24,0	-9,0	-19,4	-27,0	-10,5	-19,8	-31,5	-13,0	-22,8	-33,0
70	-13,0	-28,8	-43,3	-18,3	-36,2	-50,0	-24,0	-42,0	-62,2	-31,0	-56,3	-75,3
j ^o	5	10	15	5	10	15	5	10	15	5	10	15
i ^o	10			15			20			25		

Doświadczenie Nr. 1637. Kadłub Nr. 7.

e/o	Wartości Cm.											
20	-0,1	-1,0	-3,0	-3,0	-6,0	-8,0	-5,9	-7,6	-7,0	-3,0	-6,0	-8,0
50	-6,2	-12,1	-21,0	-7,0	-14,0	-20,0	-6,1	-14,2	-22,1	-7,0	-14,0	-20,0
70	-10,7	-19,9	-32,3	-9,6	-19,6	-31,0	-9,0	-19,0	-30,0	-9,6	-19,6	-31,0
j ^o	5	10	15	5	10	15	5	10	15	5	10	15
i ^o	-10			-5			0			5		

e/o	Wartości Cm.											
20	-0,1	-1,0	-3,0	4,6	7,3	5,3	11,3	16,2	19,5	16,0	29,0	34,0
50	-6,2	-12,1	-21,0	-6,0	-12,9	-22,3	-5,0	-13,0	-21,0	-3,1	-13,0	-20,1
70	-10,7	-19,9	-32,3	-12,5	-26,0	-39,0	-16,0	-32,1	-48,0	-19,9	-40,5	-56,7
j ^o	5	10	15	5	10	15	5	10	15	5	10	15
i ^o	10			15			20			25		

Doświadczenie Nr. 1330. Kadłub Nr. 8.

e/o	Wartości Cm.											
20	-1,0	-2,7	-2,5	-5,0	-6,0	-5,9	-7,0	-6,5	-6,6	-5,0	-6,0	-5,9
50	-11,2	-22,4	-33,7	-10,8	-20,0	-31,8	-8,5	-19,6	-31,6	-10,8	-20,0	-31,8
70	-21,0	-38,0	-56,2	-16,8	-30,8	-49,5	-13,0	-28,2	-47,5	-16,8	-30,8	-49,5
j ^o	5	10	15	5	10	15	5	10	15	5	10	15
i ^o	-10			-5			0			5		

e/o	Wartości Cm.											
20	-1,0	-2,7	-2,5	5,7	8,5	6,8	10,0	19,9	20,0	14,3	27,5	35,0
50	-11,2	-22,4	-33,7	-13,5	-21,2	-34,5	-14,4	-25,0	-38,0	-14,0	-26,5	-37,5
70	-21,0	-38,0	-56,2	-27,5	-45,0	-64,4	-30,5	-56,0	-78,9	-34,0	-63,2	-90,0
j ^o	5	10	15	5	10	15	5	10	15	5	10	15
i ^o	10			15			20			25		

Doświadczenie Nr. 1100. Kadłub Nr. 9.

e ⁰ / ₀	Wartości Cm.											
20	—2,5	—4,0	—1,5	—5,0	—7,5	—8,3	—4,5	—9,8	—12,0	—3,8	—6,6	—8,8
50	—6,4	—10,3	—16,5	—6,2	—12,5	—13,0	—6,0	—13,0	—19,0	—6,0	—13,5	—17,9
70	—6,9	—17,0	—24,5	—7,3	—15,6	—24,0	—7,0	—18,1	—26,9	—7,5	—15,0	—26,7
j ⁰	5	10	15	5	10	15	5	10	15	5	10	15
i ⁰	—10			—5			0			5		
e ⁰ / ₀	Wartości Cm.											
20	0,6	—1,0	—2,5	1,0	2,9	5,5	2,0	6,0	12,2	5,4	16,0	24,1
50	—5,7	—10,5	—15,6	—5,4	—9,0	—13,0	—4,0	—6,2	—11,0	—3,0	—3,8	—6,0
70	—10,0	—18,0	—27,0	—9,5	—16,9	—23,0	—8,0	—17,0	—23,6	—9,0	—16,9	—26,3
j ⁰	5	10	15	5	10	15	5	10	15	5	10	15
i ⁰	10			15			20			25		

Doświadczenie Nr. 1252. Kadłub Nr. 10.

e ⁰ / ₀	Wartości Cm.											
20	—2,1	—4,5	—1,8	—5,3	—7,3	—10,4	—10,0	—13,5	—14,5	—9,0	—12,0	—12,0
50	—7,9	—15,0	—19,0	—10,7	—16,0	—23,0	—11,9	—18,9	—24,0	—11,9	—18,5	—22,9
70	—11,9	—21,3	—28,8	—14,3	—22,0	—31,3	—12,7	—23,0	—33,0	—14,0	—23,0	—32,0
j ⁰	5	10	15	5	10	15	5	10	15	5	10	15
i ⁰	—10			—5			0			5		

e ⁰ / ₀	Wartości Cm.											
20	—5,0	—7,3	—8,4	1,2	2,8	4,0	3,1	11,0	10,4	4,2	15,9	18,6
50	—7,8	—14,5	—21,4	—8,2	—13,5	—20,0	—6,9	—10,0	—16,0	—3,5	—6,9	—13,5
70	—12,9	—22,0	—32,0	—11,5	—25,0	—34,7	—10,8	—21,5	—32,9	—10,5	—21,8	—34,9
j ⁰	5	10	15	5	10	15	5	10	15	5	10	15
i ⁰	10			15			20			25		

Doświadczenie Nr. 928. Kadłub Nr. 11.

e ⁰ / ₀	Wartości Cm.											
20	5,4	7,4	9,5	—0,2	—0,7	2,5	—11,0	—11,6	—11,0	—5,5	—9,9	—8,0
50	—6,7	—15,5	—25,2	—7,9	—15,7	—24,0	—12,0	—19,4	—30,0	—9,9	—23,3	—27,0
70	—15,9	—30,6	—48,0	—12,9	—25,5	—43,5	—16,0	—25,5	—43,0	—12,0	—28,0	—40,0
j ⁰	5	10	15	5	10	15	5	10	15	5	10	15
i ⁰	—10			—5			0			5		

e ⁰ / ₀	Wartości Cm.											
20	—3,0	—4,0	—5,0	2,0	3,8	6,0	12,1	14,0	11,0	22,0	33,0	28,3
50	—12,5	—19,0	—24,5	—10,0	—21,2	—31,0	—13,0	—24,2	—33,0	—15,5	—28,2	—41,3
70	—13,6	—28,0	—41,5	—17,6	—36,5	—53,0	—29,4	—49,4	—62,1	—38,5	—64,5	—83,0
j ₀	5	10	15	5	10	15	5	10	15	5	10	15
j ⁰	10			15			20			25		

Doświadczenie Nr. 546. Kadłub Nr. 12.

e ⁰ / ₀	Wartości Cm.											
20	1,1	2,4	3,4	2,0	4,0	2,0	—2,0	—5,3	—5,0	—5,0	—10,6	—13,0
50	—7,0	—14,6	—23,0	—8,8	—15,0	—26,0	—9,2	—19,9	—28,2	—11,0	—21,2	—29,7
70	—13,0	—25,9	—40,3	—15,8	—27,3	—44,1	—14,0	—29,2	—44,3	—14,9	—26,8	—39,5
j ⁰	5	10	15	5	10	15	5	10	15	5	10	15
i ⁰	—10			—5			0			5		

e ⁰ / ₀	Wartości Cm.											
20	—6,6	—7,2	—8,0	—1,2	—2,7	—6,5	5,6	—3,6	1,4	8,0	14,6	16,3
50	—12,0	—21,0	—30,5	—12,1	—24,0	—33,1	—14,0	—24,0	—38,0	—14,0	—28,9	—43,0
70	—15,5	—30,0	—43,0	—18,0	—37,3	—49,8	—24,7	—45,0	—66,0	—28,8	—56,9	—82,9
j ⁰	5	10	15	5	10	15	5	10	15	5	10	15
i ⁰	10			15			20			25		

Doświadczenie Nr. 1222. Kadłub Nr. 13.

e^0_0	Wartości Cm.											
20	3,7	12,2	13,5	0,5	1,1	2,5	—1,8	—4,5	—6,9	—6,4	—11,0	—10,2
50	—8,5	—13,5	—20,0	—5,5	—11,6	—17,0	—6,5	—16,5	—21,5	—7,0	—14,1	—22,3
70	—18,0	—29,0	—41,0	—10,5	—24,0	—34,6	—9,0	—24,0	—30,7	—11,0	—21,0	—31,3
j^0	5	10	15	5	10	15	5	10	15	5	10	15
i^0	—10			—5			0			5		

e^0_0	Wartości Cm.											
20	—5,0	—7,0	—9,8	1,6	1,0	—0,9	3,5	6,1	8,4	10,0	16,5	19,0
50	—8,1	—17,0	—25,0	—6,4	—15,5	—21,7	—3,0	—10,5	—19,0	—2,0	—7,0	—20,6
70	—11,1	—23,9	—34,2	—12,0	—26,3	—35,5	—13,0	—21,5	—40,0	—15,0	—27,0	—47,7
j^0	5	10	15	5	10	15	5	10	15	5	10	15
i^0	10			15			20			25		

Doświadczenie Nr. 1207. Kadłub Nr. 14.

e^0/o	Wartości Cm.											
20	—1,0	—3,6	13,0	—7,3	—8,6	1,5	—12,1	—9,2	—7,0	—7,4	—6,0	1,1
50	—12,3	—21,2	—31,9	—14,5	—24,0	—36,2	—17,0	—27,0	—38,5	—12,5	—26,0	—39,1
70	—18,0	—36,0	—59,1	—19,1	—34,0	—59,0	—17,0	—39,0	—61,2	—13,5	—36,0	—64,1
j^0	5	10	15	5	10	15	5	10	15	5	10	15
i^0	—10			—5			0			5		

e^0/o	Wartości Cm.											
20	—4,5	—3,7	13,5	—6,1	—0,2	9,9	0,0	5,7	11,8	—4,0	2,0	12,2
50	—13,4	—25,0	—37,1	—15,9	—28,9	—37,0	—16,9	—25,0	—37,0	—15,9	—30,9	—40,0
70	—19,5	—39,3	—71,1	—22,2	—46,0	—72,2	—25,8	—47,9	—73,0	—23,8	—51,0	—77,5
j^0	5	10	15	5	10	15	5	10	15	5	10	15
i^0	10			15			20			25		

Doświadczenie Nr. 1223. Kadłub Nr. 15.

e ⁰ / ₀	Wartości Cm.											
20	1,8	5,0	5,4	—3,7	—4,2	—5,0	—5,5	—7,2	—8,0	—7,0	—9,5	—13,0
50	—5,4	—11,0	—19,8	—6,9	—14,5	—21,2	—8,9	—16,8	—22,1	—9,0	—15,3	—22,8
70	—10,0	—24,0	—36,5	—9,9	—20,5	—33,3	—10,8	—23,0	—35,0	—10,1	—20,5	—32,0
j ⁰	5	10	15	5	10	15	5	10	15	5	10	15
i ⁰	—10			—5			0			5		

e ⁰ / ₀	Wartości Cm.											
20	—1,0	—7,1	—9,5	—0,6	—2,5	—4,9	5,9	4,7	3,5	8,1	10,0	11,0
50	—10,0	—17,2	—27,0	—11,0	—18,0	—26,0	—9,0	—19,0	—28,0	—10,0	—19,0	—26,6
70	—13,0	—28,0	—37,5	—16,0	—28,5	—42,0	—20,0	—32,5	—47,5	—20,5	—40,9	—54,9
j ⁰	5	10	15	5	10	15	5	10	15	5	10	15
i ⁰	10			15			20			25		

Doświadczenie Nr. 681. Kadłub Nr. 16.

e ⁰ / ₀	Wartości Cm.											
20	5,0	9,9	12,8	0,3	0,4	0,5	—1,6	—3,3	—5,0	—3,7	—7,5	—8,0
50	—4,5	—9,2	—14,8	—7,4	—14,4	—20,3	—6,5	—15,0	—20,4	—8,4	—15,0	—21,0
70	—10,7	—21,1	—35,5	—11,3	—23,2	—33,0	—10,0	—22,0	—33,1	—11,7	—21,8	—35,6
j ⁰	5	10	15	5	10	15	5	10	15	5	10	15
i ⁰	—10			—5			0			5		
e ⁰ / ₀	Wartości Cm.											
20	—2,6	—5,1	—7,9	—0,7	—2,0	—2,6	6,8	5,5	0,5	9,9	16,7	21,0
50	—8,0	—16,1	—24,0	—8,0	—16,9	—24,9	—7,8	—16,0	—25,0	—8,0	—15,0	—23,8
70	—12,0	—24,5	—36,3	—13,8	—26,5	—39,6	—17,3	—31,0	—43,8	—20,0	—38,0	—53,5
j ⁰	5	10	15	5	10	15	5	10	15	5	10	15
i ⁰	10			15			20			25		

Doświadczenie Nr. 1238. Kadłub Nr. 17.

Doświadczenie Nr. 1238. Kadłub Nr. 17.												
$e^0/0$	Wartości Cm.											
20	6,5	9,1	15,4	—1,8	—4,0	2,8	—7,0	—8,2	—0,3	—2,3	—2,3	2,5
50	—6,6	—12,0	—20,0	—8,0	—16,8	—23,5	—9,7	—17,5	—27,2	—10,0	—18,6	—29,0
70	—17,5	—28,3	—48,1	—14,9	—28,0	—44,0	—11,2	—23,3	—45,2	—11,1	—26,7	—48,0
j^0	5	10	15	5	10	15	5	10	15	5	10	15
i^0	—10			—5			0			5		
$e^0/0$	Wartości Cm.											
20	0,4	3,0	5,4	5,2	8,7	10,6	18,6	22,5	26,5	18,0	31,0	40,0
50	—11,3	—19,0	—28,8	—8,8	—19,2	—28,5	—5,7	—12,0	—22,5	—7,0	—18,0	—25,1
70	—19,1	—38,0	—54,7	—22,5	—39,0	—53,8	—19,5	—37,7	—57,5	—23,4	—48,0	—67,5
j^0	5	10	15	5	10	15	5	10	15	5	10	15
i^0	10			15			20			25		

Doświadczenie Nr. 1251. Kadłub Nr. 18.

Doświadczenie Nr. 1251. Kadłub Nr. 18.												
$e^0/0$	Wartości Cm.											
20	-1,0	-2,7	0,0	-2,0	-3,0	-2,0	-5,0	-7,5	-3,3	-1,5	-4,0	-2,0
50	-9,0	-18,1	-26,0	-9,5	-14,1	-23,6	-9,0	-17,3	-24,4	-10,6	-19,0	-24,6
70	-11,0	-28,5	-39,5	-15,1	-27,0	-38,0	-13,0	-26,3	-41,0	-17,0	-29,4	-39,0
j^0	5	10	15	5	10	15	5	10	15	5	10	15
i^0	-10			-5			0			5		
$e^0/0$	Wartości Cm.											
20	2,5	3,9	5,0	6,1	11,0	13,0	10,0	17,5	22,0	13,5	24,5	33,5
50	-6,8	-17,6	-24,8	-10,4	-16,0	-21,7	-9,0	-15,5	-21,0	-6,7	-14,0	-19,0
70	-17,3	-31,8	-44,0	-18,1	-34,2	-45,0	-21,5	-37,5	-49,5	-22,5	-40,0	-54,0
j^0	5	10	15	5	10	15	5	10	15	5	10	15
i^0	10			15			20			25		

Doświadczenie Nr. 1216. Kadłub Nr. 19.

Doświadczenie Nr. 1216. Kadłub Nr. 19.												
$e^0/0$	Wartości Cm.											
20	9,3	14,5	21,0	—3,0	—2,0	3,0	—5,4	—5,0	0,9	—6,0	—4,8	—3,1
50	—7,0	—13,3	—19,3	—8,5	—16,0	—23,4	—10,0	—18,0	—25,2	—11,5	—19,0	—25,1
70	—17,0	—32,5	—45,9	—14,5	—26,5	—43,0	—13,8	—27,3	—43,1	—16,0	—29,9	—43,0
j^0	5	10	15	5	10	15	5	10	15	5	10	15
i^0	—10			—5			0			5		
$e^0/0$	Wartości Cm.											
20	0,0	—2,6	—1,5	1,5	4,8	9,0	7,7	16,6	21,2	19,2	27,0	37,5
50	—9,5	—17,5	—27,0	—8,0	—13,8	—24,0	—6,0	—12,0	—18,5	—4,5	—10,0	—16,5
70	—13,3	—28,8	—44,1	—13,0	—29,5	—48,0	—15,1	—31,2	—47,7	—18,0	—34,0	—50,5
j^0	5	10	15	5	10	15	5	10	15	5	10	15
i^0	10			15			20			25		

Doświadczenie Nr. 1234. Kadłub Nr. 20.

Doświadczenie Nr. 1234. Kadłub Nr. 20.												
e ⁰ / ₀	Wartości Cm.											
20	7,5	10,5	13,0	—1,8	—0,5	4,0	—4,0	—5,0	—0,7	—4,0	—5,0	—2,5
50	—6,5	—15,5	—25,9	—9,0	—17,0	—26,1	—11,0	—19,5	—27,7	—10,0	—20,0	—27,7
70	—16,5	—33,5	—52,0	—12,0	—28,0	—45,0	—14,0	29,6	—46,0	—13,0	28,0	—44,0
j ⁰	5	10	15	5	10	15	5	10	15	5	10	15
i ⁰	—10			—5			0			5		
e ⁰ / ₀	Wartości Cm.											
20	4,6	4,5	4,5	11,2	10,7	8,0	24,6	35,0	28,0	30,0	53,5	54,4
50	—9,0	—18,5	—28,5	—7,3	—17,5	—28,0	—4,6	—12,0	—26,2	—5,4	—10,5	—24,5
70	—18,2	—34,9	—48,0	—18,5	—36,0	—51,6	—24,0	—44,8	—61,9	—29,2	—54,3	—77,5
j ⁰	5	10	15	5	10	15	5	10	15	5	10	15
i ⁰	10			15			20			25		

Doświadczenie Nr. 675. Kadłub Nr. 21.

Doświadczenie Nr. 675. Kadłub Nr. 21.												
e ⁰ / ₀	Wartości Cm.											
20	—6,1	—8,4	—10,3	—6,0	—9,9	—12,2	—5,1	—7,0	—8,1	—3,9	—2,0	—2,1
50	—9,9	—14,5	—19,9	—8,2	—16,7	—23,0	—10,2	—18,3	—35,4	—11,9	—19,6	—26,0
70	—14,0	—21,2	—30,0	—11,1	—24,1	—33,0	—16,0	—25,9	—38,0	—19,0	—31,2	—40,5
j ⁰	5	10	15	5	10	15	5	10	15	5	10	15
i ⁰	—10			—5			0			5		
e ⁰ / ₀	Wartości Cm.											
20	—4,0	—1,5	3,9	3,0	6,0	16,2	—2,2	0,2	13,4	—6,9	—2,1	9,0
50	—9,0	—16,9	—24,6	—10,9	—17,0	—24,5	—7,0	—17,9	—24,1	—12,0	—16,0	—26,5
70	—14,2	—24,2	—46,0	—16,5	—28,9	—48,5	—9,9	—30,6	—52,2	—14,0	—26,1	—53,2
j ⁰	5	10	15	5	10	15	5	10	15	5	10	15
i ⁰	10			15			20			25		

Doświadczenie Nr. 1250. Kadłub Nr. 22.

Doświadczenie Nr. 1250. Kadłub Nr. 22.												
e ⁰ / ₀	Wartości Cm.											
20	—2,0	—1,8	—1,0	—8,1	—6,2	—3,5	—5,1	—7,2	—5,9	—6,7	—2,2	2,6
50	—13,0	—19,0	—25,0	—12,8	—17,3	—27,4	—10,0	—20,5	—25,5	—12,5	—20,2	—24,0
70	—17,0	—29,0	—41,0	—15,5	—30,4	—44,0	—13,6	—27,0	—40,0	—19,5	—33,5	—45,3
j ⁰	5	10	15	5	10	15	5	10	15	5	10	15
i ⁰	—10			—5			0			5		
e ⁰ / ₀	Wartości Cm.											
20	—1,3	4,0	14,1	1,7	16,0	26,0	15,5	26,0	36,5	17,5	35,0	42,3
50	—8,0	—14,5	—20,0	—10,0	—14,9	—16,5	—5,0	—8,8	—15,0	—5,2	—10,0	—13,8
70	—12,1	—26,8	—43,0	—19,2	—32,5	—44,5	—15,9	—32,9	—49,0	—16,7	—40,7	—58,0
j ⁰	5	10	15	5	10	15	5	10	15	5	10	15
i ⁰	10			15			20			25		

Doświadczenie Nr. 1242. Kadłub Nr. 23.

$e^0/0$	Wartości Cm.											
20	6,5	16,5	26,1	-5,0	0,0	12,0	-6,9	-1,1	9,4	7,9	-5,0	3,0
50	-11,1	-22,4	-34,5	-15,5	-29,5	-39,5	-19,5	-33,0	-45,5	-19,4	-34,3	-49,0
70	-26,0	-52,0	-78,0	-22,6	-50,0	-77,0	-24,0	-51,0	-79,5	-29,5	-57,0	-83,4
j^0	5	10	15	5	10	15	5	10	15	5	10	15
i^0	-10			-5			0			5		
$e^0/0$	Wartości Cm.											
20	-3,0	-1,0	5,8	1,6	5,4	15,0	8,0	13,5	20,0	9,0	13,1	25,3
50	-15,9	-31,8	-48,0	-16,5	-34,0	-48,9	-18,7	-34,3	-50,9	-18,0	-35,0	-53,1
70	-29,4	-58,0	-87,0	-28,5	-61,5	-96,7	-36,3	-65,9	-100,4	-41,0	-69,5	-109,6
j^0	5	10	15	5	10	15	5	10	15	5	10	15
i^0	10			15			20			25		

Doświadczenie Nr. 1224. Kadłub Nr. 24.

$e^0/0$	Wartości Cm.											
20	7,5	16,0	25,5	0,5	6,9	13,0	—2,5	1,0	8,2	—0,2	—2,8	4,9
50	—14,0	—27,0	—39,8	—17,4	—31,2	—43,0	—16,5	—29,5	—45,0	—18,8	—34,0	—51,3
70	—25,8	—52,4	—80,0	—26,0	—52,2	—82,0	—25,0	—52,5	—82,0	—26,8	—54,3	—86,7
j^0	5	10	15	5	10	15	5	10	15	5	10	15
i^0	—10			—5			0			5		
$e^0/0$	Wartości Cm.											
20	—0,9	0,6	9,1	6,0	12,4	16,9	12,8	20,0	26,4	15,8	31,6	38,2
50	—19,6	—36,3	—54,0	—18,0	—37,1	—55,6	—20,7	—39,7	—56,5	—22,6	—40,5	—60,0
70	—28,7	—60,0	—92,2	—31,7	—65,0	—99,0	—39,5	—75,0	—107,0	—43,5	—84,0	—120,0
j^0	5	10	15	5	10	15	5	10	15	5	10	15
i^0	10			15			20			25		

Doświadczenie Nr. 1255. Kadłub Nr. 25.

$e^0/0$	Wartości Cm.											
20	5,0	-0,3	-2,9	-4,5	-6,3	-9,0	-4,5	-6,5	-11,0	-4,5	-8,0	-9,1
50	-8,0	-15,7	-22,1	-8,2	-16,0	-21,5	-6,1	-14,6	-20,0	-9,1	-15,3	-20,5
70	-14,8	-26,0	-35,0	-8,0	-19,0	-28,5	-5,6	-15,1	-26,0	-9,5	-20,1	-28,3
j^0	5	10	15	5	10	15	5	10	15	5	10	15
i^0	-10			-5			0			5		

$e^0/0$	Wartości Cm.											
20	-5,3	-7,0	-7,2	-4,4	-3,6	-1,0	4,0	-0,1	-1,4	7,1	6,6	6,2
50	-11,1	-17,5	-22,6	-8,0	-18,5	-26,0	-11,8	-19,5	-24,1	-7,9	-17,1	-26,0
70	-15,4	-24,0	-32,5	-12,1	-28,4	-40,0	-20,0	-33,0	-43,3	-19,4	-34,8	-50,0
j^0	5	10	15	5	10	15	5	10	15	5	10	15
i^0	10			15			20			25		